

**UNIVERZITA PARDUBICE  
DOPRAVNÍ FAKULTA JANA PERNERA**

**KATEDRA ELEKTROTECHNIKY, ELEKTRONIKY  
A ZABEZPEČOVACÍ TECHNIKY V DOPRAVĚ**

**MĚŘENÍ ELEKTRICKÝCH VELIČIN PŘI  
NESINUSOVÝCH PRŮBĚZÍCH NAPĚtí A PROUDU**

**DISERTAČNÍ PRÁCE**

**AUTOR: Ing. Michal Satori  
VEDOUCÍ PRÁCE: Doc.Ing.Karel Hlava,CSc.**

**2009**

## **Prohlášení**

Prohlašuji:

Tuto práci jsem vypracoval samostatně. Veškeré literární prameny a informace, které jsem v práci využil, jsou uvedeny v seznamu použité literatury.

Byl jsem seznámen s tím, že se na moji práci se vztahují práva a povinnosti vyplývající ze zákona č. 121/2000 Sb., autorský zákon, zejména se skutečností, že Univerzita Pardubice má právo na uzavření licenční smlouvy o užití této práce jako školního díla podle § 60 odst. 1 autorského zákona, a s tím, že pokud dojde k užití této práce mnou nebo bude poskytnuta licence o užití jinému subjektu, je Univerzita Pardubice oprávněna ode mne požadovat přiměřený příspěvek na úhradu nákladů, které na vytvoření díla vynaložila, a to podle okolností až do jejich skutečné výše.

Souhlasím s prezenčním zpřístupněním své práce v Univerzitní knihovně Univerzity Pardubice.

V Pardubicích dne 04. 01. 2010

Ing. Michal Satori

## **Poděkování**

Na tomto místě bych rád poděkoval zejména panu doc.Ing.Karlu Hlavovi, CSc. za poskytnutí technické literatury, odborné vedení a zejména cenné rady při zpracování disertační práce.

Dále bych chtěl poděkovat paní Lence Murckové z Meziknihovní výpůjční služby Univerzitní knihovny Pardubice za ochotu a rychlosť při zajišťování zahraničních článků k danému tématu.

V Pardubicích dne 04. 01. 2010

Ing. Michal Satori

## **ANOTACE**

Distributor elektrické energie osazuje v trakčních napájecích stanicích 25kV, 50Hz SŽDC, s.o. statické elektroměry, které přenášejí data o spotřebě elektrické energie nepřetržitě na dispečink distributora elektrické energie pomocí GPRS. Měřícím vstupem přesných fakturačních statických elektroměrů jsou přístrojové měřící transformátory induktivního typu s izolačním napětím 123kV umístěné v rozvodně 110kV trakční napájecí stanice SŽDC, s.o.

Z naměřených hodnot distributor elektrické energie vyhodnocuje odebraný činný výkon, jalový výkon, účiník, dodržování čtvrtodobového sjednaného maxima a také dodržování maximálních povolených mezí napěťových popř. proudových harmonických.

Maximální procentní poměr jednotlivých řadů napěťových popř. proudových harmonických v připojovacím bodě, stanoví distributor elektrické energie podle zkratového výkonu v připojovacím bodě a dodržování těchto mezí je zesmluvněno s odběratelem v připojovacích podmínkách. Je zřejmé, že v místě připojení trakční napájecí stanice s malým zkratovým výkonem může být technicky náročné zajistit splnění těchto povolených mezí.

Cílem této práce je posoudit chybu převodu a úhlu přístrojových transformátorů s izolačním napětím 123kV v rozvodně 110kV trakční napájecí stanice 25kV, 50Hz při nesinusových průbězích napětí a proudu, tedy poznat jejich frekvenční závislost chyby převodu a úhlu.

Statický elektroměr pro fakturační měření obsahuje procesorovou jednotku, která zajišťuje vzorkování vstupního analogového signálu napětí, proudu a následně vzorky matematicky vyhodnocuje. Vzorkování i matematické operace probíhají na základní a vyšších harmonických. Bude zkoumán vliv statického elektroměru a přívodní kabeláže na frekvenční závislost chyby převodu a úhlu přístrojového transformátoru.

## **KLÍČOVÁ SLOVA**

Přístrojový transformátor, přístrojový transformátor proudu, přístrojový induktivní transformátor napětí, přístrojový kapacitní transformátor napětí, přístrojový měřící transformátor, přístrojový jistící transformátor, chyba převodu, chyba úhlu, frekvenční odezva, základní harmonická, vyšší harmonické

## **TITLE**

# **Measurement of electric values by non-sinusoidal voltage and current waveforms**

## **ANNOTATION**

Distributor of electric power fitted in substations 25kV, 50Hz SŽDC static electric meters, which transmit data on the consumption of electric energy continuously for dispatching distributor of electric energy using GPRS. Precision measuring input of billing meters are still instrument measuring transformers of inductive type with insulating voltage 123kV located in distribution plant 110kV substations 25kV, 50Hz SŽDC.

From the measured values of electric energy distributor evaluate active power, reactive power, power factor, compliance with the agreed maximum quarter-hour, and compliance with the maximum permissible limits of voltage or current harmonics.

Maximum percentage of individual orders of voltage or current harmonics in the connection point, the distributor of electric energy sets down under short-circuit power in the connection point and compliance with these limits. It is clear that the connection point of substations with low short-circuit power can be technically challenging to ensure compliance with the permitted limits.

The aim of this work is to assess the vulnerability of the transfer and the angle error of instrument transformers with insulating voltage 123kV in distribution plant 110kV substations 25kV, 50Hz SŽDC at non-sinusoidal voltage and current waveforms, therefore to know their frequency dependent transfer and angle error.

Static meters for billing processing unit includes a processor unit that ensures sampling input analog voltage, current signal and then mathematically evaluate samples. Sampling and mathematical operations are performed on the basic and higher harmonics. It will be examined the influence of the static meter and incoming cabling on frequency dependent transfer and angle error of instrument transformer.

## **KEYWORDS**

Instrument transformer, instrument current transformer, instrument inductive voltage transformer, instrument capacitive voltage transformer, transfer error, angle error, frequency response, the fundamental harmonic, higher harmonics.

## OBSAH

<b>1. Pozice SŽE a požadavky distributora elektrické energie</b>	10
<b>1.1. Pozice SŽE</b>	10
1.1.1. SŽE v roli distributora elektrické energie	10
1.1.2. SŽE v roli odběratele elektrické energie	11
<b>1.2. Požadavky distributora elektrické energie</b>	12
1.2.1. Přístrojové transformátory	12
1.2.2. Připojovací odmínky	13
<b>2. Trakční napájecí stanice jednofázové trakční soustavy 25kV, 50Hz</b>	15
<b>2.1. Účel trakční napájecí stanice 25kV, 50Hz</b>	15
<b>2.2. Jednopólové schéma TNS 25kV, 50Hz</b>	16
<b>2.3. Trakční transformátor 110/25kV, 50Hz</b>	17
2.3.1. Schéma připojení TNS 25kV, 50Hz k trakčnímu vedení - zapojení do T	18
2.3.2. Schéma připojení TNS 25kV, 50Hz k trakčnímu vedení - zapojení do L	18
<b>2.4. FKZ v TNS 25kV, 50Hz</b>	19
2.4.1. Důvody doplnění FKZ do TNS 25kV, 50Hz	19
2.4.2. Funkce FKZ v TNS 25kV, 50Hz	19
2.4.3. FKZ dnešní koncepce	20
<b>3. Chyba převodu a úhlu přístrojových transformátorů v rozvodně 110kV TNS 25kV, 50Hz při sinusovém průběhu napětí a proudu</b>	21
<b>3.1. Provedení přístrojových transformátorů</b>	21
3.1.1. Provedení přístrojových transformátorů proudu	21
3.1.1.1. Feromagnetický obvod přístrojového transformátoru proudu	21
3.1.1.2. Uspořádání přístrojového transformátoru proudu	23
3.1.2. Provedení přístrojového induktivního transformátoru napětí	25
3.1.2.1. Fermognatický obvod přístrojového induktivního transform. napětí	25
3.1.2.2. Uspořádání přístrojového induktivního transformátoru napětí	26
3.1.3. Provedení přístrojového kapacitního transformátoru napětí	28
3.1.3.1. Feromagnetický obvod přístrojového kapacitního transform. napětí	28
3.1.3.2. Uspořádání přístrojového kapacitního transformátoru napětí	28
<b>3.2. Náhradní schéma přístrojového transformátoru</b>	30
3.2.1. Náhradní schéma přístrojového transformátoru proudu a induktivního transformátoru napětí platné v okolí jmenovité frekvence	30
3.2.2. Náhradní schéma přístrojového kapacitního transformátoru napětí	33
<b>3.3. Princip přístrojového transformátoru proudu</b>	34
3.3.1. Charakteristika funkce	34
3.3.2. Závislost chyby převodu a úhlu na primárním proudu, vnějším břemenu, sekundárním účiníku a kolísání jmenovité frekvence	39

3.3.2.1. Závislost chyby převodu a úhlu na primárním proudu	39
3.3.2.2. Závislost chyby převodu a úhlu na vnějším břemenu	40
3.3.2.3. Závislost chyby převodu a úhlu na účiníku vnějšího břemene	40
3.3.2.4. Závislost chyby převodu a úhlu na kolísání jmenovité frekvence	40
3.3.3. Přesnost v provozní a nadproudové oblasti	41
3.3.3.1. Přesnost v provozní oblasti	41
3.3.3.2. Přesnost v nadproudové oblasti	43
<b>3.4. Princip přístrojového induktivního transformátoru napětí</b>	48
3.4.1. Charakteristika funkcí	48
3.4.2. Závislost chyb převodu a úhlu na vnějším břemenu, primárním napětí, sekundárním účiníku a kolísání jmenovité frekvence	51
3.4.2.1. Závislost chyby převodu a úhlu na vnějším břemenu	51
3.4.2.2. Závislost chyby převodu a úhlu na primárním napětí	51
3.4.2.3. Závislost chyby převodu a úhlu na sekundárním účiníku	51
3.4.2.4. Závislost chyby převodu a úhlu na kolísání jmenovité frekvence	51
3.4.3. Přesnost	52
3.4.3.1. Přesnost přístrojových induktivních měřicích transformátorů napětí	52
3.4.3.2. Přesnost přístrojových induktivních jistících transformátorů napětí	52
<b>3.5. Princip přístrojového kapacitního transformátoru napětí</b>	53
3.5.1. Charakteristika funkcí	53
3.5.2. Závislost chyby převodu a úhlu na teplotním činiteli, vnějším břemenu, kolísání jmenovité frekvence a zadržování náboje	57
3.5.2.1. Závislost chyby převodu a úhlu na teplotním činiteli	57
3.5.2.2. Závislost chyby převodu a úhlu na vnějším břemenu	57
3.5.2.3. Závislost chyby převodu a úhlu na kolísání jmenovité frekvence	57
3.5.2.4. Závislost chyby převodu a úhlu na zadržování náboje	58
3.5.3. Odezva při přepětí	58
3.5.4. Přesnost	59
3.5.4.1. Přesnost přístrojových kapacitních měřicích transformátorů napětí	59
3.5.4.2. Přesnost přístrojových kapacitních jistících transformátoru napětí	60
<b>4. Frekvenční závislost chyby převodu a úhlu přístrojových transformátorů v rozvodně 110kV TNS 25kV, 50Hz</b>	61
<b>4.1. Přístrojové transformátory obecně</b>	61
<b>4.2. Vnější břemeno přístrojového transformátoru</b>	64
<b>4.3. Přístrojový transformátor proudu</b>	65
4.3.1. Náhradní schéma přístrojového transformátoru proudu	65
4.3.2. Výzkum vlivu prvků náhradního schématu přístrojového transformátoru proudu na frekvenční závislost chyby převodu a úhlu	68
4.3.2.1. Vliv prvků $R_{e,f}$ , $L_{e,f}$ na frekvenční závislost chyby převodu a úhlu	68

4.3.2.2.	Vliv kapacity mezi vinutími a kapacit proti zemi Cs1s2, Cs1b a Cs2b na frekvenční závislost chyby převodu a úhlu	70
4.3.2.3.	Vliv vnější zátěže na frekvenční závislost chyby převodu a úhlu	70
4.3.3.	Frekvenční závislost chyby převodu a úhlu	70
4.3.4.	Závěr	71
<b>4.4. Přístrojový induktivní transformátor napětí</b>		72
4.4.1.	Náhradní schéma přístrojového induktivního transformátoru napětí	72
4.4.2.	Postup měření hodnot prvků náhradního schématu	74
4.4.2.1.	Postup měření hodnot prvků Rp, Lp, Rs, Le, Re	74
4.4.2.2.	Postup měření a odvození hodnot kapacit Cpb, Cps1, Cps2, Cs1b, Cs2b, Cs1s2	75
4.4.3.	Frekvenční závislost chyby převodu a úhlu	78
4.4.4.	Závěr	81
<b>4.5. Přístrojový kapacitní transformátor napětí</b>		81
4.5.1.	Náhradní schéma přístrojového kapacitního transformátoru napětí	81
4.5.2.	Frekvenční závislost chyby převodu a úhlu	82
4.5.3.	Výzkum vlivu jednotlivých prvků náhradního obvodu na chybu převodu a úhlu	83
4.5.4.	Závěr	84
<b>5. Simulace frekvenční závislosti chyby převodu a úhlu přístrojového induktivního transf. napětí v rozvodně 110kV, TNS 25kV, 50Hz</b>		84
<b>5.1. Náhradní schéma přístrojového induktivního transformátoru napětí</b>		84
<b>5.2. Hodnoty prvků náhradního schématu</b>		85
<b>5.3. Kontrola hodnot kapacit mezi vinutími a mezi vinutími a kostrou</b>		87
<b>5.4. Výzkum vlivu hodnot prvků náhradního schématu na frekvenční závislost chyby převodu a úhlu</b>		88
5.4.1.	Vliv změny hodnoty prvku Lp na frekvenční závislost chyby převodu a úhlu	88
5.4.2.	Vliv změny hodnoty prvku Rp na frekvenční závislost chyby převodu a úhlu	92
5.4.3.	Vliv změny hodnoty prvku Rs1 (Rs2) na fr. závislost chyby převodu a úhlu	92
5.4.4.	Vliv změny hodnoty prvku Ls1 (Ls2) na fr. závislost chyby převodu a úhlu	93
5.4.5.	Vliv změny hodnoty prvku Cpb na frekvenční závislost chyby převodu a úhlu	96
5.4.6.	Vliv změny hodnoty prvku Cps1 (Cps2) na fr. závislost chyby převodu a úhlu	96
5.4.7.	Vliv změny hodnoty prvku Cs1s2 na fr. závislost chyby převodu a úhlu	99
<b>5.5. Vliv reálného břemene na frekvenční závislost chyby převodu a úhlu</b>		99
<b>5.6. Frekvenční závislost chyby převodu a úhlu EMFC145</b>		101
<b>6. Závěry a doporučení</b>		104
<b>7. Použité zkratky</b>		107
<b>8. Seznam obrázků</b>		107
<b>9. Seznam tabulek</b>		113

<b>10. Seznam příloh</b>	113
<b>11. Literatura</b>	113
<b>Přílohy k disertační práci</b>	116
Příloha P-1      Ověření správnosti určení hodnot kapacit spořítaných z <i>tabulký 4.4</i> Gauss-Seidelovou metodou z hodnot kapacit měřených	117
Příloha P-2      Výzkum změny hodnot prvků náhradního schématu na změnu frekvenční <sup>1</sup> závislosti chyby převodu a úhlu	119

## 1. Pozice SŽE a požadavky distributora elektrické energie

### 1.1. Pozice SŽE

Správa železniční energetiky, s.o. (dále jen SŽE) jako organizační jednotka Českých drah, s.o. (dále jen ČD) přešla v roce 2008 do působnosti Správy železniční dopravní cesty, s.o. (dále jen SŽDC). Cílem bylo zajistit odběratelům drážní elektrické energie rovné podmínky přístupu k dodávce elektrické energie při stejných připojovacích podmínkách a stejných cenách za přenos a dodávku elektrické energie. Jelikož je ve vlastnictví SŽDC trakční vedení, transformační stanice a místní distribuční soustava, účtuje SŽE odběratelům jako jednotka SŽDC nejen cenu za odběr, ale i přenos elektrické energie. SŽE tak má možnost zahrnout do ceny veškeré náklady spjaté s dodávkou a přenosem elektrické energie.

#### 1.1.1. SŽE v roli distributora elektrické energie

SŽE zajišťuje zejména napájení trakčních napájecích stanic SŽDC, a to jak na jednofázové trakční soustavě 25kV, 50Hz, tak jednosměrné trakční soustavě 3kV DC z distribuční rozvodné soustavy (většinou napěťová hladina 110kV, výjimečně 22kV) distributora elektrické energie.

V těchto trakčních napájecích stanicích má SŽE osazeno fakturační měření v podobě statických elektroměrů, které předávají data pomocí GPRS on-line do řídícího centra SŽE. Vstupní veličiny napětí a proudu získávají statické elektroměry ze sekundárních svorek přístrojových transformátorů s izolačním napětím 123kV, které jsou umístěny v rozvodně 110kV. Z přenášených dat SŽE vyhodnocuje spotřebu činného a jalového výkonu, úchiník, čtvrt hodinové sjednané maximum a úrovně harmonických v připojovacím bodě trakční napájecí stanice.

Z trakčních napájecích stanic SŽDC je napájeno zejména trakční vedení a další odběry jako vlastní spotřeba napájecí stanice, kabelový rozvod pro napájení zabezpečovacího zařízení. Z trakčního vedení jsou napájeny zejména elektrická hnací vozidla a další odběry jako elektrický ohřev výhybek, zabezpečovací zařízení.

Nejvýznamnějším odběratelem elektrické energie z trakčního vedení a rozvodů SŽDC jsou operátoři vlakové dopravy ČD a ČD Cargo, kteří odebírají elektrickou energii na základě smlouvy. Na trhu se uplatňují ale i další operátoři, zejména v oblasti nákladní dopravy. Odběr z napájecí stanice musí být tedy fakturován mezi několik operátorů vlakové dopravy. SŽDC je často vlastníkem rozvoden 22kV/0,4kV ze kterých jsou napájena vlaková nádraží, které jsou ve

vlastnictví ČD. Tyto odběry jsou taktéž osazeny cejchovaným elektroměrem a s odběrateli jsou uzavřeny smlouvy o odběru.

Aby SŽE mohla vystupovat v roli distributora elektrické energie, musí vlastnit podle podmínek Energetického regulačního úřadu (dále jen ERU) licenci na obchod s elektrickou energií.

Cenu za dodávku elektrické energie a její přenos stanovuje SŽE.

### **1.1.2. SŽE v roli odběratele elektrické energie**

SŽE zajišťuje nákup elektrické energie pro trakční napájecí stanice a další drážní odběry. Na základě žádosti SŽE se odběr trakčních napájecích stanic sčítá a z tohoto důvodu se SŽE stalo v roce 2004 oprávněným zákazníkem. Hlavní výhodou tohoto bylo, že SŽE jako oprávněný zákazník si může vybrat dodavatele elektrické energie a sčítáním odběrů jednotlivých trakčních napájecích stanic se eliminuje vysoké riziko překročení nasmlouvaného čtvrt hodinového maxima.

SŽE v roli odběratele musí splnit požadavky distributora elektrické energie stanovené v jeho připojovacích podmínkách a musí co nejpřesněji predikovat svůj odběr. Jak distributor elektrické energie (ČEZ, E.ON, PRE), tak odběratel elektrické energie (SŽE) osazuje trakční napájecí stanice statickými fakturačními elektroměry s přenosem dat na dispečink pomocí GPRS. SŽE tak má zajištěnu nepřetržitou kontrolu zda nepřekračuje hodnoty povolené (účiník, harmonické) nebo nasmlouvané (čtvrt hodinové maximum).

Měřícím vstupem přesných fakturačních statických elektroměrů distributora i odběratele jsou přístrojové měřící transformátory induktivního typu s izolačním napětím 123kV v rozvodně 110kV, které měří při nesinusových průbězích napětí a proudu se zvýšenou chybou převodu i fáze.

Stávající elektrická hnací vozidla používaná na stejnosměrné trakční soustavě 3kV DC řídí trakční výkon buď použitím rozjezdových odporů a přepínáním řazení sériových motorů nebo pulzním měničem. Nicméně trakční napájecí stanice stejnosměrné trakční soustavy 3kV DC se jeví z pohledu přenosu vyšších harmonických do distribuční rozvodné soustavy jako méně problematická. To je zejména díky použití dvanáctipulzních trakčních usměrňovačů, v jejichž napájecím proudu není obsažena složka 5. a 7. harmonické, přičemž složka 11. a 13. harmonické splňuje meze stanovené v připojovacích podmínkách distributora elektrické energie.

Elektrická hnací vozidla používaná na jednofázové trakční soustavě 25kV, 50Hz používají pro regulaci trakčního výkonu odbočkovou regulaci, neřízený diodový usměrňovač a sériové stejnosměrné trakční motory zapojené paralelně. Tato hnací vozidla mají nevyhovující

účiník (cca 0,84 [1]) a produkují vyšší harmonické (zejména 3. a 5.), které jsou přenášeny do distribuční rozvodné soustavy 110kV. Za účelem zlepšení účiníku odběru těchto elektrických hnacích vozidel a omezení přenosu vyšších harmonických do distribuční rozvodné soustavy 110kV se do trakčních napájecích stanic jednofázové trakční soustavy 25kV, 50Hz musí instalovat filtračně kompenzační zařízení (dále jen FKZ).

SŽE jako hlavní dodavatel elektrické energie vlakovým operátorem však zatím nemá možnost podmínky vyplývající z připojovacích podmínek mezi SŽE a ČEZ (E.ON, PRE) přenést na vlakové operátory. Vzhledem ke stáří elektrických hnacích jednotek vlakových operátorů by bylo přenesení těchto požadavků na vlakové operátory neřešitelný problém. Proto SŽE zabezpečuje na své náklady osazení trakčních napájecích stanic jednofázové trakční soustavy 25kV, 50Hz FKZ.

Cena za dodávku a přenos elektrické energie SŽE stanovuje ERÚ.

## 1.2. Požadavky distributora elektrické energie

### 1.2.1. Přístrojové transformátory

Přístrojové transformátory musí splňovat podmínky těchto norem:

- ČSN EN 60044-1 Přístrojové transformátory – část 1: Transformátory proudu,
- ČSN EN 60044-2 Přístrojové transformátory – část 2 : Transformátory napětí,
- ČSN EN 60044-3 Přístrojové transformátory – část 3: Kombinované transformátory,
- ČSN EN 60044-5 Přístrojové transformátory – část 5: Kapacitní transformátory napětí.

Přístrojové transformátory s izolačním napětím 123kV, jak proudové tak napěťové, mají většinou dvě a více sekundárních vinutí. Sekundární vinutí pro jištění má menší přesnost v okolí jmenovitého proudu (napětí), ale vyhovující přesnost při zkratu pro potřeby jištění. Sekundární vinutí určené pro spojení s fakturačním elektroměrem je zpravidla zaplombované a má vysokou přesnost při jmenovitém primárním proudu (napětí), ale nízkou přesnost při nadproudech a přepětích. Jelikož sekundární zaplombované vinutí přístrojového transformátoru slouží jako vstup pro fakturační měření, je přístrojový transformátor „měřidlem stanoveným“. Stanovená měřidla podléhají zákonu č.505/1990Sb (Zákon o metrologii). Tato měřidla musejí být schválená:

- Schvalování typů

Platí vždy pro jeden vzorek z dané typové série. Schválení typu provádí Český metrologický institut nebo lze již vykonanou zkoušku uznat, pokud je výrobek z EU případně z jiného státu, s nímž je sjednána mezinárodní smlouva o uznávání zkoušek.

➤ Ověřování přístrojových transformátorů

Před uvedením do provozu musí být přístroje ověřeny. Ověření vykonávají metrologické orgány.

a musí splňovat předepsané minimální třídy přesnosti:

- měřící místo o napětí od 1kV do 52kV – třída přesnosti 0,5
- měřící místo o napětí vyšším než 52kV – třída přesnosti 0,2.

Určitou odlišností přístrojových transformátorů jako stanovených měřidel je, že výrobcem udaná přesnost platí v mezích udaných normou.

### 1.2.2. Připojovací podmínky

Distributor elektrické energie monitoruje zpětné vlivy odběrů na distribuční rozvodnou soustavu 110kV. Podkladem pro takovéto posouzení byla nejdříve zahraniční norma [2] a později norma [3], která zkoumá zátěž a její zpětný vliv na distribuční rozvodnou soustavu.

Distributor elektrické energie musí garantovat odběratelům elektrické energie dodávku elektrické energie s parametry, které jsou v souladu s normou [3]. Aby tyto parametry mohl distributor elektrické energie splnit, stanovuje pro střední a velké odběry tzv. připojovací podmínky. Povinnosti odběratele je tyto podmínky splnit při využití všech technicky dostupných opatření.

Jelikož v ČR působí 3 významní distributoři elektrické energie (ČEZ, E.ON, PRE) liší se jejich požadavky na omezení zpětných vlivů odběru, které jsou stanovené v připojovacích podmínkách. Odběr je navíc čím dál více deformován vyššími harmonickými, a to i v případě odběru domácností, proto se i požadavky dodavatele elektrické energie zpřísňují. Níže jsou uvedeny požadavky maximálních přípustných vlivů na distribuční rozvodnou soustavu 110kV distributora elektrické energie pro trakční napájecí stanici Veselí nad Lužnicí jednofázové trakční soustavy 25kV, 50Hz.

**Požadavek distributora elektrické energie – rok 2008 [4]**

- Účiník odběru ( $\cos \varphi_1$ ) 0,95 – 1

$$\cos \varphi_1 = \text{DPF} = \frac{P}{S} \quad [\cdot] \quad (2.1)$$

kde:  $\cos\varphi_1$ , DPF      účiník základní harmonické [ · ]  
 P                        celkový činný výkon na základní harmonické [W]  
 Q                        celkový jalový výkon na základní harmonické [VAr]

- Maximální meze vyšších napěťových harmonických

Řad harmonické v	Maximální přípustná hodnota $u_v$ pro rezervovaný příkon $S_o$ (%)
3	0,4
5	0,2
7	0,4
9	0,3
11	0,3
13	0,2

- Nesymetrie napětí způsobená jedním odběratelem musí být nejvýše rovna 0,7%.
- Minimální impedance trakční napájecí stanice na frekvenci HDO 216,7Hz musí být větší než  $1288\Omega$ .

Jelikož se, ale výstavba opozdila a realizace byla uskutečněna v roce 2009, změnily se požadavky distributora elektrické energie v připojovacích podmínkách takto:

**Požadavek distributora elektrické energie – rok 2009 [4]**

- Účiník odběru ( $\cos \varphi_1$ ) 0,95 – 1
- Místo původně uplatňovaných omezení vyšších napěťových harmonických uvedených ve výše uvedené tabulce byly stanoveny maximální přípustné úrovně jednotlivých vyšších harmonických proudů na hladině 110 kV podle této tabulky:

řad harmonické	přípustná úroveň proudové harmonické [A]
3	3,72
5	9,299
7	6,199
11	3,1
13	2,48
17	1,24
19	0,93
větší než 19	0,62
THD [%]	nejvýše 13,123

kde: THD je celkové harmonické zkreslení [3]

$$\text{THD} = \sqrt{\sum_{v=2}^{40} \left( \frac{Q_v}{Q_1} \right)^2} \quad [ \cdot ] \quad (2.2)$$

kde:  $Q$  představuje buď proud, nebo napětí

$Q_1$  efektivní hodnota základní harmonické složky proudu, nebo napětí

$v$  řád harmonické

$Q_v$  efektivní hodnota napěťové (proudové) harmonické složky řádu  $v$

- Původní požadavek na dodržení nesymetrie napětí menší než 0,7 % byl následně změněn na mezní hodnotu 1,5 %.
- Pro místo připojení trakční napájecí stanice Veselí nad Lužnicí se požaduje, aby rušivé napětí na frekvenci HDO, nebo v bezprostřední blízkosti, nepřekročilo 0,1 %  $U_n$ , na frekvenci  $f_{HDO} \pm 100$  Hz pak hodnotu 0,3 %  $U_n$ .

## 2. Trakční napájecí stanice jednofázové trakční soustavy 25kV, 50Hz

### 2.1. Účel trakční napájecí stanice jednofázové trakční soustavy 25kV, 50Hz

Trakční napájecí stanice jednofázové trakční soustavy 25 kV, 50 Hz (dále jen TNS 25kV, 50Hz) zabezpečuje spolehlivé napájení trakčního vedení (dále jen TV) jednofázové trakční soustavy 25 kV, 50 Hz. Hlavní částí TNS 25 kV, 50 Hz jsou rozvodny 110kV a 25kV, které spojují třífázovou distribuční soustavu 110kV, 50Hz s jednofázovou trakční soustavou 25kV, 50Hz. Nedochází zde ke změně frekvence, ale pouze k transformaci jmenovitého napětí distribuční soustavy 110kV, 50Hz na jmenovité napětí jednofázové trakční soustavy 25kV, 50Hz. Důležitým úkolem je převést nesymetrický jednofázový trakční odběr do trojfázové distribuční soustavy 110 kV a dodržet dovolenou napěťovou nesymetrii. Za tímto účelem se používá trakčních transformátorů a jejich specifického zapojení umožňujícího částečně omezit napěťovou nesymetrii. Napájení jednofázové trakční proudové soustavy 25kV, 50Hz z trojfázové distribuční soustavy 110kV lze provést dvěma způsoby:

- dělením fází v každé TNS 25 kV, 50 Hz,
- vystřídáním připojení jednofázových TNS 25 kV, 50 Hz na jednotlivé fáze distribuční soustavy 110kV.

V každé TNS 25 kV, 50 Hz jsou osazeny dva olejové transformátory s typovým výkonem 12,5MVA, celkový nainstalovaný výkon je tedy 25 MVA.

Rozvodna 110kV je většinou venkovního provedení a je v uspořádání H. Vlastníkem rozvodny je obvykle SŽDC nebo výjimečně je vlastníkem vstupní části rozvodny 110kV TNS 25kV, 50Hz distributor elektrické energie. Manipulace s přívodními prvky musí být vždy prováděna zaměstnanci SŽDC s vědomím distributora elektrické energie, který vstupní část rozvodny používá pro přenos elektrické energie.

Nezávislé přívody z distribuční soustavy 110kV jsou tedy vždy dva. Každý přívod je osazen přístrojovými transformátory napětí a proudu s izolačním napětím 123kV. Rozvodna 110kV obsahuje kromě přístrojových transformátorů odpojovače, vypínače, svodiče přepětí a povětšině dva jednofázové trakční transformátory zajišťující napájení rozvodny 25kV. Rozvodna 25kV je většinou vnitřního provedení a hlavní část tvoří vzduchem izolovaný kovově krytý rozváděč 25kV, 50Hz. Rozváděč je rozdělen do polí. Základní část rozváděče 25kV tvoří pole přívodní, které jsou osazeny ochranami přívodu, odpojovači a pole vývodová, která jsou osazena vakuovými vypínači a distančními ochranami. Pole přívodní i vývodové jsou osazeny přístrojovými transformátory pro informativní měření (monitoring spotřeby elektrické energie, jištění). Další část rozváděče 25kV, 50Hz tvoří pole vývodové pro FKZ a pole transformátoru vlastní spotřeby 25kV / 230V, 50Hz.

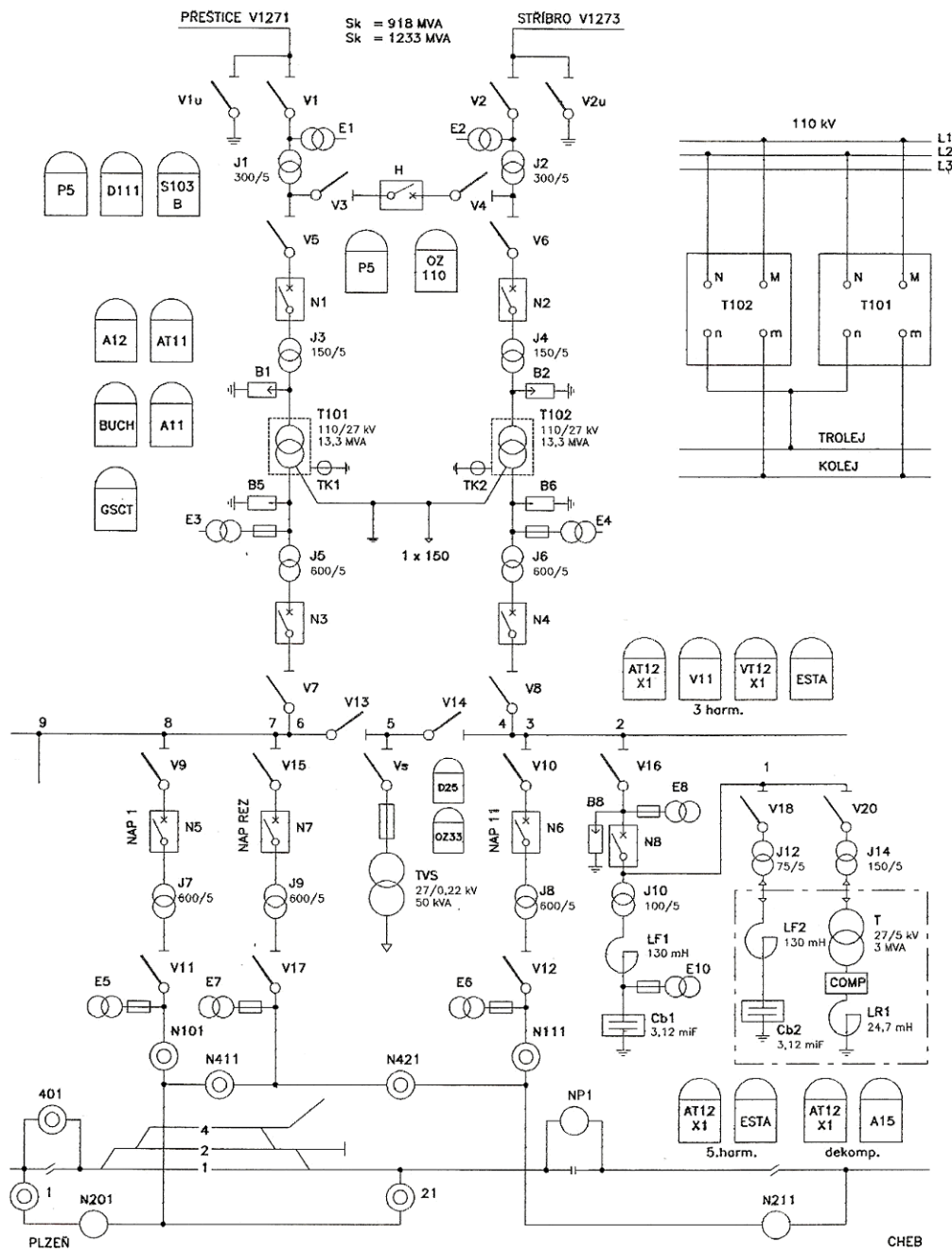
Ochrany rozvodny 110kV jsou většinou umístěny v samostatném domku měření a ochran v objektu rozvodny 110kV nebo jsou umístěny v budově rozvodny 25kV. Umístění fakturačních elektroměrů a ochran do domku v objektu rozvodny 110kV je výhodné zejména z hlediska zkrácení délky kabeláží.

## 2.2. Jednopólové schéma TNS 25kV, 50Hz

Na obrázku 2.1 je příklad uspořádání TNS 25 kV, 50 Hz. Přístrojové transformátory proudu s izolačním napětím 123kV umístěné v rozvodně 110kV jsou ve schématu označeny J1 až J4 a přístrojové transformátory napětí s izolačním napětím 123kV umístěné v rozvodně 110kV jsou označeny ve schématu E1 až E2.

Přístrojové transformátory proudu s izolačním napětím 27,5kV umístěné v rozvodně 25kV jsou ve schématu označeny J5 až J14 a přístrojové transformátory napětí s izolačním napětím 27,5kV umístěné v rozvodně 25kV jsou ve schématu označeny E3-E10.

Kapacitní napěťové transformátory s izolačním napětím 123kV zatím nejsou v rozvodnách 110kV TNS 25kV, 50Hz nasazeny, ale snahu o jejich použití v rozvodnách 110kV nelze zcela vyloučit, protože část rozvodn 110kV TNS 25kV, 50Hz je ve vlastnictví distributora elektrické energie.



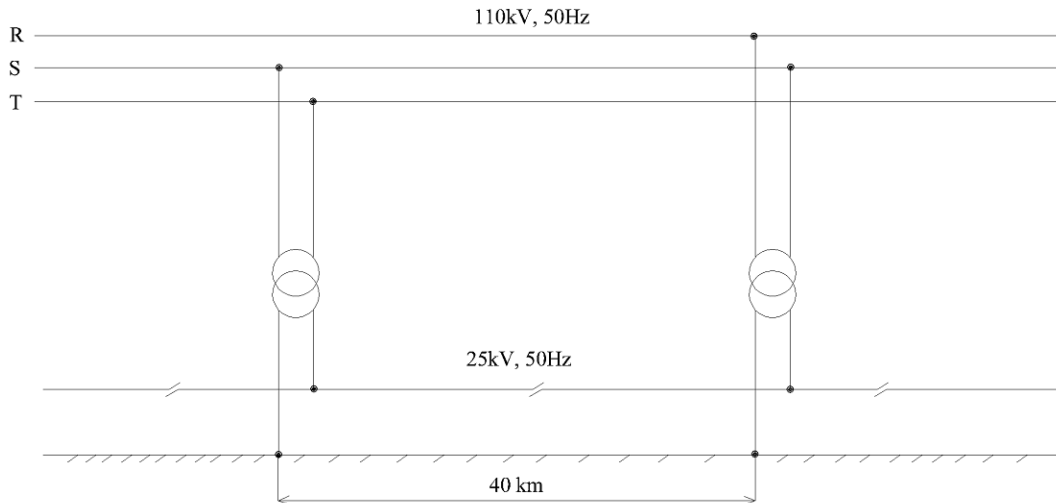
Obrázek 2.1 – Příklad uspořádání TNS 25 kV, 50 Hz - Vranov

### 2.3. Trakční transformátor 110/25kV, 50Hz

Trakční transformátor je jednofázový, olejový s přirozeným chlazením a s typovým výkonem 12,5MVA. Zajišťuje převod jmenovitého napětí distribuční soustavy 110kV, 50Hz na jmenovité napětí jednofázové trakční soustavy 25kV, 50Hz.

### 2.3.1. Schéma připojení TNS 25kV, 50Hz k trakčnímu vedení – zapojení do T

Pro napájení obou traťových směrů se používá pouze jeden trakční transformátor nezávisle na tom, zda se jedná o jednokolejný nebo dvojkolejný úsek (viz *obr. 2.2*).

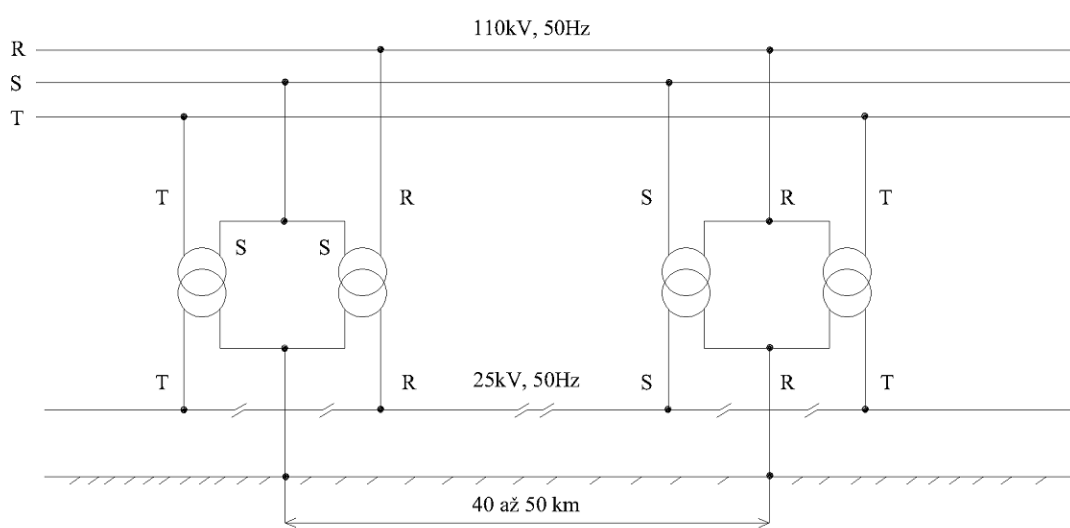


Obrázek 2.2 - Schéma připojení TNS 25kV, 50Hz k trakčnímu vedení – zapojení do T

Tento typ zapojení je nejčastější, ale z hlediska nesymetrie je toto zapojení nevýhodné. Vzdálenost TNS 25kV, 50Hz je při tomto zapojení transformátorů přibližně 40 km.

### 2.3.2. Schéma připojení TNS 25kV, 50Hz k trakčnímu vedení – zapojení do L

Jeden trakční transformátor napájí směr „doleva“ a druhý trakční transformátor směr „doprava“, nezávisle na tom zda se jedná o jednokolejný či dvojkolejný traťový úsek. Toto schéma se používá u vytížených tratí popřípadě tam, kde je TNS 25kV, 50Hz připojena do sítě s malým zkratovým výkonem a je nutné snížit nesymetrii zátěže této sítě [1].



Obrázek 2.3 - Schéma připojení TNS 25kV, 50Hz k trakčnímu vedení – zapojení do L

## 2.4. FKZ v TNS 25kV, 50Hz

### 2.4.1. Důvody doplnění FKZ do TNS 25kV, 50Hz

ČD a ČD Cargo provozují na jednofázové trakční soustavě 25 kV, 50 Hz elektrická hnací vozidla, jejichž koncepce trakčního obvodu je poplatná době jejich vzniku, tj. šedesátým letům minulého století. Vstupní schéma jejich trakčního obvodu je tvořeno jednofázovým diodovým (neřízeným) můstkom, jak bylo v té době obvyklé. Dvoupulzně usměrněným napětím jsou pak napájeny přes vyhlazovací tlumivky stejnosměrné sériové trakční motory.

Uvedená skutečnost způsobuje, že tato elektrická hnací vozidla vykazují vůči jednofázové trakční soustavě 25 kV, 50 Hz dvě nevýhodné vlastnosti, jejichž význam se zpříšňujícími se požadavky distributora elektrické energie roste. Jedná se o tyto vlastnosti:

- „Účiník odebíraného výkonu vykazuje v průměru hodnotu kolem cca. 0,84, což odporuje požadavku distributora elektrické energie, podle kterého je odběratel povinen odebírat elektrickou energii s hodnotou induktivního účiníku 0,95 – 1,00; pokud se distributor elektrické energie s odběratelem nedohodnou jinak a s výjimkou odběrů pro domácnost.“ [1]
- „Časový průběh proudu odebíraného z trakčního vedení je značně deformován, elektrické hnací vozidlo se zde jeví jako generátor proudových harmonických všech lichých rádů, jejichž amplituda je v trakčně ustáleném stavu nepřímo úměrná řádu harmonické (např. obsah 3. harmonické odebíraného proudu dosahuje až 33 % základní harmonické), tyto proudové harmonické pak na impedanci distribuční soustavy 110 kV způsobují nežádoucí harmonické napětí, zkreslující sinusový průběh napětí této distribuční soustavy i pro ostatní odběratele.“[1].

Aby SŽE mohla vyhovět požadavkům distributora elektrické energie, osazuje do TNS 25 kV, 50 Hz FKZ.

### 2.4.2. Funkce FKZ v TNS 25kV, 50Hz

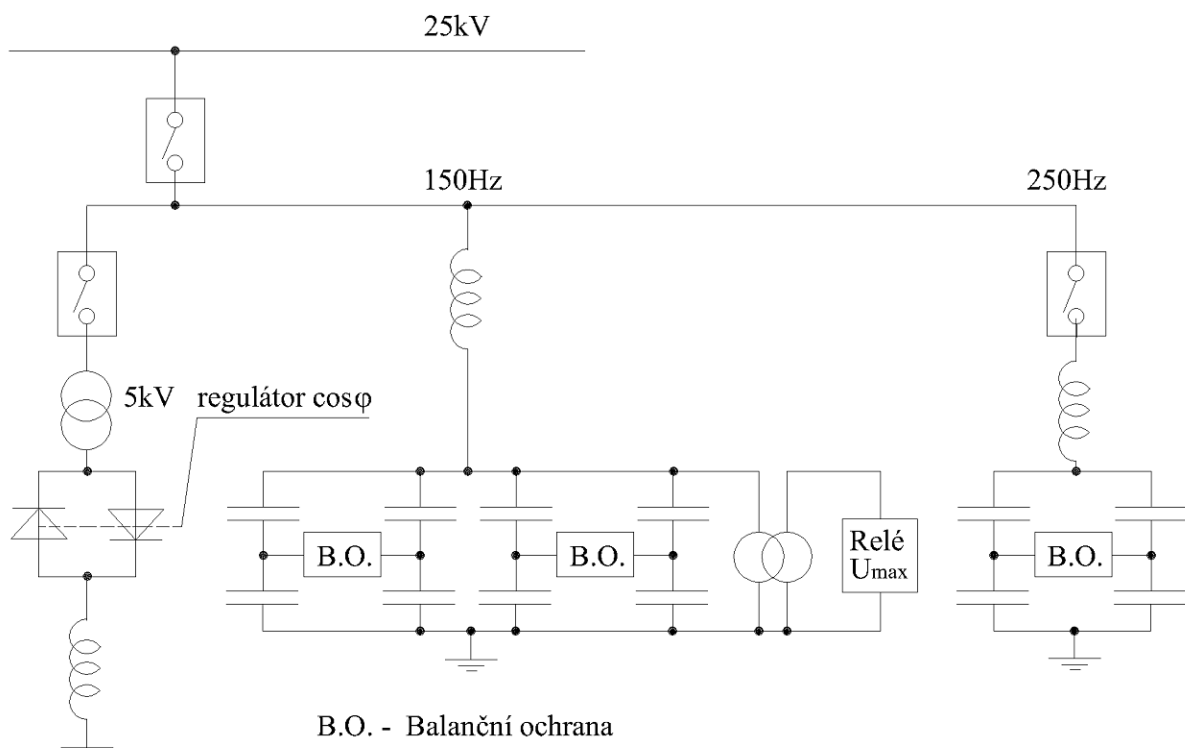
FKZ má splňovat v TNS 25kV, 50Hz následující konkrétní požadavky:

- „Vykompenzovat induktivní jalový výkon elektrických hnacích vozidel s diodovým či tyristorovým trakčním měničem tak, aby v připojovacím bodě TNS 25kV, 50Hz k distribuční soustavě 110kV distributora elektrické energie byl dodržen induktivní účiník základní harmonické DPF ( $\cos \varphi_1$ ) na hodnotě mezi 0,95 – 1.“[1]

- „Zabránit přechodu hodnot tohoto účiníku DPF ( $\cos \varphi_1$ ) do kapacitní oblasti v případě, že odpadl trakční odběr.“[1]
- „Omezit hodnoty napěťových případně proudových harmonických v připojovacím bodě TNS 25kV, 50Hz k distribuční soustavě 110kV tak, aby v tomto bodě byly dodrženy mezní hodnoty jednotlivých harmonických požadované distributorem elektrické energie.“[1]
- „Zajistit, aby vstupní impedance TNS 25kV, 50Hz jako celku včetně připojených úseků trakčního vedení splňovala pro ovládací frekvenci soustavy hromadného dálkového ovládání distributora elektrické energie jím požadovanou minimální hodnotu, a to jak pro stav trakčně naprázdno, tak i pro zadaný trakční odběr.“[1]

#### 2.4.3. FKZ dnešní koncepce

Dnešní koncepce FKZ obsahuje dvě paralelně řazené sériové LC větve (laděné do blízkosti 3. a 5. harmonické) doplněné paralelně připojenou odpojatelnou dekompenzační větví, obsahující snižovací transformátor, dekompenzační tlumivku a tyristorový fázový regulátor (viz *obrázek 2.4*).



*Obrázek 2.4 - FKZ dnešní koncepce [1]*

### 3. Chyba převodu a úhlu přístrojových transformátorů v rozvodně 110kV TNS 25kV, 50Hz při sinusovém průběhu napětí a proudu

#### 3.1. Provedení přístrojových transformátorů

Přístrojové transformátory s izolačním napětím 123kV, které jsou umístěny v rozvodně 110kV TNS 25kV, 50Hz, mají uzavřený feromagnetický obvod.

##### 3.1.1. Provedení přístrojového transformátoru proudu

###### 3.1.1.1. Feromagnetický obvod přístrojového transformátoru proudu

Feromagnetický obvod přístrojového transformátoru proudu je složený z transformátorových plechů do tvaru obdélníku nebo prstence. Feromagnetický obvod lze rozdělit na jádro a spojku, přičemž spojka je obepínaná sekundárním a primárním vinutím. Přístrojový transformátor proudu má na rozdíl od přístrojových transformátorů napětí zvlášť feromagnetický obvod (prstenec) pro sekundární vinutí měřící a zvlášť pro sekundární vinutí jistící.

Feromagnetický obvod složený z transformátorových plechů složených do tvaru obdélníku se u přístrojových transformátorů proudu s izolačním napětím 123kV dnes již nepoužívá. Jeho využití je možné tam, kde není požadavek na vysokou přesnost měření.

Přístrojové transformátory proudu s izolačním napětím 123kV používané v rozvodnách 110kV TNS 25kV, 50Hz mají feromagnetický obvod složen z transformátorových plechů složených do tvaru prstence. Sekundární vinutí je navinuté pouze na určitou část tohoto prstencového feromagnetického obvodu. Vodič přivádějící měřený primární proud představuje „primární vinutí“. Tento vodič je v podstatě tyč (vysoká zkratuvzdornost), která prochází prstemcem a tímto průchodem skrz střed prstence vzniká 1 závit. Proto jsou tyto přístrojové transformátory proudu označovány jako tyčové. Tyčové přístrojové transformátory proudu v rozvodně 110kV TNS 25kV 50Hz mají většinou jmenovitý převod proudu 100-300/5A. Feromagnetický obvod ve tvaru prstence je výhodný zejména kvůli tomu, že magnetický tok buzený primárním proudem je ve směru magnetických domén orientovaných plechů. Tím je dosažena:

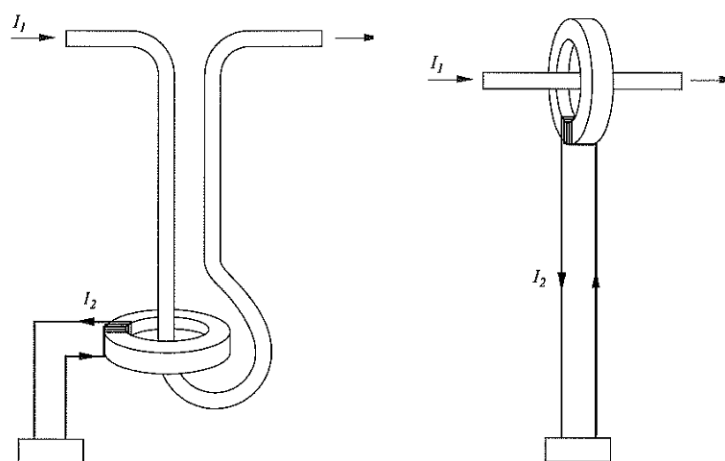
- nízká reluktance,
- nízké ztráty v jádru,
- vysoké permeability.

Plechy, ze kterých je složen feromagnetický obvod ve tvaru prstence jsou z materiálů obsahující nikl, který zajišťuje vysokou permeabilitu. Nejvíce používané materiály jsou:

- mumetal (70% Ni),
- permandur (50% Co, 50% Fe),
- hipernik (50% Ni, 50% Fe).

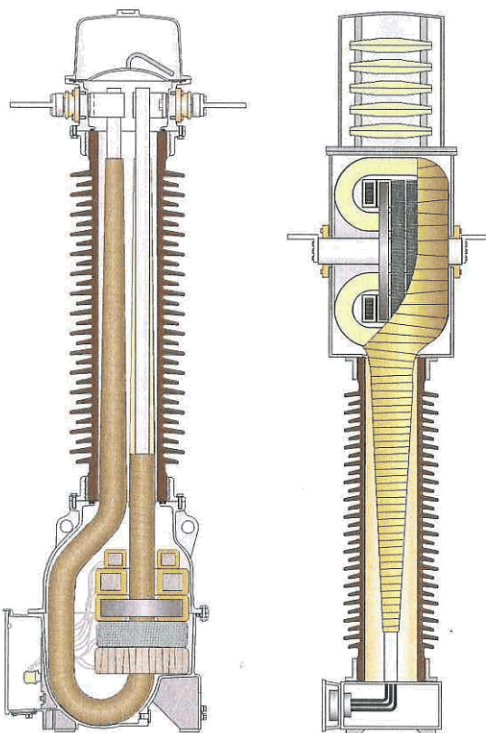
Všechny tyto materiály mají svoje výhody a nevýhody. Materiál je zvolen vždy na základě požadavků na dané sekundární vinutí (měření, jištění).

Podle toho zda je uzavřený feromagnetický obvod v horní nebo spodní části přístrojového transformátoru proudu, rozlišujeme tyčový přístrojový transformátor proudu s uzavřeným feromagnetickým obvodem dole a tyčový přístrojový transformátor proudu s uzavřeným feromagnetickým obvodem nahoře viz. *obrázek 3.1*. Oba typy tyčových přístrojových transformátorů proudu jsou v rozvodnách 110kV TNS 25kV AC používány. První typ je častější a vyrábí ho firma Pfiffner (typ JOF) a ABB (typ IMB). Druhý typ vyrábí firma Areva (OSKTF).



*Obrázek 3.1 - a)* tyčový přístrojový transformátor proudu s uzavřeným feromagnetickým obvodem dole, *b)* tyčový přístrojový transformátor proudu s uzavřeným feromagnetickým obvodem nahoře [5]

Na *obrázku 3.2* jsou řezy tyčovými přístrojovými transformátory proudu s uzavřeným feromagnetickým obvodem dole a s uzavřeným feromagnetickým obvodem nahoře.



*Obrázek 3.2 – Řez tyčovým přístrojovým transformátorem proudu s uzavřeným feromagnetickým obvodem dole a nahoře [5]*

V rozvodnách 110kV TNS 25kV AC se používají i kombinované přístrojové transformátory napětí a proudu. Mezi hlavní výhody těchto přístrojů patří malá záběrná plocha, která je však vyvážena nevýhodami jako omezený prostor pro uzavřený feromagnetický obvod přístrojového transformátoru proudu a z toho plynoucí omezení v proudovém rozsahu převodu.

### 3.1.1.2. Uspořádání přístrojového transformátoru proudu

Příklad vzhledu tyčového přístrojového transformátoru proudu s uzavřeným feromagnetickým obvodem dole je na *obrázku 3.3 a)* a na *obrázku 3.3 b)* je řez tímto přístrojovým transformátorem proudu.



*Obrázek 3.3a* - Příklad tyčového přístrojového transformátoru proudu pro venkovní použití s uzavřeným feromagnetickým obvodem dole **b)** řez tímto tyčovým přístrojovým transformátorem proudu [6]

kde:

1. Plynové tlumení - hermeticky uzavřený expansní systém kompenzující změny tlaku kvůli změnám teploty. Většinou je použit dusičný plyn.
2. Ventil pro plnění oleje
3. Křemičitá výplň - volný prostor v tyčovém přístrojovém transformátoru proudu je vyplněn čistým a suchým pískem. Křemičitý písek redukuje množství oleje nezbytné uvnitř přístrojového transformátoru proudu kvůli zajištění dlouhé životnosti izolačního papíru (sulfátový papír). Křemičitý písek nejen, že izoluje, ale navíc zajišťuje mechanickou pevnost feromagnetického obvodu přístrojového transformátoru proudu a primárního vinutí.
4. Primární vodič - primární vinutí obsahuje jednu nebo více tyčí z Al nebo Cu ohnutých tak aby tvořili závit, jak je ukázáno v řezu na *obrázku 3.1*.
5. Feromagnetický obvod / Sekundární vinutí - feromagnetický obvod sekundárního vinutí pro měření je většinou vyroben z plechů s příměsí niklu,

který poskytuje nízkou úroveň saturace a nízké ztráty a přispívá k dosažení celkové přesnosti. Feromagnetický obvod sekundárního vinutí pro jištění je vyroben z vysoce kvalitních legovaných a orientovaných plechů. Sekundární vinutí je navrženo s dvojitě lakovaným měděným drátem.

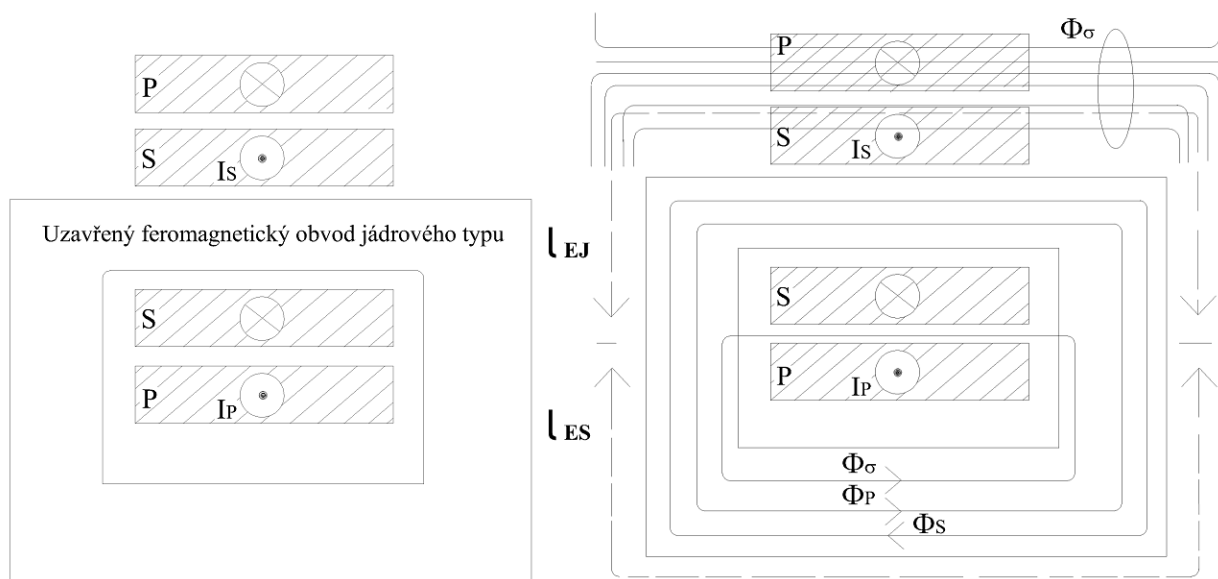
6. Připojovací skříňka sekundárních svorek - svorky sekundárního vinutí jsou vyvedeny do připojovací skřínky. Zde se připojují kabely pro měření a ochrany.
7. Kapacitní napěťová odbočka (pouze na požadavek odběratele) - odbočka je vyvedena z druhé do poslední kapacitní vrstvy vysokonapěťové izolace skrz průchodku na nádobě přístrojového transformátoru proudu. Je používána ke kontrole stavu izolace při měření ztrátového úhlu ( $\text{tg}\delta$ ). Může být použita pro indikaci napětí.  
Poznámka: kvůli malé hodnotě kapacity je vývod limitován a nemůže se na něj připojit ochranná relé, nebo měřicí přístroje.
8. Expansní nádoba – je naplněna dusíkatým plynem. Navíc, křemičitá výplň podstatně redukuje objem oleje vevnitř přístrojového transformátoru proudu a relativně veliký objem plynu minimalizuje změny tlaku.
9. Stavoznak oleje
10. Primární svorky
11. Zemní svorka přístrojového transformátoru proudu.

### 3.1.2. Provedení přístrojového induktivního transformátoru napětí

#### 3.1.2.1. Feromagnetický obvod přístrojového induktivního transformátoru napětí

Feromagnetický obvod přístrojového induktivního transformátoru napětí je složen z transformátorových plechů válcovaných za studena (nízká rozptylová indukčnost), které mají plochou magnetizační křivku. Feromagnetický obvod je předimenzován, aby zajistil velmi malý tok při jmenovitém napětí.

Na *obrázku 3.4.* je zobrazen uzavřený feromagnetický obvod jádrového typu přístrojového induktivního transformátoru napětí. Na rozdíl od přístrojového transformátoru proudu je uzavřený feromagnetický obvod společný vždy pro obě sekundární vinutí (měření, jištění).

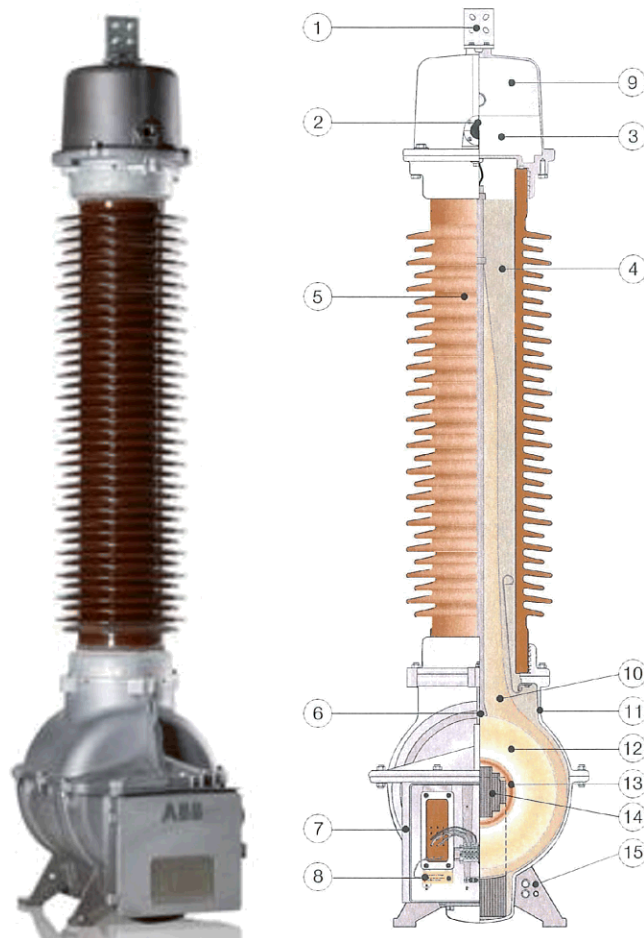


*Obrázek 3.4 – Uzavřený feromagnetický obvod jádrového typu transformátoru napětí jádrového typu s jedním sek. vinutím*

- kde:
- P primární vinutí přístrojového transformátoru napětí [závit]
  - S sekundární vinutí přístrojového transformátoru napětí [závit]
  - $I_S$  proud sekundárním vinutím [A]
  - $I_P$  proud primárním vinutím [A]
  - $\Phi_\sigma$  rozptylový tok buzený  $I_P$  [Wb]
  - $\Phi_P$  magnetický tok buzený primárním proudem [Wb]
  - $\Phi_S$  magnetický tok buzený sekundárním proudem [Wb]
  - $\ell_{EJ}$  délka jádra uzavřeného feromagnetického obvodu [m]
  - $\ell_{ES}$  délka spojky uzavřeného feromagnetického obvodu [m]

### 3.1.2.2. Uspořádání přístrojového induktivního transformátoru napětí

Příklad vzhledu přístrojového induktivního transformátoru napětí s uzavřeným feromagnetickým obvodem jádrového typu je na *obrázku 3.5 a)* a na *obrázku 3.5 b)* je zobrazen řez tímto přístrojem.



**Obrázek 3.5a)** - Příklad přístrojového induktivního transformátoru napětí s uzavřeným feromagnetickým obvodem pro venkovní použití **b)** řez tímto přístrojovým induktivním transformátorem napětí [7]

kde:

1. Primární svorky – připojovací konektor, pro horizontální nebo vertikální připojení k primárnímu vodiči.
2. Referenční sklo – stavoznak hladiny oleje.
3. Olej - elektromagnetická jednotka je izolována olejem v hermeticky uzavřené hliníkové nádobě se standardním transformátorovým olejem.
4. Křemičitá výplň - volný prostor v přístrojovém transformátoru napětí je vyplněn čistým a suchým pískem. Křemičitý písek redukuje množství oleje nezbytného uvnitř přístrojového transformátoru napětí kvůli zajištění dlouhé životnosti izolačního papíru (sulfátový papír). Křemičitý písek nejen, že izoluje, ale navíc zajišťuje mechanickou pevnost feromagnetického obvodu přístrojového transformátoru napětí a primárního vinutí.

5. Izolátor - je vyroben z vysoce kvalitního glazovaného porcelánu, typická barva je hnědá.
6. Závěsné oko
7. Připojovací skříňka - svorky sekundárního vinutí jsou vyvedeny do připojovací skřínky. Zde se připojují kabely pro měření a ochrany
8. Bezpotenciálová koncová svorka
9. Plynové tlumení - hermeticky uzavřený expansní systém kompenzující změny tlaku vznikající kvůli změnám teploty. Většinou je použit dusičný plyn.
10. Papírová izolace
11. Nádoba - nádoba je většinou vyrobena z žárově zinkované oceli.
12. Primární vinutí - primární vinutí je typicky konstruováno jako vícevrstvá cívka s dvojitě lakovaným vodičem, která je izolovaná od sekundárního vinutí, feromagnetického obvodu lepenkou nebo papírem.
13. Sekundární vinutí - přístrojový transformátor napětí má často dvě sekundární vinutí – první pro měření, druhé pro jištění. Vinutí jsou navržena s dvojitě lakovaným drátem a jsou izolovány od feromagnetického obvodu a primárního vinutí lepenkou nebo papírem.
14. Feromagnetický obvod - je vyroben z materiálu, který má plochou magnetizační křivku. Feromagnetický obvod je předimenzován, aby zajistil velmi malý tok na jmenovitém napětí.
15. Uzemnění

### **3.1.3. Provedení přístrojového kapacitního transformátoru napětí**

#### **3.1.3.1. Feromagnetický obvod přístrojového kapacitního transformátoru napětí**

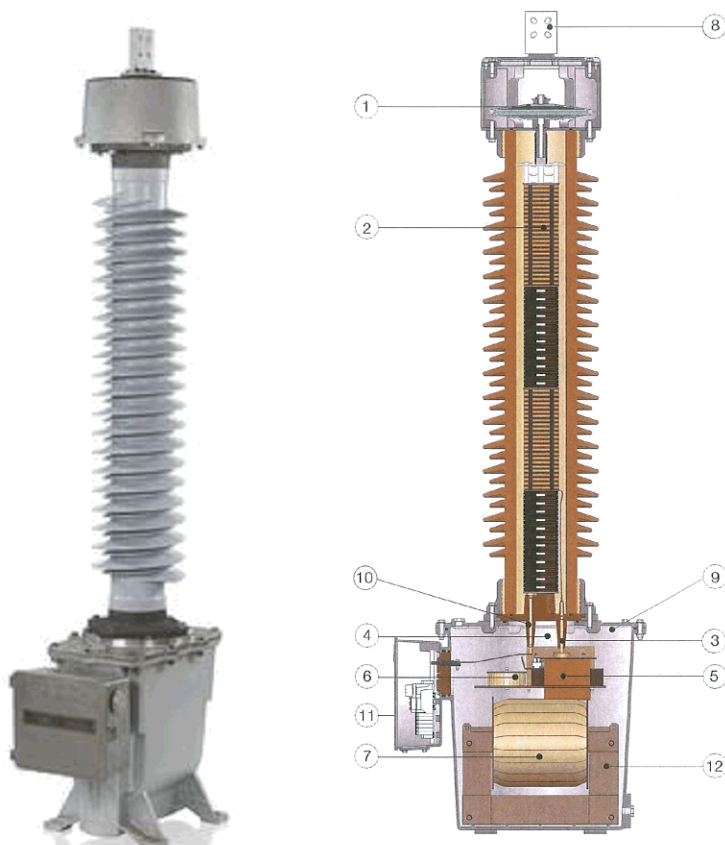
Přístrojový kapacitní transformátor napětí obsahuje kapacitní dělič, který zajišťuje snížení primárního napětí na napětí 4-10kV (rozdílné podle výrobce) a teprve poté je toto napětí dále sníženo středněnapěťovým transformátorem napětí na napětí výstupní vhodné pro měřící a jistící přístroje. Pro feromagnetický obvod středněnapěťového transformátoru platí stejné závěry, jako pro přístrojový induktivní transformátor napětí viz *bod 3.1.2.1*.

#### **3.1.3.2. Uspořádání přístrojového kapacitního transformátoru napětí**

Na *obrázku 3.6 a)* je zobrazen příklad přístrojového kapacitního transformátoru napětí pro venkovní použití a na *obrázku 3.6 b)* zobrazen řez tímto přístrojovým kapacitním

transformátorem napětí. Přístrojový kapacitní transformátor napětí se skládá ze dvou konstrukčních celků:

- A. Kapacitní dělič - sekce sériově zapojených kondenzátorů
- B. Elektromagnetická jednotka - podpěrná skříň s elektromagnetickým příslušenstvím



*Obrázek 3.6 a) - Příklad přístrojového kapacitního transformátoru napětí pro venkovní použití, b) řez přístrojovým kapacitním transformátorem napětí [8]*

kde:

*A – kapacitní napěťový dělič*

1. Olejem naplněná expanzní komora - vysokonapěťové kondenzátory mají dielektrikum z vysoce kvalitní polypropylénové fólie/dielektrického papíru zalitého vysoce kvalitním syntetickým olejem. V případě nadměrného tlaku vlétne olej do expanzní komory, prorazí membránu a tlak se sníží. Proražená membrána dává vizuální indikaci o poruše.
2. Kondenzátory –  $C_1$  i  $C_2$  obsahuje velký počet sériově zapojených, olejem izolovaných vysokonapěťových kondenzátorů. Kondenzátory jsou konstruovány s respektováním požadavků na přesné měření. Aktivní část obsahuje hliníkovou

fólii, izolovanou papírem/polypropylenovou fólií, která je impregnována bezolovnatým syntetickým olejem. Kvůli výjimečným proporcím mezi papírem a polypropylénovou fólií, dielektrikum vykazuje nezávislost na změnách teploty.

3. Vývod do středněnapěťového transformátoru
8. Připojovací konektor primárního vodiče
10. Vývod sekundárního vinutí do připojovací skřínky.

#### ***B – elektromagnetická jednotka***

4. Sklo stavoznaku oleje
5. Kompenzační tlumivka - tlumivka připojená do série mezi kapacitní dělič a primární vinutí středněnapěťového transformátoru. Tlumivka kompenzuje posun fázového úhlu způsobeného kapacitním děličem. Kapacitní a induktivní reaktance jsou laděny pro každý přístrojový kapacitní transformátor napětí před testováním přesnosti.
6. Tlumící zařízení ferorezonance.
7. Primární a sekundární vinutí středněnapěťového transformátoru.
9. Plynové tlumení - hermeticky uzavřený expansní systém kompenzující změny tlaku vznikající kvůli změnám teploty. Většinou je použit dusičný plyn.
11. Připojovací skřínka – svorky sekundárního vinutí jsou vyvedeny do připojovací skřínky. Zde se připojují kabely pro měření a ochrany.
12. Feromagnetický obvod středněnapěťového transformátoru.

### **3.2. Náhradní schéma přístrojového transformátoru**

#### **3.2.1. Náhradní schéma přístrojového transformátoru proudu a induktivního transformátoru napětí platné v okolí jmenovité frekvence**

Náhradní schéma přístrojového transformátoru proudu a přístrojového transformátoru napětí je možné uvažovat společné, protože oba přístrojové transformátory mají feromagnetický obvod složen z transformátorových plechů (rozdílné jsou použité materiály) a je v obou případech uzavřený. Feromagnetický obvod obou přístrojových transformátorů lze rozdělit na spojku a jádro, přičemž spojka je část feromagnetického obvodu obepínaná vinutím a má délku  $\ell_{ES}$  viz *obrázek 3.4* a jádro je část feromagnetického obvodu, která není obepínaná vinutím a má délku  $\ell_{EJ}$ .

Přístrojový transformátor proudu má uzavřený feromagnetický obvod ve tvaru prstence, který je samostatný pro každé sekundární vinutí. Přístrojový transformátor napětí má uzavřený feromagnetický obvod ve tvaru obdélníku a je společný pro obě sekundární vinutí.

Tok energie je u obou typů přístrojových transformátorů z vnějšího vinutí do vnitřního, jak je obvyklé. Vnější vinutí (vstupní) je označováno jako primární a vnitřní vinutí (výstupní) je označováno jako sekundární. Proud v primárním vinutí  $I_P$  budí magnetický tok  $\Phi_P$ , který zabírá s oběma vinutími a prochází jen feromagnetickým obvodem a zároveň  $I_P$  budí rozptylový tok  $\Phi_\sigma$ , který zabírá pouze s primárním vinutím. Sekundární proud  $I_S$  budí magnetický tok  $\Phi_S$ , který se uzavírá pouze feromagnetickým obvodem a zabírá s oběma vinutími viz. **obrázek 3.4**.

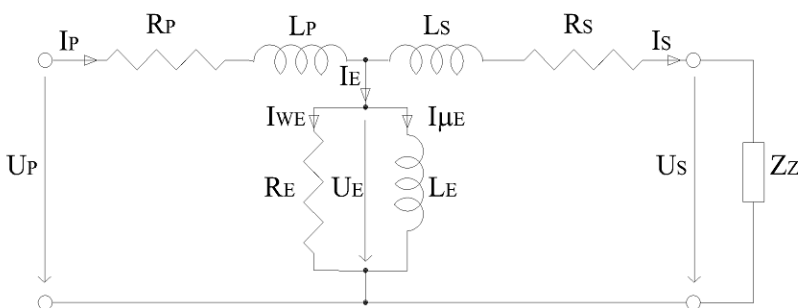
Celková rozptylová indukčnost buzená primárním proudem se rozdělí za předpokladu  $N_P = N_S$  takto:

$$L_\sigma = L_P + L_S \text{ [H]} \quad (3.1)$$

kde:  $L_P$  rozptylová indukčnost primárního vinutí [H]

$L_S$  rozptylová indukčnost sekundárního vinutí [H]

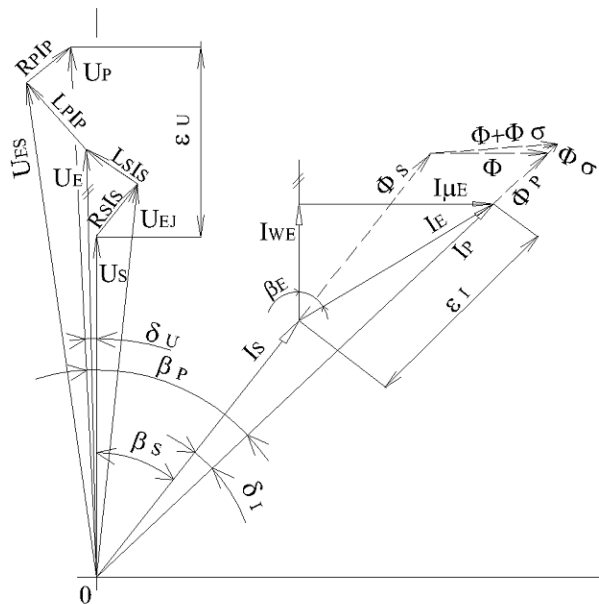
Na **obrázku 3.7** je společné náhradní schéma přístrojového transformátoru proudu a napětí s uzavřeným feromagnetickým obvodem platné v okolí jmenovité frekvence a při  $N_P = N_S$ . Hodnoty jednotlivých prvků náhradního schématu jsou však pro oba typy přístrojových transformátorů odlišné. Zatímco přístrojový transformátor proudu pracuje ve stavu blízkém stavu transformátoru „nakrátko“ a je konstruován, tak aby měl co nejvyšší průchozí impedanci (co nejnižší hodnotu  $R_P, R_S, L_P, L_S, R_E$  a co nejvyšší  $L_E$ ). Přístrojový induktivní transformátor napětí pracuje ve stavu blízkém transformátoru „naprázdno“ a je snaha, aby měl co nejnižší průchozí impedanci (co nejnižší hodnoty  $R_P, L_P, R_S, L_S$ ) a vzhledem k malému sycení feromagnetického obvodu mají  $R_E$  a  $L_E$  přístrojového transformátoru napětí menší vliv na přesnost měření než u přístrojového transformátoru proudu..



**Obrázek 3.7 -** Společné náhradní schéma přístrojového transformátoru proudu a napětí s uzavřeným feromagnetickým obvodem platné v okolí jmenovité frekvence 50Hz a za předpokladu  $N_P = N_S$

kde:	$I_P$	primární proud [A]
	$U_P$	primární napětí [V]
	$R_P$	činný odpor primárního vinutí [ $\Omega$ ]
	$L_P$	rozptylová indukčnost primárního vinutí [H]
	$U_E$	elektromotorické napětí [V]
	$I_{WE}$	celkový proud kryjící ztráty v železe pro spojku a jádro [A]
	$I_{\mu E}$	celkový magnetizační proud jádra a spojky [A]
	$I_E$	magnetizační proud [A]
	$R_E$	odpor reprezentující ztráty hysterezní a vřivé ve spojce a jádře [ $\Omega$ ]
	$L_E$	magnetizační indukčnost spojky a jádra [H]
	$L_S$	rozptylová indukčnost sekundárního vinutí [H]
	$R_S$	činný odpor sekundárního vinutí [ $\Omega$ ]
	$U_S$	sekundární napětí [V]
	$I_S$	sekundární proud [A]
	$Z_Z$	vnější zátěž přístrojového transformátoru [ $\Omega$ ]

Na **obrázku 3.8** je vektorový diagram veličin společného náhradního schématu přístrojového transformátoru proudu a napětí s uzavřeným feromagnetickým obvodem za předpokladu  $N_P = N_S$ .



**Obrázek 3.8** - Vektorový diagram veličin společného náhradního schématu přístrojového transformátoru proudu a napětí s uzavřeným feromagnetickým obvodem za předpokladu  $N_P = N_S$

kde:  $\epsilon_1$  chyba proudu u přístrojových transformátorů proudu [%]

$\delta_I$	chyba úhlu u přístrojových transformátorů proudu [']
$\varepsilon_U$	chyba napětí u přístrojových transformátorů napětí [%]
$\delta_U$	chyba úhlu u přístrojových transformátorů napětí [']
$\beta_P$	úhel mezi $U_P$ a $I_P$ [°]
$\beta_S$	úhel mezi $U_S$ a $I_S$ [°]
$\Phi$	hlavní magnetický tok [Wb]
$\Phi_\sigma$	rozptylový tok buzený primárním proudem [Wb]
$\Phi_P$	magnetický tok buzený primárním proudem [Wb]
$\Phi_S$	magnetický tok buzený sekundárním proudem [Wb]

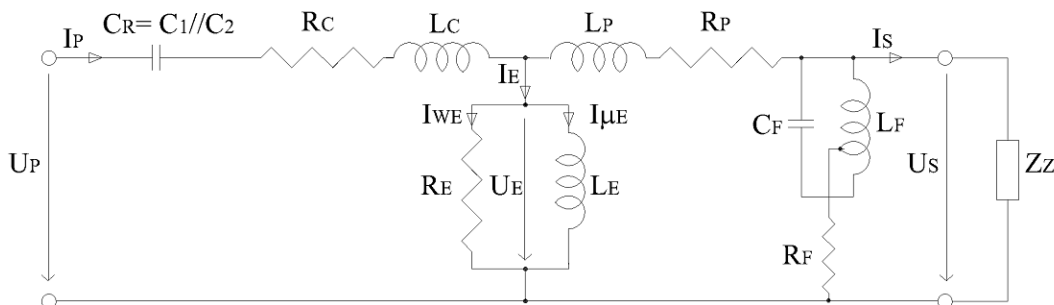
Z vektorového diagramu na *obrázku 3.8* vyplývá, že primární veličiny (proud i napětí) se transformují na sekundární stranu s určitou chybou. Algebraický rozdíl délek vektorů  $I_S - I_P$  je chybou proudu  $\varepsilon_I$  a algebraický rozdíl délek  $U_S - U_P$  je chybou napětí  $\varepsilon_U$ .

Fázový posun mezi vektorem sekundární veličiny a vektorem veličiny primární je chyba úhlu  $\delta_I$  (u proudů) nebo  $\delta_U$  (u napětí).

Přístrojový transformátor může transformovat pouze jednu veličinu a podle toho jsou přístrojové transformátory napětí a proudu.

### 3.2.2. Náhradní schéma přístrojového kapacitního transformátoru napětí

Na *obrázku 3.9* je náhradní schéma přístrojového kapacitního transformátoru napětí s aktivním tlumícím zařízením.



*Obrázek 3.9* - Náhradní schéma přístrojového kapacitního transformátoru napětí s aktivním tlumícím zařízením platné v okolí jmenovité frekvence a za předpokladu  $N_P = N_S$  [9]

kde:  $C_R$

Celková kapacita kondenzátoru  $C_1$  a  $C_2$ , přičemž platí:

$$C_1 \gg C_2$$

$R_C, L_C$

náhradní prvky kompenzační tlumivky

$L_P, R_P, L_E, R_E$	náhradní prvky středněnapěťového transformátoru
$C_F, L_F, R_F$	náhradní prvky tlumícího zařízení
$Z_Z$	impedance zátěže

### 3.3. Princip přístrojového transformátoru proudu

V této kapitole jsou podrobně zkoumány faktory ovlivňující chybu převodu a úhlu přístrojových transformátoru proudu při sinusovém průběhu primárního proudu.

- Chyba proudu (převodu) –  $\varepsilon_I$

Chyba je způsobená rozptylovou indukčností a ztrátami ve vinutí přístrojového transformátoru a způsobí, že skutečný převod není roven jmenovitému převodu.

- Chyba úhlu –  $\delta_I$

Rozdíl fáze mezi fázory primárního proudu a proudu na zátěži; orientace fázorů primárních a sekundárních proudů je volena tak, že u ideálního přístrojového transformátoru je chyba nulová. Chyba úhlu se považuje za kladnou, jestliže fáza sekundárního proudu předchází fázu primárního proudu. Obvykle bývá vyjádřena v úhlových minutách nebo centiradiánech.

#### 3.3.1. Charakteristika funkce

Přístrojové transformátory proudu s izolačním napětím 123kV, které jsou umístěny v rozvodnách 110kV TNS 25kV, 50Hz zajišťují vstupní analogové měření pro statické elektroměry a jištění. Jelikož jsou jiné nároky na sekundární vinutí pro účely fakturačního měření a jiné pro účely jištění, mají přístrojové transformátory proudu oddělené feromagnetické obvody pro jednotlivá sekundární vinutí s různými vlastnostmi.

Primární vinutí přístrojových transformátorů proudu (1 - 3 závity) je zapojeno do série s obvodem, jehož proud se transformuje do obvodu sekundárního. Poměr počtu závitů primárního vinutí  $N_P$  a sekundárního vinutí  $N_S$  je určen (zanedbáme-li chybu proudu) poměrem primárního proudu  $I_P$  a sekundárního proudu  $I_S$ .

Jmenovitý převod proudu je definován jako poměr jmenovitého primárního proudu k jmenovitému sekundárnímu proudu [10]:  $K_n = \frac{N_P}{N_S} = \frac{I_{Pn}}{I_{Sn}}$  [ - ] (3.2)

a chyba převodu přístrojového transformátoru proudu je definována poměrem [10]:

$$\varepsilon_I = \frac{(K_n \cdot I_S - I_P) \cdot 100}{I_P} [\%] \quad (3.3)$$

kde:  $K_n$  jmenovitý převod přístrojového transformátoru proudu [ - ]

$I_P$  skutečný primární proud [A]

$I_S$  skutečný sekundární proud, když protéká  $I_P$  za podmínek měření [A]

Norma [10] definuje ještě celkovou chybu přístrojového transformátoru proudu, což je za ustáleného stavu podmínek efektivní hodnota rozdílu mezi:

- okamžitými hodnotami primárního proudu a
- okamžitými hodnotami skutečného sekundárního proudu násobenými jmenovitým převodem; kladné znaménko primárního a sekundárního proudu odpovídá dohodnutým značením svorek.

Celková chyba je obecně vyjadřována v procentech efektivních hodnot primárního proudu podle vzorce [10]:

$$\varepsilon_C = \frac{100}{I_P} \sqrt{\frac{1}{T} \int_0^T (K_n i_S - i_P)^2 dt} \quad [\%] \quad (3.4)$$

kde:  $K_n$  jmenovitý převod přístrojového transformátoru proudu

$I_P$  efektivní hodnota primárního proudu

$i_P$  okamžitá hodnota primárního proudu

$i_S$  okamžitá hodnota sekundárního proudu

$T$  doba trvání jednoho cyklu

Celková chyba se má použít za těch podmínek, kde nelze použít vektorový součet chyby převodu a chyby úhlu a když nelineární podmínky vytvářejí vyšší harmonické v budícím proudu a v sekundárním proudu. V obecném případě tak celková chyba prezentuje odchylku od ideálního přístrojového transformátoru proudu, jež je způsobena přítomností vyšších harmonických v sekundárním vinutí, které neexistují v primárním vinutí (norma [10] uvažuje vždy primární proud sinusového průběhu).

Číselná hodnota celkové chyby bude vždy větší než vektorový součet chyby převodu a chyby úhlu.

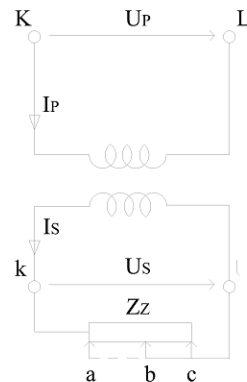
Přístrojový transformátor proudu lze charakterizovat chodem transformátoru nakrátko, tedy impedance magnetizační větve musí být co nejvyšší, aby proud magnetizační větví na kterém je závislá chyba převodu a úhlu byl co nejmenší.

Při nulovém vnějším břemeni ( $Z_Z = 0$ ) jsou sekundární svorky  $k, \ell$  nakrátko (**obrázek 3.10** - jezdec v poloze a). S rostoucím břremenem roste napětí  $U_S = Z_Z \cdot I_S^2$  a tím i napětí  $U_P$  (**obrázek 3.10** - jezdec v poloze b nebo c).

Výkon spotřebovaný vnějším břemenem je vyjádřen takto:

$$P_Z = U_S \cdot I_S = Z_Z \cdot I_S^2 \quad [W] \quad (3.5)$$

a nazývá se zátěž transformátoru proudu. Vzroste-li břemeno  $Z_Z$  a tím i sekundární napětí  $U_S$  nade všechny meze (např. rozpojí-li se sekundární obvod), nastane nebezpečný poruchový stav, který vede k proražení izolace sekundárního vinutí, tedy k mezizávitovému zkratu.



*Obrázek 3.10* - Princip přístrojového transformátoru proudu [12]

Vnější břemeno přístrojového transformátoru proudu tvoří měřící, jistící přístroje připojené na sekundární vinutí přístrojového transformátoru proudu a kabelové přívody k nim. V případě sekundárního vinutí pro měření tvoří vnější břemeno vstupní impedance elektroměru  $Z_{EL}$  a k němu paralelně řazená kapacita přívodního kabelového vedení  $C_K$ . Sekundární účiník vnějšího břemene je označen  $\cos \beta_Z$ .

Celková vstupní impedance elektroměru obsahuje sériově řazené  $R_{EL}$  a  $L_{EL}$  (nebo sériově řazené  $R_{EL}$  a  $C_{EL}$ ) podle typu elektroměru [11] viz *obrázek 3.11*:

$$|Z_{EL1}| = \sqrt{R_{EL}^2 + (\omega L_{EL})^2} \quad [\Omega] \text{ nebo } |Z_{EL2}| = \sqrt{R_{EL}^2 + \frac{1}{(\omega C_{EL})^2}} \quad [\Omega] \quad (3.6)$$

kde:  $Z_{EL1}$  celková vstupní impedance elektroměru induktivního charakteru  $[\Omega]$

$R_{EL}$  činný odpor elektroměru  $[\Omega]$

$L_{EL}$  indukčnost elektroměru  $[H]$

$Z_{EL2}$  celková vstupní impedance elektroměru kapacitního charakteru  $[\Omega]$

$C_{EL}$  kapacita elektroměru  $[F]$

$\omega$  úhlová frekvence  $[Hz]$

Pak pro celkovou impedance vnějšího břemene, která obsahuje paralelní zapojení  $|Z_{EL}|$  a kapacity přívodních kabeláží  $C_K$  mezi statickým elektroměrem a sekundárním vinutí (viz *obrázek 3.11*) platí:

$$|Z_Z| = \frac{1}{|Z_{EL}| + j\omega C_K} = \frac{|Z_{EL}|}{1 + j\omega C_K \cdot |Z_{EL}|} = \frac{|Z_{EL}| \cdot (1 - j\omega C_K \cdot |Z_{EL}|)}{1^2 - (j\omega C_K \cdot |Z_{EL}|)^2} = |Z_{EL}| \cdot \frac{1 - j\omega C_K \cdot |Z_{EL}|}{1 + (\omega C_K \cdot |Z_{EL}|)^2}$$

$$|Z_Z| = |Z_{EL}| \cdot \sqrt{\left(\frac{1}{1 + (\omega C_K \cdot |Z_{EL}|)}\right)^2 + \left(\frac{\omega C_K \cdot |Z_{EL}|}{1 + (\omega C_K \cdot |Z_{EL}|)}\right)^2} [\Omega] \quad (3.7)$$

kde:  $Z_Z$  celková impedance vnějšího břemene přístrojového transf. proudu [ $\Omega$ ]

$Z_{EL}$  vstupní impedance elektroměru [ $\Omega$ ]

$C_K$  kapacita přívodního kabelu k elektroměru [F]

V náhradním schématu (viz *obrázek 3.11*) se určí velikost elektromotorického napětí

takto:  $\bar{U}_E = \bar{I}_S \cdot (\bar{Z}_Z + \bar{Z}_i) = \bar{I}_S \cdot \bar{Z}_C$  [V] (3.8)

Kde  $Z_i$  je impedance vnitřního břemene přístrojového transformátoru proudu a je rovna:

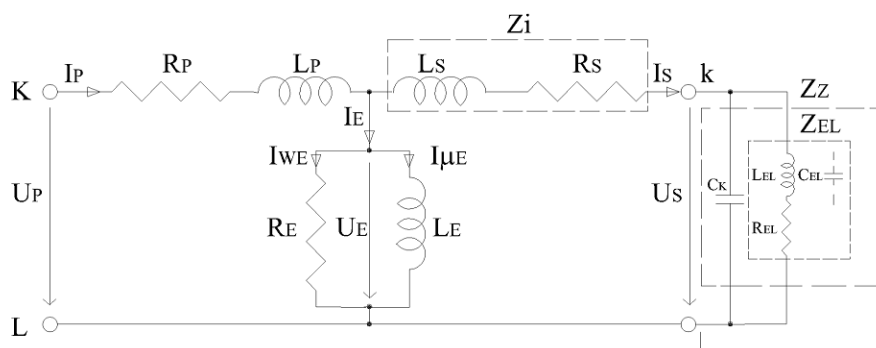
$$|Z_i| = \sqrt{R_S^2 + (\omega L_S)^2} [\Omega] \quad (3.9)$$

Pro vnitřní břemeno ( $Z_i$ ), vnitřní zátěž ( $P_i$ ) a celkovou zátěž ( $P_C$ ) přístrojového transformátoru

proudu platí:  $P_C = Z_C \cdot I_S^2$  [W] (3.10)

Mezi (vnější) zátěží, vnitřní zátěží a celkovou zátěží (výkonem)  $P_C$  a břemeny  $Z_C$  platí vztah:  $\bar{P}_C = \bar{P}_Z + \bar{P}_i$  [W],  $\bar{Z}_C = \bar{Z}_Z + \bar{Z}_i$  [ $\Omega$ ] (3.11)

Náhradní schéma přístrojového transformátoru proudu na *obrázku 3.11* je platné v okolí jmenovité frekvence 50Hz a za předpokladu  $N_P = N_S$ . Vektorový diagram k náhradnímu schématu je na *obrázku 3.12* a platí za stejných podmínek jako náhradní schéma.



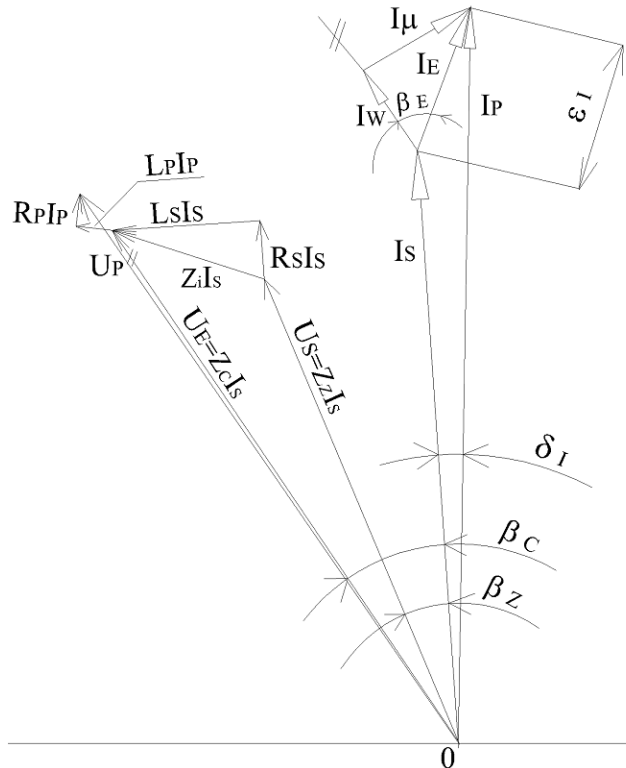
*Obrázek 3.11* - Náhradní schéma přístrojového transformátoru proudu platné v okolí jmenovité frekvence 50Hz a za předpokladu  $N_P = N_S$

kde:  $Z_i$  vnitřní impedance přístrojového transformátoru proudu [ $\Omega$ ]

$C_K$  kapacita přívodního kabelového vedení k elektroměru [F]

$L_{EL}$  indukčnost elektroměru [H]

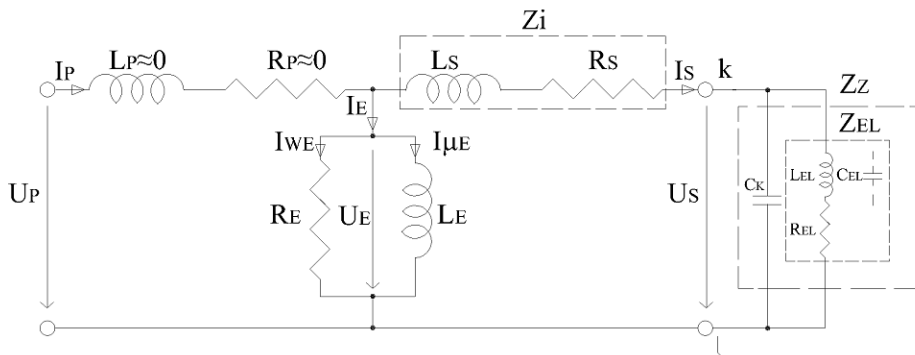
- $R_{EL}$  činný odpor elektroměru [ $\Omega$ ]  
 $Z_{EL}$  celková vstupní impedance elektroměru [ $\Omega$ ]  
 $C_{EL}$  kapacita elektroměru [F]  
 $Z_Z$  celková impedance vnějšího břemene [ $\Omega$ ]



**Obrázek 3.12 -** Vektorový diagram veličin náhradního schématu přístrojového transformátoru proudu za předpokladu  $N_P = N_S$

kde:  $Z_i I_S$  úbytek napětí na impedanci vnitřního břemene [V]  
 $\cos \beta_Z$  sekundární účiník vnějšího břemene [ $\Omega \cdot H^{-1}$ ]  
 $\cos \beta_C$  sekundární účiník celkového břemene [ $\Omega \cdot H^{-1}$ ]

Zjednodušené náhradní schéma přístrojového transformátoru proudu s uzavřeným feromagnetickým obvodem je na **obrázku 3.13** a je platné v okolí jmenovité frekvence 50Hz a za předpokladu  $N_P=N_S$ . V tomto náhradním schématu je zanedbána hodnota  $R_P$  a  $L_P$ , jelikož primární vinutí tvoří 1-3 tyčové závity.



**Obrázek 3.13** - Zjednodušené náhradní schéma přístrojového transformátoru proudu platné v okolí jmenovité frekvence 50Hz a za předpokladu  $N_p=N_s$

Základní rozdíl mezi sekundárním vinutím pro měření a jištění je ve velikosti  $Z_Z$ . Hodnota  $Z_i$  je u přístrojového transformátoru proudu velmi nízká ca.  $0,2\Omega - 1\Omega$ .

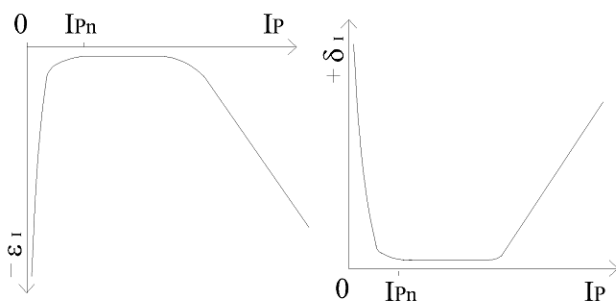
Hodnota  $Z_Z$  je u ochranných obvodů v jednotkách ohmů, ale připojený elektroměr má hodnotu vstupní impedance  $Z_{EL}$  běžně do  $10k\Omega$ .

Z toho plyne, že u sekundárních vinutí pro měření je vysoká hodnota  $U_E$  respektive velmi nízká hodnota  $I_E$ , což je žádoucí kvůli dosažení co nejmenší chyby převodu a úhlu.

### 3.3.2. Závislost chyby převodu a úhlu na primárním proudu, vnějším břemeni, sekundárním účiníku a kolísání jmenovité frekvence

#### 3.3.2.1. Závislost chyby převodu a úhlu na primárním proudu

V tabulce 3.1, 3.2 a 3.3 jsou stanoveny maximální chyby převodu a úhlu v rozmezí 50-120% jmenovitého primárního proudu (respektive 1-120% pro přístrojové transformátory proudu pro zvláštní použití, resp. 50-120% pro přístrojové transformátory proudu jistící). Na obrázku 3.14 je zobrazena závislost  $\varepsilon_I = f(I_p)$  a  $\delta_I = f(I_p)$  za respektive před tímto intervalom.



**Obrázek 3.14** - Závislost chyby převodu a úhlu přístrojového transformátoru proudu na primárním proudu při konstantním břemeni [12]

Nelineární průběh je způsoben nelineární závislostí  $I = f(B_{max})$ .

### 3.3.2.2. Závislost chyby převodu a úhlu na vnějším břemenu

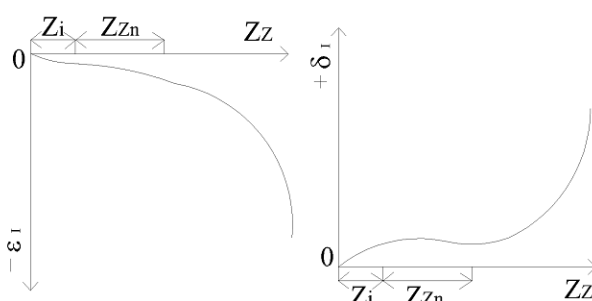
Vnější břemeno je tvořeno impedancí měřících a jistících přístrojů připojených na sekundární svorky přístrojového transformátoru proudu včetně paralelně připojené kapacity kabeláže. Břemeno je obvykle vyjádřeno jako zdánlivý výkon ve VA spotřebovaný při stanoveném účiníku a při jmenovitém sekundárním proudu.

Jmenovité břemeno je hodnota zátěže, na níž jsou založeny požadavky na předepsanou přesnost.

Jmenovitá zátěž je hodnota zátěže (ve VA při daném účiníku – 0,8 induktivní), kterou přístrojový transformátor proudu přenáší do sekundárního obvodu při jmenovitém sekundárním proudu a připojeném jmenovitém břemenu.

Jmenovitá zátěž může podle normy [10] nabývat hodnot v rozmezí 25-100% bez výraznějšího vlivu na chybu převodu a úhlu.

Na *Obrázku 3.15* je zobrazena závislost chyby převodu a úhlu na břemenu při jmenovitém primárním proudu.



*Obrázek 3.15* - Závislost chyby převodu a úhlu přístrojového transformátoru proudu na vnějším břemenu (při  $\beta_Z = \beta_i = \beta_C$ ) [12]

### 3.3.2.3. Závislost chyby převodu a úhlu na účiníku vnějšího břemene

Chyba převodu a úhlu přístrojového transformátoru proudu je ovlivněna účiníkem celkového vnějšího břemene  $\cos \beta_Z$  a tedy i celkovým účiníkem břemene  $\cos \beta_C$ , který je součtem účiníku vnějšího a vnitřního účiníku impedance břemene.

Při rostoucím  $\beta_Z$  a tedy i rostoucím  $\beta_C$  se zvětšuje  $-\epsilon_I$  a klesá  $+\delta_I$ . Při klesajícím  $\beta_Z$  a tedy i klesajícím  $\beta_C$  se snižuje  $-\epsilon_I$  a roste  $+\delta_I$ .

### 3.3.2.4. Závislost chyby převodu a úhlu na kolísání jmenovité frekvence

Norma [10] je platná pro přístrojové transformátory proudu pracujících na jmenovité frekvenci, která musí být v rozmezí 15Hz až 100Hz.

Například přístrojový transformátor proudu se jmenovitou frekvencí 50Hz má garantovanou maximální mez chyby převodu a úhlu při frekvenci  $\pm 2\text{Hz}$ , což je povolené kolísání síťové frekvence.

Magnetizační větev je frekvenčně závislá. Hodnota  $R_E$  s rostoucí frekvencí roste a hodnota  $L_E$  s rostoucí frekvencí klesá. Přičemž celková impedance magnetizační větve je rovna:

$$|Z_E| = \frac{1}{\sqrt{\frac{1}{R_E^2} + \frac{1}{(j\omega L_E)^2}}} \quad [ \Omega ] \quad (3.12)$$

kde:  $Z_E$  magnetizační reaktance [ $\Omega$ ]

$R_E$  odpor reprezentující ztráty hysterezní a vířivé ve feromagnetickém obvodu [ $\Omega$ ]

$L_E$  magnetizační indukčnost feromagnetického obvodu [H]

Břemeno s konstantní indukčností bude měnit svoji reaktanci úměrně s frekvencí, čímž se bude měnit i účiník vnějšího břemene a tím i celkový účiník břemene.

Chyba převodu i úhlu se bude se zvyšující frekvencí zvyšovat.

### 3.3.3. Přesnost v provozní a nadproudové oblasti

Přístrojový transformátor proudu má dvě pracovní oblasti, a to oblast provozní, v níž pracuje za normálního provozu v síti, a oblast nadproudovou, kde pracuje při přetížení a poruchových stavech (zkratech) v síti. Hranici mezi oběma oblastmi tvoří jmenovitý trvalý tepelný proud, tj. největší proud, který může trvale procházet jeho primárním vinutím, aniž se překročí dovolená trvalá teplota kterékoli části přístrojového transformátoru proudu, když k sekundárnímu vinutí je připojeno jmenovité břemeno. Přesnost přístrojového transformátoru proudu je v provozní oblasti charakterizována třídou přesnosti ( $T_p$ ), v nadproudové oblasti pak nadproudovou charakteristikou a nadproudovým číslem (FS).

#### 3.3.3.1. Přesnost v provozní oblasti

Třída přesnosti je vyznačena číslem na štítku. Třída přesnosti je označení přiřazené přístrojovému transformátoru proudu, jehož chyba převodu a úhlu nepřekročí dovolené hodnoty v *tabulkách 3.1, 3.2, 3.3 a 3.4*.

Třída přesnosti je vyznačena nejvyšší přípustnou celkovou chybou převodu a úhlu v procentech při přípustném kolísání jmenovité frekvence, jmenovitého primárního proudu a při

dodržení hodnot jmenovité zátěže v rozmezí 25% - 100% zátěže jmenovité při induktivním účiníku 0,8. U jistících transformátorů proudu ještě následuje označení písmeny PR označující feromagnetický obvod pro jištění s nízkou remanencí. Třída přesnosti je určena zvlášť pro dovolené chyby převodu a úhlu. Třídy přesnosti viz **tabulka 3.1, 3.2, 3.3 a 3.4**:

Třída presnosti	Chyba převodu (poměr) v procentech jmenovitého proudů uvedeného v následujícím řádku $\pm \epsilon_1$ [%]				Chyba úhlu v procentech jmenovitého proudu uvedeného v následujícím řádku $\pm \delta_1$ [° nebo cr*]							
					[°]				[cr]			
	5	20	100	120	5	20	100	120	5	20	100	120
0,1	0,4	0,2	0,1	0,1	15	8	5	5	0,45	0,24	0,15	0,1
0,2	0,75	0,35	0,2	0,2	30	15	10	10	0,9	0,45	0,3	0,3
0,5	1,5	0,75	0,5	0,5	90	45	30	30	2,7	1,35	0,9	0,9
1,0	3,0	1,5	1,0	1,0	180	90	60	60	5,4	2,7	1,8	1,8

**Tabulka 3.1** - Dovolené chyby převodu a úhlu měřících transformátorů proudu [10]

\* cr = centiradián; 1cr = 34,40°

Třída presnosti	Chyba převodu (poměr) v procentech jmenovitého proudu uvedeného v následujícím řádku $\pm \epsilon_1$ [%]					Chyba úhlu v procentech jmenovitého proudu uvedeného v následujícím řádku $\pm \delta_1$ [° nebo cr]									
						[°]				[cr]					
	1	5	20	100	120	1	5	20	100	120	1	5	20	100	120
0,2S	0,75	0,35	0,2	0,2	0,2	30	15	10	10	10	0,9	0,45	0,3	0,3	0,3
0,5S	1,5	0,75	0,5	0,5	0,5	90	45	30	30	30	2,7	1,35	0,9	0,9	0,9

**Tabulka 3.2** - Dovolené chyby převodu a úhlu pro měřící transformátory proudu pro zvláštní použití [10]

Třída presnosti	Chyba převodu (poměr) v procentech jmenovitého proudu uvedeného v následujícím řádku $\pm \epsilon_1$ [%]											
	50				120							
3	3											
5	5											

POZNÁMKA: Pro třídu 3 a 5 nejsou stanoveny chyby úhlu

**Tabulka 3.3** - Dovolené chyby převodu pro měřící transformátor proudu (třídy 3 a 5) [10]

Třída presnosti	Chyba převodu při jm. primárním proudu $\pm \epsilon_1$ [%]	Chyba úhlu při jmenovitém primárním proudu $\pm \delta_1$ [° nebo cr]		Celková chyba při jmenovitém primárním nadproudu $\epsilon_c$ [%]
		[°]	[cr]	
5 PR	± 1	± 60	± 1,8	5
10 PR	± 3	-	-	10

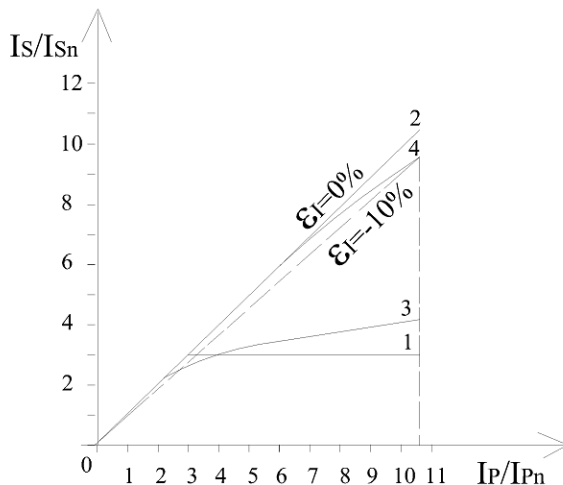
**Tabulka 3.4** - Dovolené chyby převodu a úhlu pro jistící transformátory proudu třídy PR [10]

### 3.3.3.2. Přesnost v nadproudové oblasti

Nadproudová charakteristika je závislost sekundárního proudu na primárním proudu v nadproudové oblasti viz *obrázek 3.16*. Ideální nadproudová charakteristika přístrojového měřicího transformátoru proudu by probíhala po paprsku  $\varepsilon_I = 0$  až do malého násobku (tří- až pětinásobku) jmenovitého primárního proudu a pak po přímce  $I_S = \text{konst.}$  (viz průběh 1 v *obrázku 3.16*, skutečný průběh viz křivka 3 v *obrázku 3.16*), aby připojené měřicí přístroje byly chráněny před škodlivými účinky nadproudů v síti. Naopak u přístrojového jistícího transformátoru proudu by nadproudová charakteristika měla probíhat po paprsku  $\varepsilon_I = 0$  až do nejvyšších hodnot primárního proudu, aby připojené jistící přístroje působily spolehlivě i při zkratech v rozvodně 110kV (ideální průběh viz křivka 2, reálný viz křivka 4 v *obrázku 3.16*).

Chování přístrojových transformátorů proudu v nadproudové oblasti charakterizuje nadproudové číslo FS. FS je poměr jmenovitého primárního nadproudu ke jmenovitému primárnímu proudu.

Nadproudové číslo si volí zákazník podle toho, zda bude přístrojový transformátor proudu měřicí nebo jistící. Nadproudové číslo je největší při  $\cos\beta_C = 1$ , tj.  $\beta_C = 0$  a klesá s rostoucím úhlem  $\beta_C$  (klesajícím sekundárním účiníkem).



*Obrázek 3.16* - Ideální (1,2) a skutečné (3,4) nadproudové charakteristiky přístrojového transformátoru proudu [12]

Pokud primární proud bude růst nade všechny meze (zkrat) dojde k přesycení feromagnetického obvodu a tím také k nárůstu chyby p5evodu a úhlu. Z tohoto důvodu je feromagnetický obvod zejména přístrojového jistícího transformátoru proudu vyroben z vysoce kvalitních legovaných a orientovaných plechů s příměsí niklu a křemíku. Tento materiál feromagnetického obvodu vykazuje značnou odolnost proti saturaci.

Saturace feromagnetického obvodu má vliv na frekvenční odezvu přístrojového transformátoru proudu. Saturace může vést k deformacím výstupního signálu přístrojového transformátoru proudu. Deformace signálu se vyskytuje vždy, když intenzita hlavního toku dosahuje oblasti saturace. Saturace feromagnetického obvodu může být iniciována zkratovým proudem, v extrémním případě i vyššími harmonickými (v případě feromagnetického obvodu sekundárního vinutí pro měření).

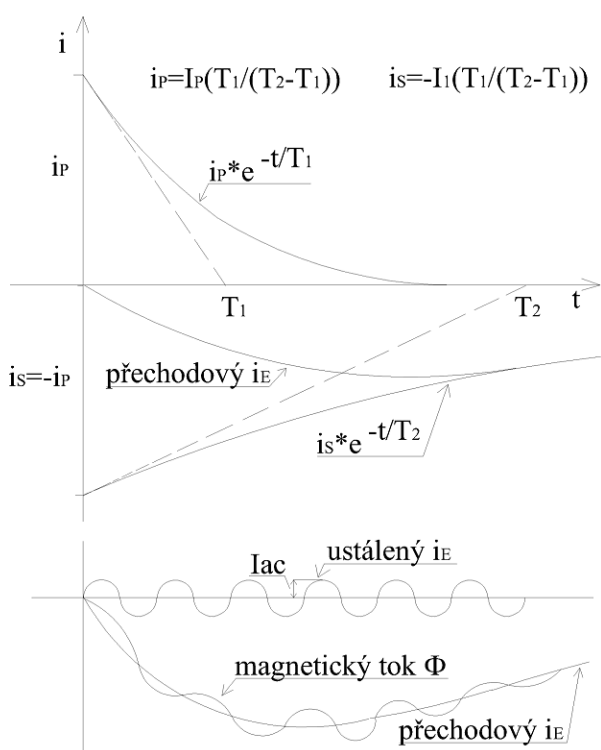
Zkratový proud  $I_p$  vstupující do přístrojového transformátoru proudu má malý magnetizační proud  $I_E$  a stejnosměrnou složku primárního proudu.

Amplitudy proudu primárního a sekundárního jsou v okamžiku  $t=0s$  odvozeny z primárního proudu  $I_p$  podle rozdělení časových konstant  $T_1$  a  $T_2$ .

Výsledný magnetizační proud  $I_E$  je proměnný v čase a je dán rozdílem:

$$i_E = i_P - i_S \quad (3.13)$$

Na *obrázku 3.17* je zobrazen průběh primárního proudu, sekundárního proudu a magnetizačního proudu.



**Obrázek 3.17 –** Průběhy proudů a toků ve feromagnetickém obvodu při zkratu

Celkový magnetizační proud  $i_E$  budí magnetický tok  $\Phi$  a má dvě složky:

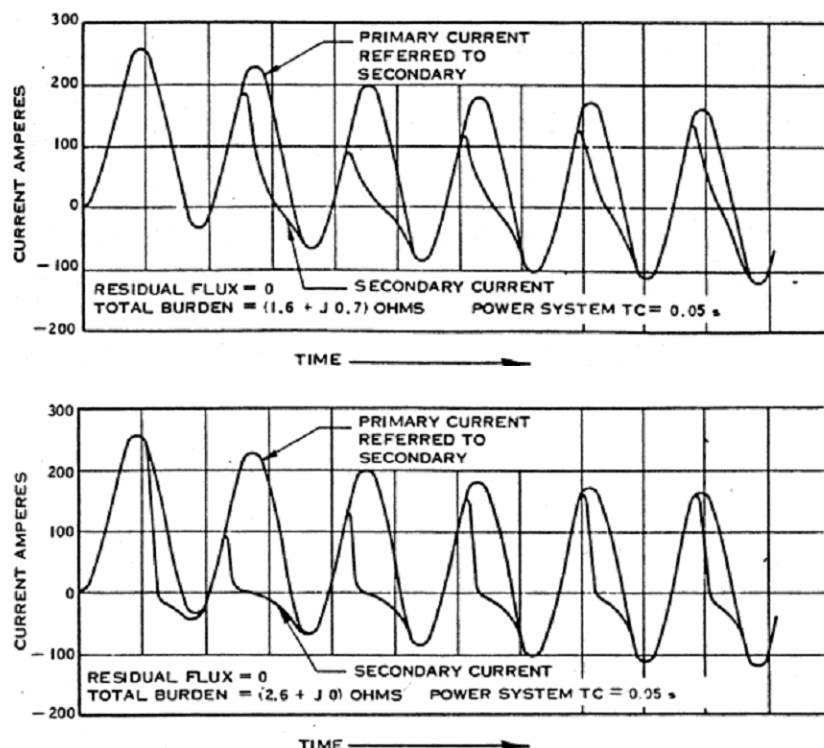
- Ustálení proud  $i_E$  (část střídavé složky poruchového proudu) indukuje tok  $\Phi_{ac}$ .
- Přechodový proud  $i_E$  (stejnosměrná složka poruchového proudu způsobující chybu převodu) indukuje tok  $\Phi_{tc}$ .

Změna přechodového toku  $\Phi_{tc}$  je funkcí časových konstant primárního a sekundárního obvodu přístrojového transformátoru proudu. Konstanta primárního obvodu přístrojového transformátoru proudu je definována napájecím obvodem, ke kterému je přístrojový transformátor proudu připojen. Časová konstanta sekundárního obvodu přístrojového transformátoru proudu je definována:

- rozptylovou indukčností sekundárního vinutí přístrojového transformátoru proudu,
- odporem sekundárního vinutí přístrojového transformátoru proudu,
- impedancí břemene.

Rozptylová indukčnost sekundárního vinutí přístrojového transformátoru proudu může být obvykle zanedbána a odpor sekundárního vinutí přístrojového transformátoru proudu je obvykle spojen s impedancí zátěže do celkové impedance zátěže.

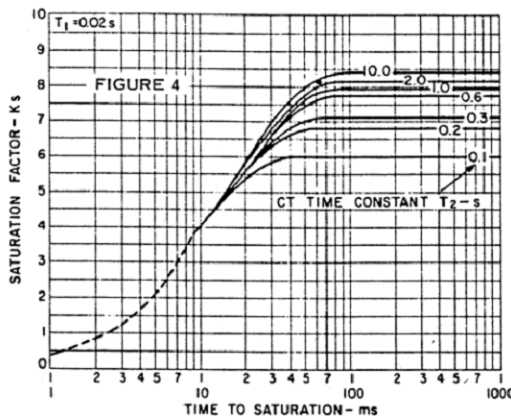
Závislost úrovně saturace na celkovém břemenu je ukázána na *obrázku 3.18*.



**Obrázek 3.18** – Nahoře: průběh primárního a sekundárního proudu (nízká hodnota celkového břemene). Dole: průběh primárního a sekundárního proudu (vysší hodnota celkového břemene) [13]

*Na obrázku 3.18* je vidět, že deformace sekundárního proudu začíná se zpožděním po začátku zkratu. **Obrázek 3.18** také ukazuje, že se zvyšující se celkovou impedancí zátěže je sekundární proud více deformovaný. Lze předpokládat, že u sekundárního vinutí pro měření, kde je impedance elektroměru  $Z_{EL}$  běžně kolem  $10\text{k}\Omega$ , bude deformace sekundárního proudu značně

zhoršená oproti *obrázku 3.18 (obrázek 3.18)* uvažuje malou odporovou zátěž jistících obvodů v jednotkách  $\Omega$ ). Saturace v čase může být určena analyticky po zahrnutí parametrů napájecího systému. Na *obrázku 3.19* jsou zobrazeny obecné křivky, které mohou být použity pro přímou interpretaci saturace v čase.



*Obrázek 3.19 – Křivky saturace [13]*

Soubor křivek odpovídá časové konstantě primárního obvodu  $T_1=0,02\text{s}$  a časové konstantě sekundárního obvodu  $T_2$  v rozmezí hodnot od  $0,1\text{s}$  do  $10\text{s}$ . Průběh saturace je definován faktorem saturace  $K_s$  takto [13]:

$$K_s = \frac{V_x N_s}{I_p R_C} = \frac{\omega T_1 T_2}{T_1 - T_2} \left( e^{-\frac{t}{T_2}} - e^{-\frac{t}{T_1}} \right) + 1 \quad (3.14)$$

kde:  $V_x$  efektivní napětí saturace [V]

$N_s$  počet závitů sekundárního vinutí [závit]

$I_p$  amplituda primárního proudu [A]

$R_C$  celkový odpor zátěže (vnitřní + vnější)\* [ $\Omega$ ]

$\omega$  úhlová frekvence, rovna  $2\pi f$  [rad]

\* Poznámka – platí pro sekundární vinutí pro jištění. U sekundárního vinutí pro měření je nutné  $R_C$  nahradit za  $Z_C$ , která bude induktivního nebo kapacitního charakteru podle typu elektroměru.

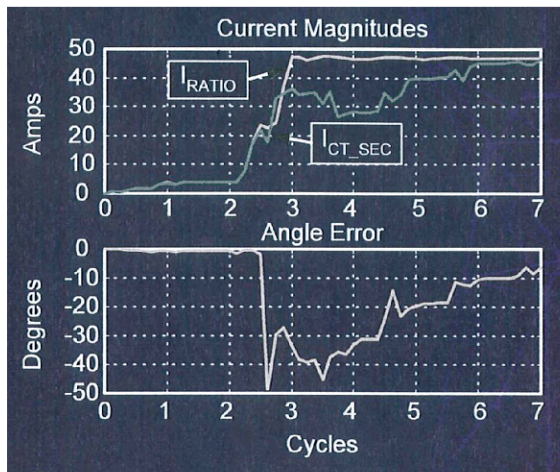
Ve *vzorci 3.14* je  $T_1$  je závislé zejména na  $I_p$  a  $T_2$  je rovno:

$$T_2 = \frac{Z_E}{\omega Z_C} \text{ [s]} \quad (3.15)$$

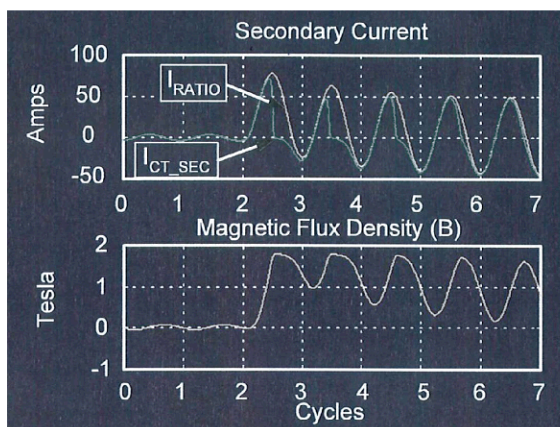
kde:  $Z_E$  impedance magnetizační větve [ $\Omega$ ]

$Z_C$  celková impedance zátěže [ $\Omega$ ]

Na **obrázku 3.20** je zobrazena chyba převodu a úhlu při saturaci feromagnetického obvodu přístrojového transformátoru proudu. Na **obrázku 3.21** je zobrazena časová odezva přístrojového transformátoru proudu při saturaci feromagnetického obvodu a průběh sycení feromagnetického obvodu.



**Obrázek 3.20 –** Chyba převodu a úhlu při saturaci feromagnetického obvodu [9]



**Obrázek 3.21 -** Časová odezva přístrojového transformátoru proudu při saturaci feromagnetického obvodu a průběh sycení feromagn. obvodu [9]

Výrobci přístrojových transformátorů proudu se snaží, aby nedošlo k přesycení feromagnetického obvodu. To je možné pokud pro feromagnetický obvod zajistí:

- nízké hodnoty remanence,
- nízké hodnoty koercivity,
- vysokou permeabilitu.

Dosažení těchto parametrů je možné splnit feromagnetickým obvodem s úzkou a vysokou hysterezní smyčkou (opak hysterezní smyčky permanentního magnetu).

Pro přístrojové měřící transformátory proudu není normou [10] stanovena maximální povolená chyba převodu a úhlu při zvýšení primárního proudu nad 120% proudu jmenovitého.

Představu o velikosti chyby převodu při několikanásobném nárůstu primárního proudu je možné shlédnout na **obrázku 3.16**. Je zřejmé, že přístrojové jistící transformátory proudu dosahují výrazně nižších chyb převodu a úhlu v nadproudové oblasti, než přístrojové měřící transformátory proudu, což je v souladu s jejich určením.

Chyba převodu a úhlu přístrojových měřících transformátorů proudu je v okolí jmenovitého proudu až 5-ti násobně nižší než u jistících.

U sekundárního vinutí přístrojového transformátoru proudu určeného pro ochrany je běžné udávat nadproudové číslo. Příklad užití nadproudového čísla při specifikaci přístrojového transformátoru proudu s izolačním napětím 123kV v rozvodně 110kV TNS 25kV, 50Hz:

#### Přístrojový transformátor proudu

Typ	JOF 123
Izolační napětí	123kV
Převod / třída přesnosti	100//5/5A
	vinutí 1: 30VA, třída přesnosti 0,2S, obch. měření
	vinutí 2: 30VA, třída <b>5P20 (5P-třída přesnosti, při 20xIn nepřesáhne celková chyba převodu 5%)</b>

### 3.4. Princip přístrojového induktivního transformátoru napětí

V této kapitole jsou podrobně zkoumány faktory ovlivňující chybu převodu a úhlu přístrojového induktivního transformátoru napětí při sinusovém průběhu primárního napětí.

#### ➤ Chyba napětí (převodu) – $\varepsilon_U$

Chyba je způsobena rozptylovou indukčností a ztrátami ve vinutí a způsobí, že skutečný převod není roven jmenovitému převodu.

#### ➤ Chyba úhlu – $\delta_U$

Fázový rozdíl mezi fázory primárního a sekundárního napětí; orientace fázorů primárního a sekundárního napětí je volena tak, že u ideálního transformátoru napětí je chyba úhlu nulová. Chyba úhlu se považuje za kladnou, jestliže fáza sekundárního napětí předchází fázu primárního napětí. Obvykle bývá vyjádřena v úhlových minutách nebo centiradiánech.

#### 3.4.1. Charakteristika funkce

Přístrojové induktivní transformátory napětí s izolačním napětím 123kV v rozvodně 110kV TNS 25kV, 50Hz zajišťují vstupní analogové měření pro fakturační statické elektroměry a jištění.

Poměr počtu závitů primárního vinutí  $N_P$  a sekundárního vinutí  $N_S$  se rovná (při zanedbání chyby převodu) poměru primárního napětí  $U_P$  a sekundárního napětí  $U_S$ .

Jmenovitý převod je definován jako poměr jmenovitého primárního napětí k jmenovitému sekundárnímu napětí [14]:

$$K_n = \frac{U_{Pn}}{U_{Sn}} \quad [-] \quad (3.16)$$

Chyba převodu je definována poměrem [14]:

$$\varepsilon_U = \frac{K_n \cdot U_S - U_P}{U_P} \cdot 100 \quad [\%] \quad (3.17)$$

kde:  $K_n$  jmenovitý převod přístrojového induktivního transformátoru napětí [-]

$U_P$  skutečné primární napětí [V]

$U_S$  skutečné sekundární napětí odpovídající  $U_P$  za podmínek měření [V]

Přístrojový induktivní transformátor napětí lze charakterizovat chodem transformátoru naprázdno. Průchozí impedance musí být co nejnižší, aby úbytky napětí na  $R_P$ ,  $L_P$ ,  $R_S$ ,  $L_S$  které ovlivňují chybu převodu a úhlu byly co nejmenší.

Při nulovém vnějším břemeni  $Z_Z = 0$  jsou sekundární svorky  $m, n$  zkratovány a nastává nebezpečný stav, kdy zkratový proud je omezen pouze odpory vinutí a rozptylovou reaktancí přístrojového transformátoru napětí. V tomto stavu dochází k proražení izolace mezi primárním a sekundárním vinutím vlivem průchodu zkratového proudu. S rostoucím břemenem klesá primární proud  $I_P$  pro, který platí:

$$I_P = \frac{U_P}{Z_Z} \quad [A] \quad (3.18)$$

Pro spotřebovaný výkon vnějším břemenem platí:

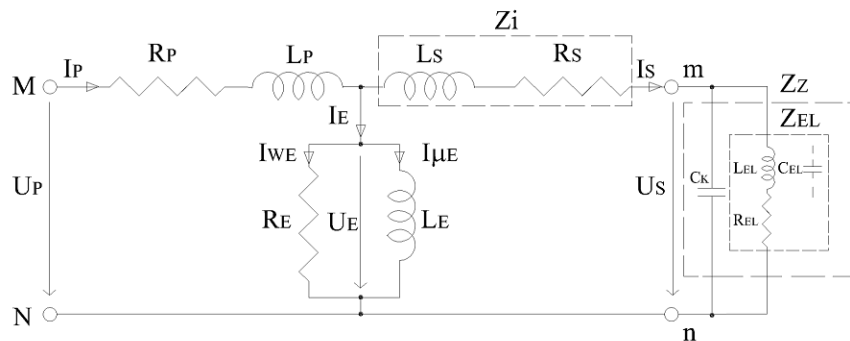
$$P_Z = U_P \cdot I_P = \frac{U_S^2}{Z_Z} \quad [W] \quad (3.19)$$

Vnější břemeno přístrojového induktivního transformátoru napětí tvoří měřící, jistící přístroje a kabelové přívody k nim. V případě přístrojového induktivního měřícího transformátoru napětí tvoří břemeno vstupní impedance elektroměru  $Z_{EL}$  a k němu paralelně řazená kapacita přívodního kabelového vedení  $C_K$ . Sekundární účiník vnějšího břemene je označen  $\cos \beta_Z$ .

Celková vstupní impedance elektroměru obsahuje sériově řazené  $R_{EL}$  a  $L_{EL}$  (nebo sériově řazené  $R_{EL}$  a  $C_{EL}$ ) podle typu elektroměru [11] viz **obrázek 3.11** a viz **vzorec 3.6**:

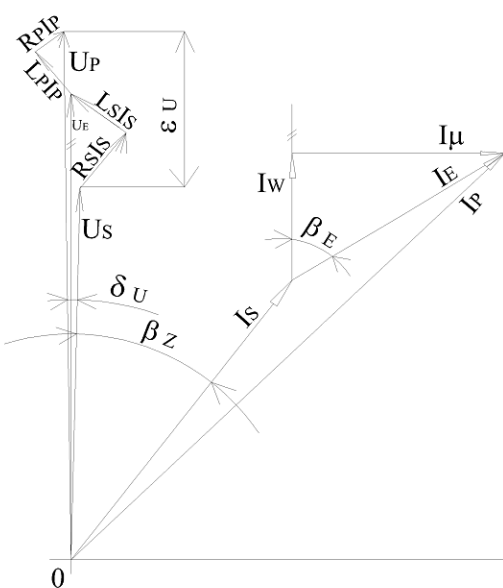
Pak pro celkovou impedanci vnějšího břemene, která obsahuje paralelní zapojení  $|Z_{EL}|$  a kapacity přívodních kabeláží  $C_K$  mezi statickým elektroměrem a sekundárním měřícím vinutím (viz *obrázek 3.11*) platí - viz *vzorec 3.7*.

Na *obrázku 3.22* je náhradní schéma přístrojového induktivního transformátoru napětí s uzavřeným feromagnetickým obvodem platné v okolí jmenovité frekvence 50Hz a za předpokladu  $N_P = N_S$ .



*Obrázek 3.22* - Náhradní schéma přístrojového induktivního transformátoru napětí platné v okolí jmenovité frekvence 50Hz a za předpokladu  $N_P = N_S$

Magnetizační proud  $\bar{I}_E$  je určen elektromotorickým napětím  $\bar{U}_E$ , které je o úbytek napětí  $\bar{I}_P \cdot \sqrt{R_P^2 + (\omega L_P)^2}$  menší než primární svorkové napětí  $\bar{U}_P$ , a je zpožděn za elektromotorickým napětím  $\bar{U}_E$  o úhel  $\beta_E$ . Vektorový diagram k náhradnímu schématu je na *obrázku 3.23*.



*Obrázek 3.23* - Vektorový diagram veličin náhradního schématu přístrojového induktivního transformátoru napětí za předpokladu  $N_P = N_S$

Výrobci se snaží o dosažení co nejnižší podélné impedance náhradního schématu. Hodnoty  $R_E$  a  $L_E$  mají vliv na přesnost převodu a úhlu jak v okolí jmenovité frekvence 50Hz tak při frekvencích vyšších.

### **3.4.2. Závislost chyby převodu a úhlu na vnějším břemenu, primárním napětí, sekundárním účiníku a kolísání jmenovité frekvence**

#### **3.4.2.1. Závislost chyby převodu a úhlu na vnějším břemenu**

Vnější břemeno je impedance měřicích a jistících přístrojů připojených na sekundární svorky přístrojového induktivního transformátoru napětí včetně kapacity kabeláže.

Břemeno je obvykle vyjádřeno jako zdánlivý výkon ve VA spotřebovaný při stanoveném účiníku a při jmenovitém sekundárním napětí.

Jmenovité břemeno je hodnota zátěže, na které jsou založeny požadavky na předepsanou přesnost.

Jmenovitá zátěž je hodnota zátěže (ve VA při daném účiníku), kterou přístrojový induktivní transformátor napětí přenáší do sekundárního obvodu při jmenovitém sekundárním napětí a připojeném jmenovitém břemenu.

Pokud bude břemeno mimo toleranci 25-100% zátěže jmenovité (požadavek normy [14]) bude narůstat chyba převodu i úhlu.

#### **3.4.2.2. Závislost chyby převodu a úhlu na primárním napětí**

Norma [14] požaduje, aby maximální hodnota chyby převodu a úhlu v *tabulce 3.5 a 3.6* byla dodržena při 80-120% napětí jmenovitého. Mimo toto rozmezí chyba převodu a úhlu roste.

#### **3.4.2.3. Závislost chyby převodu a úhlu na sekundárním účiníku**

Chyba převodu a úhlu přístrojového transformátoru napětí je ovlivněna účinkem celkového vnějšího břemene  $\cos \beta_Z$  a tedy i celkovým účinkem břemene  $\cos \beta_C$ , který je součtem účinku vnějšího a vnitřního břemene.

Při rostoucím  $\beta_Z$  a tedy i rostoucím  $\beta_C$  se zvyšuje  $-\varepsilon_U$  a klesá  $+\delta_U$ . Při klesajícím  $\beta_Z$  a tedy i klesajícím  $\beta_C$  se snižuje  $-\varepsilon_U$  a roste  $+\delta_U$ .

#### **3.4.2.4. Závislost chyby převodu a úhlu na kolísání jmenovité frekvence**

Norma [14] je platná pro přístrojové induktivní transformátory napětí pracující na jmenovité frekvenci, která musí být v rozmezí 15Hz až 100Hz.

Například přístrojový induktivní transformátor napětí, s jmenovitou frekvencí 50Hz má garantované maximální meze chyby převodu a úhlu při frekvenci  $\pm 2\text{Hz}$ , což je povolené kolísání sítové frekvence.

Magnetizační větev je frekvenčně závislá. Hodnota  $R_E$  s rostoucí frekvencí roste a hodnota  $L_E$  s rostoucí frekvencí klesá.

Břemeno s konstantní indukčností bude měnit svoji reaktanci úměrně s frekvencí, čímž se bude měnit i účiník vnějšího břemene a tím i celkový účiník břemene.

Chyba převodu i úhlu bude se s rostoucí frekvencí zvyšovat.

### 3.4.3. Přesnost

#### 3.4.3.1. Přesnost přístrojových induktivních měřících transformátorů napětí

U přístrojových induktivních měřících transformátorů napětí je třída přesnosti určena nejvyšší dovolenou chybou převodu a úhlu, vyjádřenou v procentech při jmenovitém napětí a jmenovité zátěži, předepsané pro příslušnou třídu přesnosti.

Chyba převodu a úhlu při jmenovité frekvenci nesmí překročit hodnoty v *tabulce 3.5* při jakémkoliv napětí mezi 80% a 120% jmenovitého napětí a se zátěží mezi 25% a 100% jmenovité zátěže při induktivním účiníku 0,8.

Třída přesnosti	Chyba převodu $\pm \epsilon_U [\%]$	Chyba úhlu $\pm \delta_U [^\circ \text{ nebo cr}]$	
		[°]	[cr]
0,1	0,1	5	0,15
0,2	0,2	10	0,3
0,5	0,5	20	0,6
1,0	1,0	40	1,2
3,0	3,0	nestanovena	nestanovena

*Tabulka 3.5* - Dovolená chyba převodu a úhlu přístrojových induktivních měřících transformátorů napětí [14]

#### 3.4.3.2. Přesnost přístrojových induktivních jistících transformátorů napětí

Třída přesnosti přístrojových induktivních jistících transformátorů napětí je určena nejvyšší dovolenou chybou převodu a úhlu, vyjádřenou v procentech, která je předepsána pro danou třídu přesnosti od 5% jmenovitého napětí do napětí odpovídajícího jmenovitému činiteli zvýšení napětí viz tabulka 2 v [14]. Údaj je doplněn písmenem P.

Chyba převodu a úhlu při jmenovité frekvenci nesmí překročit hodnoty uvedené v *tabulce 3.6* při 5% jmenovitého napětí a při jmenovitém napětí, násobeném činitelem zvýšení

napětí (1,2 ,1,5 nebo 1,9) se zátěžemi mezi 25% a 100% jmenovité zátěže při induktivním účiníku 0,8.

Třída přesnosti	Chyba převodu $\pm \varepsilon_U$ [%]	Chyba úhlu $\pm \delta_U$ [° nebo cr]	
		[°]	[cr]
3P	3,0	120	3,5
6P	6,0	240	7,0

**Tabulka 3.6 -** Dovolená chyba převodu a úhlu pro přístrojové induktivní jistící transformátory napětí [14]

### 3.5. Princip přístrojového kapacitního transformátoru napětí

V této kapitole jsou podrobně zkoumány faktory ovlivňující chybu převodu a úhlu přístrojových kapacitních transformátorů napětí při sinusovém průběhu primárního napětí.

- Chyba napětí (převodu) –  $\varepsilon_U$   
chyba, kterou způsobuje přístrojový kapacitní transformátor napětí při měření napětí a jejímž důsledkem je, že skutečný převod není roven jmenovitému převodu.
- chybou úhlu –  $\delta_U$   
fázový rozdíl mezi vektory primárního a sekundárního napětí.

#### 3.5.1. Charakteristika funkce

Přístrojové kapacitní transformátory napětí obsahují kapacitní dělič, který zajišťuje snížení primárního napětí na napětí 4-10kV (rozdílné podle výrobce) a teprve poté je toto napětí dále sníženo středněnapěťovým transformátorem na napětí výstupní vhodné pro měřící a jistící přístroje.

Přístrojové kapacitní transformátory napětí se používají zejména na napěťové hladině 110kV a výše, kvůli finanční výhodnosti oproti přístrojovým induktivním transformátorům napětí, která roste se zvyšující se napěťovou hladinou.

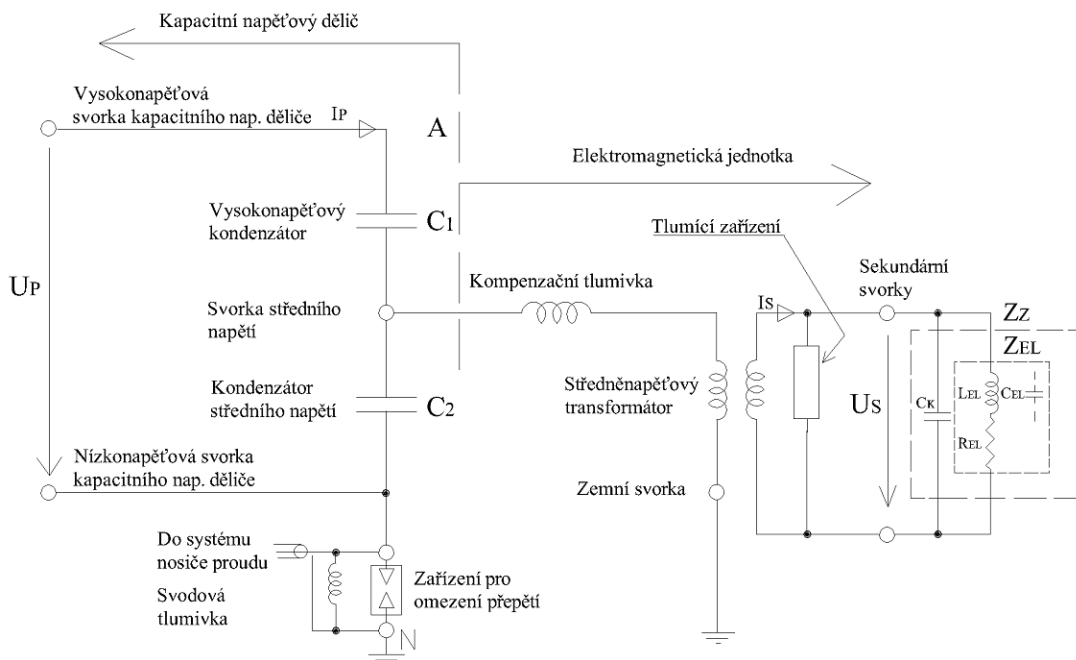
V rozvodnách 110kV TNS 25kV, 50Hz zatím nebyly instalovány. Jelikož jsou některé rozvodny 110kV, ale ve vlastnictví distributora elektrické energie, není jejich instalace v budoucnu vyloučena.

Fázový posun sekundárního napětí způsobený kapacitním děličem se vektorově sčítá s fázovým posunem opačného směru kompenzační tlumivky zapojené v sérii. Obvod je vyregulován tak, aby na jmenovité frekvenci sítě měl přístrojový kapacitní transformátor napětí

maximální přesnost. V případě spínacích nebo provozních přepětí však sériový LC obvod může začít kmitat. Proto jsou všechny přístrojové kapacitní transformátory napětí vybaveny obvodem pro potlačení ferorezonance (tlumící zařízení). Tento jev může přehřát elektromagnetickou jednotku nebo může vést k průrazu izolace.

Přístrojový kapacitní transformátor napětí je často doplněn svodičem přepětí, který se zapojuje buď paralelně k  $C_2$  kapacitního děliče, nebo mezi nízkonapěťovou svorku kapacitního děliče napětí a zem (viz *obrázek 3.24*). Cílem je ochránit primární vinutí středněnapěťového transformátoru včetně měřících a jistících přístrojů na sekundární straně a obsluhy.

Přístrojový kapacitní transformátor napětí se skládá z kapacitního děliče a elektromagnetické jednotky viz *obrázek 3.24*.



*Obrázek 3.24 – Náhradní schéma přístrojového kapacitního transformátoru napětí*

platné v okolí jmenovité frekvence 50Hz a za předpokladu  $N_p=N_s$  [15]

Primární část obsahuje dva kondenzátory  $C_1$  a  $C_2$  zapojené do série. Ve skutečnosti je každý z kondenzátorů složen z několika kondenzátorů menších hodnot zapojených v sérii. Středněnapěťový transformátor převádí napětí z hladiny 4-10kV (různé podle výrobce) na sekundární napětí vhodné pro napájení měřicích přístrojů a ochran. Indukce kompenzační tlumivky  $L_C$  je volena tak, aby zajistila nulový fázový posun mezi  $U_P$  a  $U_S$  na základní harmonické. Hodnota  $L_C$  kompenzační tlumivky je vypočítána pro základní frekvenci sítě ze vztahu:

$$L_C = \frac{1}{(C_1 + C_2)(2\pi f_R)^2} \text{ [H]} \quad (3.20)$$

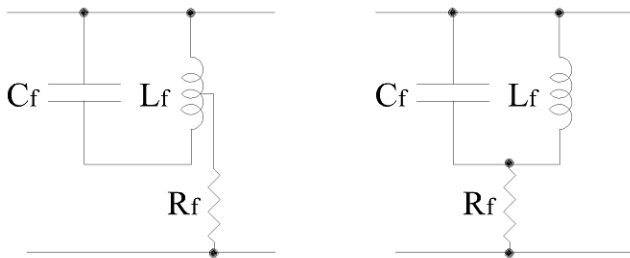
kde:  $f_R$  rezonanční kmitočet [Hz]

Ferorezonance je vyvolána přechodovými stavami v rozvodnách, kdy se u některých částí přístrojového kapacitního transformátoru napětí přesytí feromagnetické obvody (kompenzační tlumivky, středněnapěťový transformátor, případně indukční zátěže s nelineární charakteristikou). Podmínky usnadňující vznik ferorezonance, jsou malá vnější zátěž nebo zátěž induktivní, je-li její pracovní oblast blízko nasycené části magnetizační křivky.

Největší nebezpečí vzniku ferorezonance je při přerušení zkratu sekundárního obvodu nezatíženého přístrojového kapacitního transformátoru napětí. Podobný jev může vzniknout, je-li přístrojový kapacitní transformátor napětí vypnut a po krátké, případně i delší době, např. při opětovném zapínání, znova připojen na síť. Oscilace pak způsobují nežádoucí přenos do ochranných relé a měřicích přístrojů.

Pro zamezení vzniku ferorezonance se musí do obvodu přístrojového kapacitního transformátoru napětí vložit tlumící zařízení pro potlačení ferorezonance, které je nalazené na jmenovitou frekvenci 50Hz. Tlumící zařízení může být buď aktivní, nebo pasivní.

Příklad uspořádání aktivního tlumícího zařízení je na **obrázku 3.25 a)**. Simulační model aktivního tlumícího zařízení je ukázán na **obrázku 3.25 b)**. Tlumící odpor  $R_f$  je použit k zmírnění ferorezonančních oscilací.

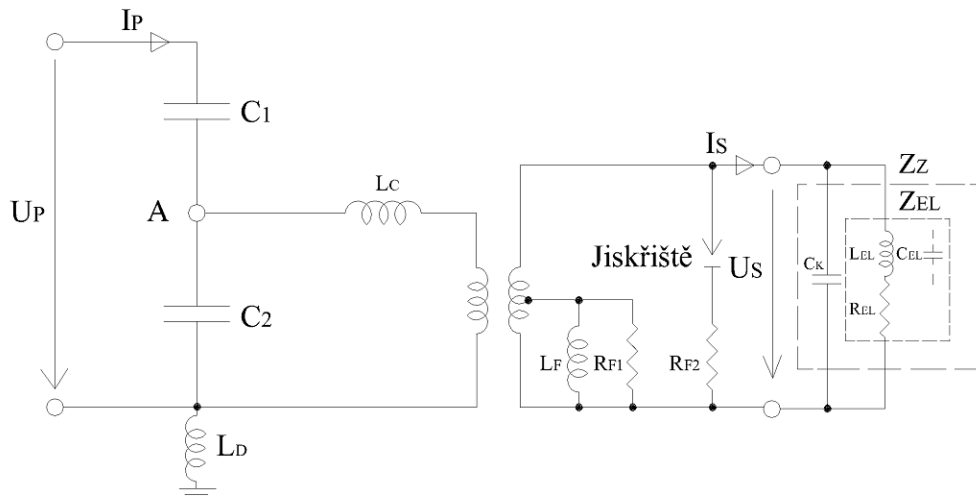


**Obrázek 3.25 - a)** zapojení aktivního tlumícího zařízení a **b)** simulační model aktivního tlumícího zařízení [16]

Induktivnost  $L_F$  a  $C_F$  aktivního tlumícího zařízení pro potlačení ferorezonance je naladěna tak, aby rezonovala na jmenovité frekvenci 50Hz. Tak je během normálního provozu impedance větve  $L_F/C_F$  velmi vysoká a tlumící zařízení způsobuje zanedbatelný úbytek napětí.

Obvod pro potlačení ferorezonance může být i pasivní, přičemž obvod s pasivním tlumícím zařízením (viz **obrázek 3.26**) sestává z induktivity  $L_F$  a tlumícího odporu  $R_{F1}$  připojeného na hlavní odbočku sekundárního vinutí středněnapěťového transformátoru a

jiskřítě, které je v sérii s druhým tlumícím odporem  $R_{F2}$ . Za normálních podmínek je sekundární napětí středněnapěťového transformátoru napětí nedostatečné k překlenutí mezery jiskřítě a tím odpor  $R_{F2}$  nemá vliv na chování přístrojového kapacitního transformátoru napětí. Pokud nastane ferorezonance je mezera jiskřítě překlenuta a je připojen odpor  $R_{F2}$ , který ztlumí amplitudu oscilací. Pasivní tlumící zařízení pro potlačení ferorezonance má lepší frekvenční a časovou odezvu než aktivní tlumící zařízení [17].



**Obrázek 3.26 – Náhradní schéma přístrojového kapacitního transformátoru napětí, s pasivním tlumícím zařízením, platné v okolí jmenovité frekvence 50Hz a za předpokladu  $N_p=N_s$  [17]**

Dělící poměr  $K_{CR}$  je poměr napětí aplikovaného na kapacitní dělič ke střednímu napětí naprázdno. Tento poměr odpovídá podílu součtu kapacity kondenzátoru vysokonapěťové části a kondenzátoru části středního napětí děleného kapacitou vysokonapěťového kondenzátoru [15]:

$$K_{CR} = \frac{(C_1 + C_2)}{C_1} \quad [-] \quad (3.21)$$

Jmenovitý převod transformátoru [15]:  $K_R = \frac{U_1}{U_2} \quad [-]$  (3.22)

Výsledná kapacita kapacitního děliče:  $C_R = \frac{C_1 \cdot C_2}{C_1 + C_2} \quad [F]$  (3.23)

Chyba převodu je definována [15]:  $\varepsilon_U = \frac{K_R U_S - U_P}{U_P} \cdot 100 \quad [\%]$

(3.24)

kde:  $K_R$  jmenovitý převod přístrojového kapacitního transformátoru napětí [-]

$U_P$  skutečné primární napětí [V]

$U_S$  skutečné sekundární napětí [V]

### 3.5.2. Závislost chyby převodu a úhlu na teplotním činiteli, vnějším břemenu, kolísání jmenovité frekvence a zadržování náboje

#### 3.5.2.1. Závislost chyby převodu a úhlu na teplotním činiteli

Teplotní činitel změny kapacity se změnou teploty je u kondenzátorů s papírovou izolací v oleji definován takto [12]:

$$\Delta C_t = C_0 \frac{\alpha}{100} \Delta t \text{ [F]} \quad (3.25)$$

kde:  $\alpha=0,04\%$  až  $0,07\%$  na  $1^\circ\text{C}$

Změna okolní teploty způsobuje vlastní chybu převodu a úhlu kapacitního děliče a projevuje se hlavně při rozdílných teplotách jednotlivých částí děliče. Z tohoto důvodu bývají kondenzátory kapacitního děliče pro třídu přesnosti 0,2 v jednom pláště a s umělou cirkulací oleje, aby rozdíl teploty mezi jednotlivými díly byl co nejmenší.

#### 3.5.2.2. Závislost chyby převodu a úhlu na vnějším břemenu

Chyba převodu a úhlu závisí na hodnotě a charakteru vnější zátěže, dělícím poměru kapacitního děliče a na činné složce průchozí impedance a nepřímo na příkonu kapacitního děliče.

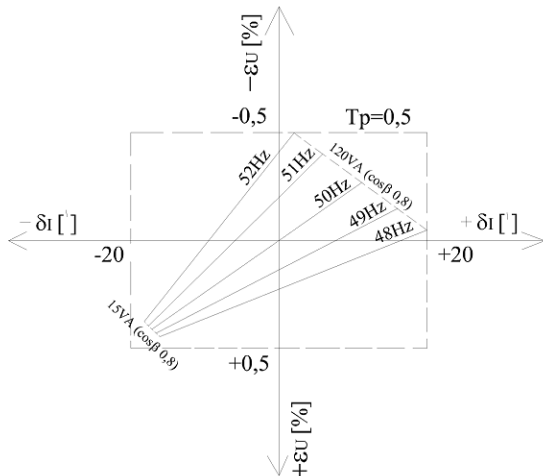
Čím je větší dělící poměr kapacitního děliče, tím jsou chyby převodu a úhlu větší, proto je snaha volit co nejvyšší výstupní napětí kapacitního děliče.

#### 3.5.2.3. Závislost chyby na kolísání jmenovité frekvence

Norma [15] je platná pro přístrojové kapacitní transformátory napětí pracující na jmenovité frekvenci, která musí být v rozmezí 15Hz až 100Hz.

Například přístrojový kapacitní transformátor napětí s jmenovitou frekvencí 50Hz má garantované maximální meze chyby převodu a úhlu při frekvenci  $\pm 2\text{Hz}$ , což je povolené kolísání síťové frekvence.

Chyba převodu a úhlu je u přístrojového kapacitního transformátoru napětí značně zhoršena již při kolísání síťové frekvence viz *obrázek 3.27*.



**Obrázek 3.27** - Komplexní diagram chyby převodu a úhlu přístrojového kapacitního transformátoru napětí při kolísání frekvence sítě [12]

### 3.5.2.4. Závislost chyby převodu a úhlu na zadržování náboje

Jestliže vedení není záměrně uzemněno nebo vybíjeno přes zařízení s nízkou impedancí, které je k tomuto vedení připojeno, mohou náboje zůstat na takovém vedení po dobu několika dní [15]. Hladina náboje závisí na fázi napětí v okamžiku vypnutí. Nejhorší případ nastává, když napětí je ve své vrcholové hodnotě  $\sqrt{2} \cdot U_P$ , primární kondenzátor děliče  $C_1$  zůstává nabít nábojem  $q_1 = C_1 \cdot \sqrt{2} \cdot U_P$  zatímco sekundární kondenzátor  $C_2$  je vybíjen přes paralelně připojenou elektromagnetickou jednotku. Při opětném zapnutí vedení je  $C_2$  znova nabíjeno napětím [15]:

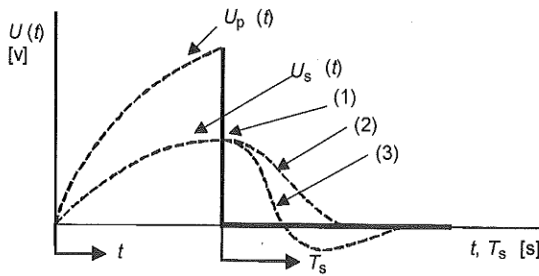
$$U_{C2}(t) = \frac{-q_1}{(C_1 + C_2)} = -\sqrt{2} \cdot \frac{U_P C_1}{(C_1 + C_2)} \sim -\sqrt{2} \cdot U_P (C_1 + C_2) [V] \quad (3.26)$$

Toto napětí exponenciálně klesá s časovou konstantou založenou na elektromagnetické jednotce a je superponováno na sinusový signál a má za následek velmi významnou chybu [15].

### 3.5.3. Odezva při přepětí

Odezva přístrojového kapacitního transformátoru napětí při přepětí je charakteristická poměrem sekundárního napětí  $U_S(t)$  k vrcholové hodnotě sekundárního napětí  $\sqrt{2} \cdot U_S$ , před aplikací zkratu primárního obvodu po stanovenou dobu  $T_S$  po zkratování primárního obvodu.

Průběh sekundárního napětí  $U_S = U_S(t)$  po zkratování primárního napětí  $U_P = U_P(t)$ , je na **obrázku 3.28**:



## Legenda

- 1 Zkrat  $U_p(t)$
- 2 Aperiodické tlumení  $U_s(t)$
- 3 Periodické tlumení  $U_s(t)$

*Obrázek 3.28* - Odezva přístrojového kapacitního transformátoru napětí na přepětí [15]

Po zkratu mezi svorkou A vysokého napětí a nízkonapěťovou svorkou N spojenou se zemí, se musí přepětí na sekundární straně přístrojového kapacitního transformátoru napětí utlumit ve stanovenou dobu  $T_s$  na stanovenou hodnotu vrcholu napětí před aplikací zkratu (viz *obrázek 3.28*).

Charakteristickou veličinou přechodové charakteristiky je poměr sekundárního napětí  $U_s(t)$  (ve stanoveném čase  $T_s$  po zkratování primárního obvodu) k vrcholové hodnotě sekundárního napětí  $\sqrt{2} \cdot U_S$  před zkratováním primárního obvodu. V *tabulce 3.7* jsou uvedeny normalizované hodnoty tříd přechodových charakteristik.

Doba $T_s$ [s]	Poměr $\frac{ U_s(t) }{\sqrt{2} \cdot U_S} \cdot 100\%$		
	Třídy		
3PT1	3PT2	3PT3	
6PT1	6PT2	6PT3	
$10 \times 10^{-3}$	-	$\leq 25$	$\leq 4$
$20 \times 10^{-3}$	$\leq 10$	$\leq 10$	$\leq 2$
$40 \times 10^{-3}$	<10	$\leq 2$	$\leq 2$
$60 \times 10^{-3}$	<10	$\leq 0,6$	$\leq 2$
$90 \times 10^{-3}$	<10	$\leq 0,2$	$\leq 2$

*Tabulka 3.7* - Normalizované hodnoty tříd přechodových charakteristik [15]**3.5.4. Přesnost****3.5.4.1. Přesnost přístrojových kapacitních měřicích transformátorů napětí**

Chyba převodu a úhlu nesmí překročit hodnoty uvedené v *tabulce 3.8* pro příslušnou třídu přesnosti při libovolné teplotě a kmitočtu v referenčních rozsazích a s břemeny od 0% do

100% jmenovité hodnoty pro jmenovité břemeno rozsahu I (viz *tabulka 3.9*) nebo s břemeny od 25% do 100% jmenovité hodnoty pro jmenovité břemeno rozsahu II (viz *tabulka 3.9*).

Třída přesnosti	Chyba převodu $\pm \varepsilon_U$ [%]	Chyba úhlu $\pm \delta_U$ ['] nebo cr]	
		[']	[cr]
0,2	0,2	10	0,3
0,5	0,5	20	0,6
1,0	2,0	40	1,2
3,0	3,0	nestanovena	nestanovena

**Tabulka 3.8** - Meze chyb převodu a úhlu pro přístrojové kapacitní měřící transf. napětí [15]

Rozsah břemene	Přednostní hodnoty jmenovité zátěže [VA]	Zkušební hodnoty jmenovité zátěže [%]
I	1,0 2,5 5	0 a 100
II	10 25 50 100	25 a 100

**Tabulka 3.9** - Rozsahy břemene pro zkoušky břemene [15]

### 3.5.4.2. Přesnost přístrojových kapacitních jistících transformátorů napětí

Chyba převodu a úhlu nesmí překročit hodnoty uvedené v *tabulce 3.10* pro příslušnou třídu přesnosti při 2% a 5% jmenovitého napětí a jmenovitém napětí násobeným jmenovitým činitelem zvýšení napětí (1,2 , 1,5 nebo 1,9) a při jmenovitém kmitočtu s břemeny od 0% do 100% jmenovité hodnoty pro břemena pro rozsah břemén I (viz *tabulka 3.9*) nebo s břemeny od 25% do 100% jmenovité hodnoty pro břemena rozsahu II (viz *tabulka 3.9*).

Třída presnosti	Procento jmenovité ho napětí [%]	Procentní chyba převodu při procentech jmenovitého napětí $\pm \varepsilon_U$ [%]				Chyba úhlu v procentech jmen. napětí $\pm \delta_U$ ['] nebo cr]							
		2	5	100	X	2	5	100	X	2	5	100	X
3P	6,0	3,0	3,0	3,0	240	120	120	120	7,0	3,5	3,5	3,5	
6P	12,0	6,0	6,0	6,0	480	240	240	240	14,0	7,0	7,0	7,0	

**Tabulka 3.10** - Meze chyb převodu a úhlu pro přístrojové kapacitní jistící transf. napětí [15]

## 4. Frekvenční závislost chyby převodu a úhlu přístrojových transformátorů v rozvodně 110kV TNS 25kV, 50Hz

### 4.1. Přístrojové transformátory obecně

V *kapitole 2* byla popsána povaha odběru TNS 25kV, 50Hz, který je nejen nesymetrický vzhledem k třífázové distribuční soustavě 110kV, ale také deformovaný vyššími proudovými harmonickými, které na impedanci distribuční soustavy 110kV způsobují nežádoucí tepelné ztráty. K snížení velikosti těchto proudových harmonických je v připojovacím bodě TNS 25kV, 50Hz instalováno FKZ, které odfiltrovává z trakčního odběru 3. a 5. harmonickou. Ostatní liché řady harmonických jsou v trakčním odběru přítomny v podstatně menší míře a přenáší se trakčním transformátorem do distribuční soustavy 110kV, kde způsobují již zanedbatelné tepelné ztráty. Úrovně těchto harmonických nepřesahují povolenou mez stanovenou distributorem elektrické energie v připojovacích podmínkách. Harmonickými deformované průběhy napětí a proudu obsahují jak složku základní harmonické, tak i složky vyšších harmonických.

V této kapitole bude proveden rozbor frekvenční závislosti chyby převodu a úhlu přístrojových transformátorů v rozvodně 110kV TNS 25kV, 50Hz. Přístrojové transformátory zajišťují v rozvodně 110kV TNS 25kV, 50Hz analogové měření napětí a proudu pro statické elektroměry (fakturační měření) a ochrany.

Zkoumání frekvenční závislosti chyby převodu a úhlu přístrojových transformátorů bude provedeno do 100-té harmonické (5kHz). Distributor elektrické energie stanovuje v připojovacích podmínkách maximální přípustné meze do 19-té harmonické, pak je již stanovena pouze maximální hodnota THD, která započítává složky harmonických do řádu 40 (viz *vzorec 2.2*). Jelikož od 40-té harmonické nejsou procentní podíly harmonických k základní harmonické sledovány distributorem elektrické energie, je sledované frekvenční pásmo zcela dostatečné.

Výzkum frekvenční závislosti chyby převodu a úhlu přístrojových transformátorů s izolačním napětím 27,5kV v rozvodně 25kV při nesinusových průbězích napětí a proudu nebude předmětem této práce, protože měření na této napěťové hladině je informativní a je využito zejména pro informativní zobrazování měřeného napětí a proudu obsluze a pro potřeby ochran rozvodny 25kV. Rozbor frekvenční závislosti chyby převodu a úhlu na této napěťové hladině je popsán v literatuře [18, 19, 11].

Všechna náhradní schémata přístrojových transformátorů odvozená v *kapitole 3* jsou platná v okolí jmenovité frekvence 50Hz a jedná se o náhradní schémata se soustředěnými parametry. Neuvažoval jsem tedy obecně platné náhradní schéma přístrojového transformátoru s rozprostřenými parametry. Náhradní schéma přístrojového transformátoru s rozprostřenými parametry uvažuje i vliv kapacit mezi vinutími a kostrou, mezi vinutími navzájem a vodivosti. Tyto prvky náhradního schématu s rozprostřenými parametry nemají v okolí jmenovité frekvence vliv na chybu převodu a úhlu přístrojových transformátorů a je možné je zanedbat [20].

Při zkoumání frekvenční závislosti chyby převodu a úhlu přístrojových transformátorů při měření na vyšších harmonických je však nutné přístrojový transformátor nahradit náhradním schématem s rozprostřenými parametry. Jelikož se jedná o velmi složitý obvod, kdy se vinutí primární a sekundární považuje za dlouhé vedení, u kterého je nutné zohlednit přídavný vliv kapacit a vodivostí, přistupuje se k zjednodušení. Do náhradního schématu se soustředěnými parametry se doplňují pouze kapacity mezi vinutími, mezi vinutími a kostrou. Toto zjednodušení bylo použito a následné simulace prokázaly, že i přes toto zjednodušení dává takto doplněné náhradní schéma se soustředěnými parametry velice dobrý model k výzkumu frekvenční závislosti chyby převodu a úhlu přístrojového transformátoru.

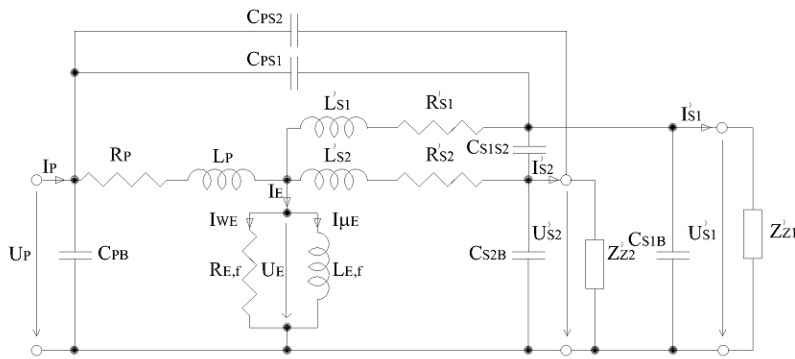
Zjednodušení v tomto rozsahu bylo použito v literatuře [18, 19, 21, 22, 23] pro výzkum frekvenční závislosti chyby převodu a úhlu přístrojových transformátorů napětí s izolačním napětím 7,2 – 27,5kV. Literatura [24,25] pak použila toto zjednodušení i pro výzkum frekvenční závislosti chyby převodu a úhlu přístrojových transformátorů v rozvodně 110kV.

Na *obrázku 3.7* je popsáno zjednodušené náhradní schéma přístrojového transformátoru s uzavřeným feromagnetickým obvodem platné v okolí jmenovité frekvence 50Hz a za předpokladu  $N_P = N_S$ . Rovnost závitů primárního a sekundárního vinutí byla zvolena kvůli zjednodušení, aby se při odvozování vztahů nemusel uvažovat převod.

Jelikož u reálného přístrojového transformátoru není  $N_P$  rovno  $N_S$ , je nutné přepočítat skutečné hodnoty napětí, proudů, odporů a indukčností ze sekundárního vinutí na primární na myšlené hodnoty, které přísluší převodu 1. Přepočítané hodnoty označujeme čárkou a platí pro ně:

$$\begin{aligned} U'_S &= \frac{N_P}{N_S} \cdot U_S \text{ [V]} ; \quad I'_S = \frac{N_S}{N_P} \cdot I_S \text{ [A]} ; \quad R'_S = R_S \cdot \left( \frac{N_P}{N_S} \right)^2 \text{ [\Omega]} ; \\ L'_S &= L_S \cdot \left( \frac{N_P}{N_S} \right)^2 \text{ [H]} ; \quad C'_S = C_S \cdot \left( \frac{N_S}{N_P} \right)^2 \text{ [F]} \end{aligned} \quad (4.1)$$

Jelikož přístrojové transformátory s izolačním napětím 123kV v rozvodně 110kV mají většinou dvě sekundární vinutí, je toto v náhradním schématu přístrojového transformátoru platné pro frekvence do 5kHz respektováno. První sekundární vinutí má požadovanou větší přesnost převodu a je určeno pro fakturační měření. Druhé sekundární vinutí má menší požadovanou přesnost a je určeno pro jištění (ochrany). Na **obrázku 4.1.** je náhradní schéma přístrojového transformátoru s dvěma sekundárními vinutími platné pro frekvence do 5kHz při respektování převodu.



**Obrázek 4.1-** Náhradní schéma přístrojového transformátoru s dvěma sekundárními vinutími platné pro frekvence do 5kHz při respektování převodu

- kde:
- $C_{PB}$  kapacita mezi primárním vinutím (P) a kostrou (B) [F]
  - $C_{PS1}$  kapacita mezi primárním vinutím (P) a prvním sek. vinutím (S1) [F]
  - $C_{PS2}$  kapacita mezi primárním vinutím (P) a druhým sek. vinutím (S2) [F]
  - $C_{S1B}$  kapacita mezi prvním sekundárním vinutím (S1) a kostrou (B) [F]
  - $C_{S2B}$  kapacita mezi druhým sekundárním vinutím (S2) a kostrou (B) [F]
  - $C_{S1S2}$  kapacita mezi prvním sekundárním vinutím (S1) a druhým sekundárním vinutím (S2) [F]
  - $U_P$  primární napětí [V]
  - $I_P$  primární proud [A]
  - $R_P$  činný odpor primárního vinutí [ $\Omega$ ]
  - $L_P$  rozptylová indukčnost primárního vinutí [H]
  - $U_E$  napětí indukované v magnetizační větví [V]
  - $I_E$  budící proud tekoucí magnetizační větví [A]
  - $I_{WE}$  celkový proud kryjící ztráty v železe spojky a jádra [A]
  - $I_{\mu E}$  celkový magnetizační proud spojky a jádra [A]
  - $R_{E,f}$  odpor reprezentující ztráty hysterezní a vřivé ve spojce a jádře, frekvenčně závislý prvek [18] [ $\Omega$ ]
  - $L_{E,f}$  magnetizační indukčnost spojky a jádra, frekvenčně závislý prvek [18] [H]

$L'_{S1}$	rozptylová indukčnost prvního sekundárního vinutí přepočítaná na primární stranu [H]
$R'_{S1}$	činný odpor prvního sek. vinutí přepočítaný na primární stranu [ $\Omega$ ]
$U'_{S1}$	sekundární napětí prvního sek. vinutí přepočítané na primární stranu [V]
$I'_{S1}$	sekundární proud prvního sek. vinutí přepočítaný na primární stranu [A]
$L'_{S2}$	rozptylová indukčnost druhého sek. vinutí přepočítaná na prim. stranu [H]
$R'_{S2}$	činný odpor druhého sek. vinutí přepočítaný na primární stranu [ $\Omega$ ]
$U'_{S2}$	sekundární napětí druhého sek. vinutí přepočítané na primární stranu [V]
$I'_{S2}$	sekundární proud druhého sek. vinutí přepočítaný na primární stranu [A]
$Z_Z'$	vnější břemeno přístrojového transformátoru přepočítané na primární stranu [ $\Omega$ ]

#### 4.2. Vnější břemeno přístrojového transformátoru

Vnější břemeno sekundárních vinutí přístrojového transformátoru je tvořena statickými elektroměry a ochranami.

Vnější zátěž druhého sekundárního vinutí pro jištění je možné uvažovat o celkové impedanci  $Z_{Z2} = 1\text{-}10\Omega$  [26]. K této impedanci je nutné přičíst paralelně řazenou kapacitu přívodní kabeláže.

Vnější břemeno sekundárního vinutí určeného pro fakturační měření tvoří vstupní impedance statického elektroměru a k němu paralelně připojená kapacita kabelového vedení od přístrojového transformátoru k statickému elektroměru.

Vstupní impedance statického elektroměru byla v literatuře [11] odvozena z firemních materiálů výrobců statických elektroměrů viz **tabulka 4.1 a 4.2** takto:

Výrobce statického elektroměru	Typ	Spotřeba energie		Napětí	Charakter zátěže
		zdánlivý	činný		
Moeller	KWZ-3PHx-xxx	7,7 VA	0,7 W	230 V	kapacitní
ZPA	ZETA 310.1.D	8,0 VA	0,7 W	230 V	indukční
Landys + Gyr	ZMD 400AT/CT	1,7 VA	0,7 W	110 V	indukční

**Tabulka 4.1** - Přehled vlastností několika typů statických elektroměrů pro nepřímé měření [11]

Typ statického elektroměru	Impedance Z [ $\Omega$ ] (50Hz)	Reálná složka $R_Z$ [ $\Omega$ ]	Imaginární složka	
			$L_Z$ [H]	$C_Z$ [nF]
KWZ-3PHx-xxx	6870	625	-	465
ZETA 310.I.D	6613	579	21,0	-
ZMD 400AT/CT	7117	2930	20,6	-

**Tabulka 4.2** – Přehled jednotlivých prvků impedance [11]

K výsledné celkové impedanci vstupní zátěže statického elektroměru (*viz rovnice 3.6*) je nutné přidat paralelně řazenou kapacitu přívodní kabeláže (*viz rovnice 3.7*).

Vzdálenost mezi rozvodnou 110kV TNS 25kV, 50Hz, kde jsou přístrojové transformátory umístěny, a statickým elektroměrem lze dělit na dva případy:

- v rozvodně 110kV je domek měření a ochran – délka kabeláží je do 30m,
- v rozvodně 110kV není domek měření a ochran – délka kabeláží je do 100m.

Pro kabeláže od přístrojových transformátorů k statickým elektroměrům se používají zejména nestíněné kably, jelikož dodavatel elektrické energie nepožaduje stínění kabelů. Nestíněné kably nemají přesně definovanou kapacitu ve vztahu ke své délce. Vzhledem k tomu, že kabel není stíněn, bude kapacita kabelu podstatně ovlivněna parazitními kapacitami souběžných vedení.

Pro simulace bude měněna kapacita kabelového vedení od  $0,5\mu F$  do  $1,5\mu F$ , což pokryje široký rozsah případů délky kabeláží mezi přístrojovým transformátorem a statickým elektroměrem v rozvodnách 110kV TNS 25kV, 50Hz.

### 4.3. Přístrojový transformátor proudu

#### 4.3.1. Náhradní schéma přístrojového transformátoru proudu

Pro výzkum frekvenční závislosti chyby převodu a úhlu přístrojového transformátoru proudu do 100-té harmonické je nutné v náhradním schématu přístrojového transformátoru proudu uvažovat v souladu s *kapitolou 4.1* vliv kapacit mezi vinutími a mezi vinutími a kostrou.

Jelikož se mi nepodařilo realizovat měření na přístrojovém transformátoru proudu s izolačním napětím 123kV, oslovil jsem firmu Pfiffner (výrobce přístrojových transformátorů) s žádostí o poskytnutí hodnot kapacit mezi vinutími a mezi vinutími a kostrou. Ostatní prvky náhradního schématu jsem odvodil z měřících protokolů firmy Pfiffner. Hodnoty kapacit mezi vinutími a mezi vinutími a kostrou, jejichž vliv na chybu převodu a úhlu stoupá se zvyšující se frekvencí, však výrobce neměl k dispozici, protože se v souladu s požadavky normy [10] zabývá pouze výzkumem chyby převodu a úhlu na jmenovité frekvenci.

Proto jsem využil k získání náhradního schématu literaturu. Z literatury [21] jsem získal náhradní schéma přístrojového transformátoru proudu platné pro frekvence do 5kHz. Přístrojový transformátor proudu měl tyto parametry:

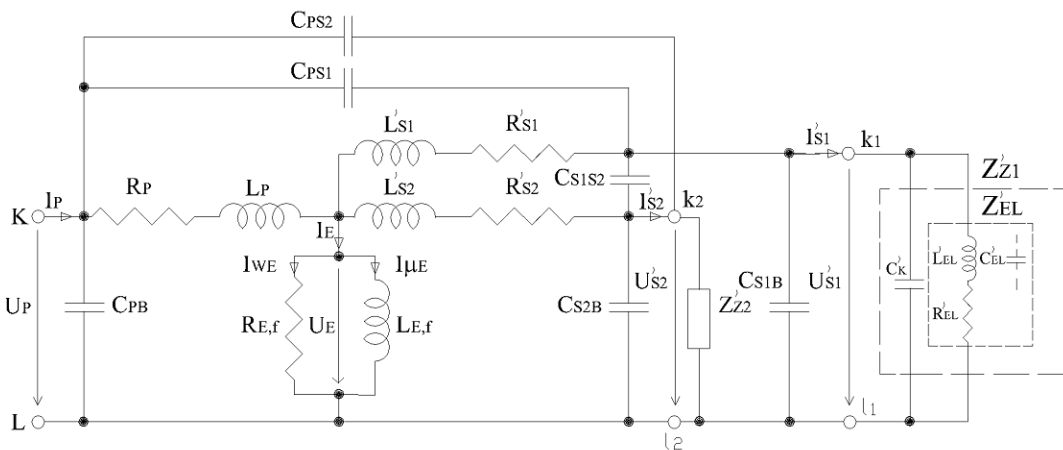
- 30/5A. izolační napětí 27,5kV, zátěž 15VA [21].

Později se mi podařilo získat v literatuře [24] další náhradní schéma, přístrojového transformátoru proudu používaného v rozvodnách 110kV a toto schéma je platné pro frekvence do 5kHz. Přístrojový transformátor proudu, který byl předmětem výzkumu má tyto parametry:

- 200//5/5/5A
    - Vinutí 1 – Tp 0,5 (fakturační měření), 60VA, FS<3
    - Vinutí 2 – Tp 0,5 (fakturační měření), 60VA, FS<3
    - Vinutí 3 – Tp 1 (jištění), 60VA, FS<10

Zdroj [24] uvádí i hodnoty kapacit mezi vinutími a mezi vinutími a kostrou a hodnoty prvků náhradního schématu odvozených z měření naprázdno a nakrátko. Bohužel autor předpokládá frekvenční nezávislost hodnot  $R_E$  a  $L_E$ , což je v rozporu s výsledky výzkumu frekvenční závislosti chyby převodu a úhlu přístrojového transformátoru autorů [18, 19]. Náhradní schéma na obrázku 4.2 toto zjednodušení nerespektuje.

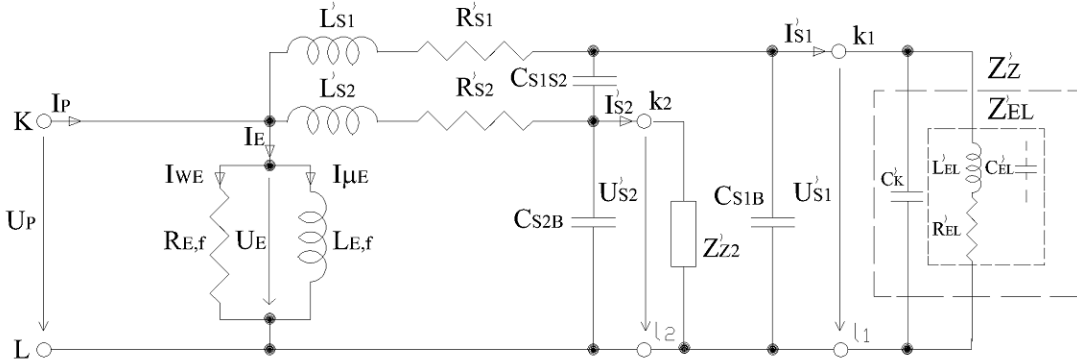
Náhradní schéma přístrojového transformátoru proudu s dvěma sekundárními vinutími platné pro frekvence do 5kHz je na *obrázku 4.2*.



**Obrázek 4.2 - Úplné náhradní schéma přístrojového transformátoru proudu s dvěma sekundárními vinutími platné pro frekvence do 5kHz [24]**

Jelikož primární vinutí přístrojového transformátoru proudu je složeno z jednoho, až tří tyčových závitů je možné v náhradním schématu na **obrázku 4.2** zanedbat prvky  $R_P$ ,  $L_P$ ,  $C_{PB}$ ,  $C_{PS1}$ ,  $C_{PS2}$ . Zjednodušené náhradní schéma přístrojového transformátoru proudu je na **obrázku 4.3** a je v souladu s literaturou [21] a s literaturou [24], kde byly hodnoty  $R_P$ ,  $L_P$  změřeny takto:

$$R_P = 0,0055\Omega ; L_P = 0,0251\text{mH} \quad (4.2)$$



**Obrázek 4.3** - Zjednodušené náhradní schéma přístrojového transformátoru proudu platné pro frekvence do 5kHz

Literatura [21] zkoumající frekvenční závislost chyby převodu a úhlu přístrojového transformátoru proudu toto schéma dále zjednoduší, jelikož naměřené hodnoty  $R_{S1}$ ,  $R_{S2}$ ,  $L_{S1}$ ,  $L_{S2}$  jsou zanedbatelně malé:

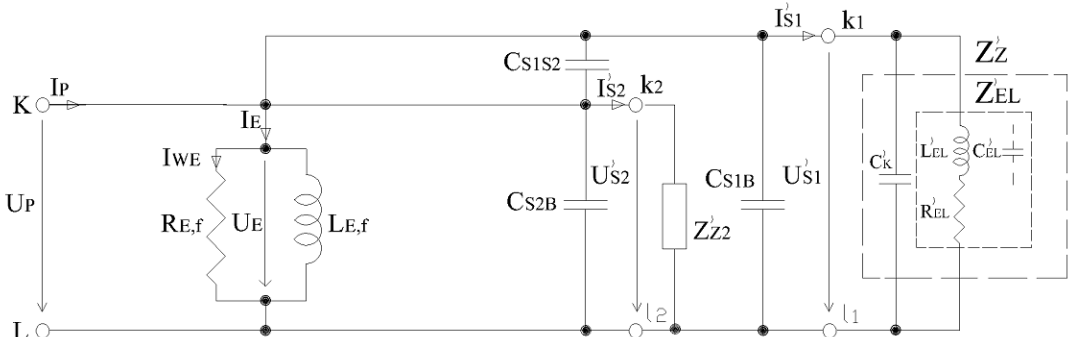
$$R_{S1} = R_{S2} = 0,33\Omega ; L_{S1} = L_{S2} \approx 0H \quad (4.3)$$

Tento závěr je částečně v souladu s literaturou [24] kde byly změřeny hodnoty těchto prvků takto:

$$R_{S1} = 0,45\Omega ; R_{S3} = 4,93\Omega ; L_{S1} = 6,4979mH ; L_{S3} = 20,6082mH \quad (4.4)$$

**Z rovnice 4.4** je zřejmé, že hodnoty náhradních prvků sekundárního vinutí pro ochrany s vyšším číslem FS (např. >10) mají tyto prvky vyšší hodnotu. Vzhledem k hodnotám  $R_E$  a  $L_E$  je však možné je zanebdat. Naměřené hodnoty  $R_E$  a  $L_E$  [24]:

$$R_{E1} = 120,32\Omega ; R_{E3} = 373,45\Omega ; L_{E1} = 2,2728H ; L_{E3} = 5,1550H \quad (4.5)$$



**Obrázek 4.4** - Zjednodušené náhradní schéma přístrojového transformátoru proudu platné pro frekvence do 5kHz

Ze zjednodušeného schématu přístrojového transformátoru proudu je zřejmé, že největší vliv na frekvenční závislost chyby převodu a úhlu přístrojového transformátoru proudu má magnetizační větev, která je složena z paralelní kombinace  $R_{E,f}$  a  $L_{E,f}$ . Přičemž podle zdroje [18]:

$$L_{E,f} = \frac{L_E}{\sqrt{f}} \text{ [H]} ; R_{E,f} = R_E \cdot \sqrt{f} \text{ [\Omega]} \quad (4.6)$$

Se zvyšující se frekvencí tedy roste hodnota  $R_{E,f}$  a snižuje se hodnota  $L_{E,f}$ .

#### 4.3.2. Výzkum vlivu prvků náhradního schématu přístrojového transformátoru proudu na frekvenční závislost chyby převodu a úhlu

##### 4.3.2.1. Vliv prvků $R_{E,f}$ a $L_{E,f}$ na frekvenční závislost chyby převodu a úhlu

Prvky magnetizační větve jsou frekvenčně závislé. Podle *rovnice 4.6* bude se vzrůstající frekvenční růst  $R_{E,f}$  a klesat  $L_{E,f}$ .

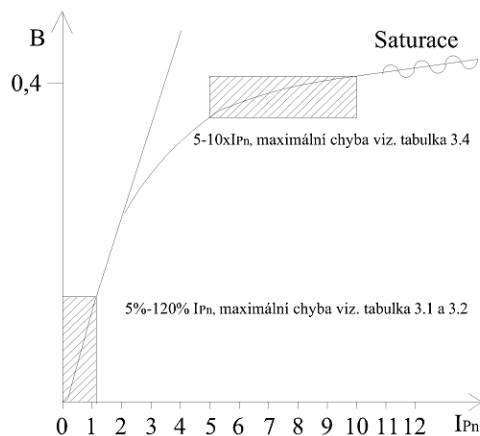
Porovnáme-li, ale hodnoty  $R_E$ ,  $L_E$  přístrojového transformátoru proudu viz *vzorec 4.5* s naměřenými hodnotami  $R_E$ ,  $L_E$  přístrojového transformátoru napětí [25]:

$$L_E=77,333\text{H} ; R_E=29,12\text{k}\Omega \quad (4.7)$$

lze stanovit, že zvyšující se frekvence nezpůsobí u přístrojového transformátoru proudu významnou chybu převodu a úhlu.

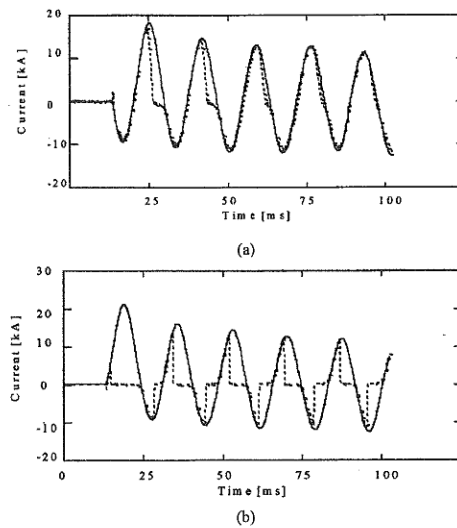
Významná chyba převodu a úhlu by se dala očekávat, pokud by došlo k přesycení feromagnetického obvodu přístrojového transformátoru proudu. Vzhledem k maximálním povoleným mezím napěťových (proudových) harmonických v připojovacím bodě TNS 25kV, 50Hz je však zcela vyloučené, aby tak malé procentní hodnoty základní harmonické zapříčinily přesycení feromagnetického obvodu přístrojového transformátoru proudu. Přitom pokud není feromagnetický obvod přístrojového transformátoru proudu přesycen, lze předpokládat frekvenční nezávislost chyby převodu a úhlu až do frekvence 50kHz [21], 16kHz [24].

K přesycení feromagnetického obvodu může dojít při několikanásobném nárůstu primárního proudu (cca.  $4xI_{Pn}$  pro feromagnetický obvod sekundárního vinutí pro měření a ca.  $10-15xI_{Pn}$  pro feromagnetický obvod sekundárního vinutí pro jištění (viz. *obrázek 4.5*). Pokud je dosažena mez saturace feromagnetického obvodu, je sekundární proud značně deformován.



**Obrázek 4.5** – Průběh sycení feromagnetického obvodu přístrojového transformátoru proudu

Pokud by se měla sledovat frekvenční závislost chyby převodu a úhlu přístrojového transformátoru proudu ve frekvenčním pásmu do 5kHz a současně vliv přesycení feromagnetického obvodu na frekvenční závislost chyby převodu a úhlu, bylo by nutné v modelu přístrojového transformátoru proudu zohlednit vždy parametry feromagnetického obvodu konkrétního přístrojového transformátoru proudu, aby získané průběhy odpovídaly skutečnosti. Na **obrázku 4.6** je příklad výstupu simulace průběhu sekundárního proudu přístrojového transformátoru proudu při zkratu na primárním vinutí bez zahrnutí remanence feromagnetického obvodu do simulačního modelu a se zahrnutím remanence feromagnetického obvodu do simulačního modelu.



**Obrázek 4.6** – Průběh sekundárního proudu při zkratu na primárním vinutí: **a)** výsledek simulace bez zahrnutí remanence feromagnetického obvodu do modelu **b)** výsledek simulace se zahrnutím remanence feromagnetického obvodu do modelu [16]

#### 4.3.2.2. Vliv kapacit mezi vinutími $C_{S1S2}$ a kapacit proti zemi $C_{S1B}$ a $C_{S2B}$ na frekvenční závislost chyby převodu a úhlu

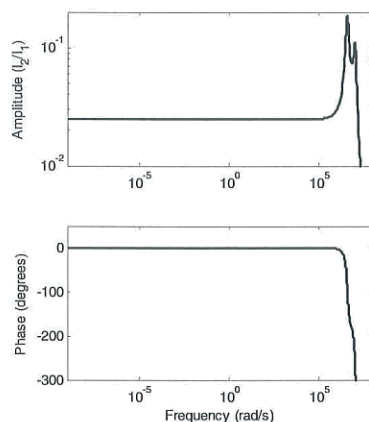
Se zvyšující se frekvencí roste vliv kapacit mezi vinutími a mezi vinutími a kostrou na frekvenční závislost chyby převodu a úhlu. U přístrojových transformátorů proudu však pro sledované frekvenční pásmo do 5kHz nemají tyto kapacity významný vliv na frekvenční závislost chyby převodu a úhlu. Dokladem je *obrázek 4.8* [24] a *obrázek 4.9* [21] v *kapitole 4.3.3*, který potvrzuje, že chyba převodu a úhlu je frekvenčně nezávislá do 50kHz [21], 16kHz [24].

#### 4.3.2.3. Vliv vnější zátěže na frekvenční závislost chyby převodu a úhlu

Vnější zátěž přístrojového transformátoru proudu má vliv na chybu převodu a úhlu i v okolí jmenovité frekvence přístrojového transformátoru proudu, jak bylo popsáno v *kapitole 3.3.2.2.* Tento vliv na chybu převodu a úhlu se však se stoupající frekvencí výrazně nemění. Významný vliv na frekvenční závislost chyby převodu a úhlu při zvyšující se frekvenci by mohl mít přesycený feromagnetický obvod vnější indukční zátěže. Vzhledem k povoleným mezím napěťových (proudových) harmonických v připojovacím bodě TNS 25kV, 50Hz je přesycení feromagnetického obvodu zátěže harmonickými však vyloučeno stejně jako u feromagnetického obvodu přístrojového transformátoru proudu.

#### 4.3.3. Frekvenční závislost chyby převodu a úhlu

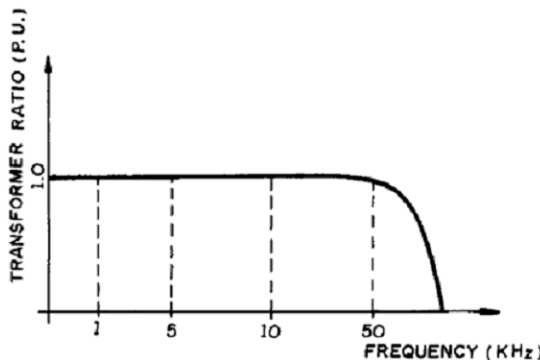
Na *obrázku 4.7 a)* je zobrazena frekvenční závislost chyby převodu přístrojového transformátoru proudu. Na *obrázku 4.7 b)* je zobrazena frekvenční závislost chyby úhlu přístrojového transformátoru proudu. Průběhy jsou získané ze zdroje [24] a vyplývá z nich, že do 16kHz není chyba převodu a úhlu přístrojového transformátoru proudu frekvenčně závislá.



*Obrázek 4.7 - a)* Frekvenční závislost chyby převodu, *b)* frekvenční závislost chyby úhlu [24]

K podobnému závěru dochází zdroj [21], který potvrzuje, že chybu převodu a úhlu je možné považovat za frekvenčně nezávislou do 50kHz za podmínky, že magnetický tok v jádře je v lineární oblasti. V případě, že tok je mimo lineární oblast (viz *obrázek 4.5*) je těžké odhadnout frekvenční závislost chyby převodu a úhlu [21].

Na *obrázku 4.8* je zobrazena frekvenční závislost chyby převodu.



*Obrázek 4.8* – Frekvenční závislost chyby převodu přístrojového transf. proudu [21]

Z *obrázků 4.7 a 4.8* je zřejmé, že chyba převodu a úhlu je frekvenčně nezávislá v širokém frekvenčním pásmu, přesahující sledovanou frekvenční oblast v této práci.

#### 4.3.4. Závěr

Ze dvou nezávislých zdrojů bylo potvrzeno, že přístrojový transformátor proudu je možné použít k měření vyšších harmonických do 100-té harmonické, aniž by byla ovlivněna chyba převodu nebo úhlu frekvenční závislostí.

Frekvenční nezávislost chyby převodu a úhlu přístrojového transformátoru proudu byla ověřena do 50kHz [21], 16kHz [24]:

- přístrojovém transformátoru proudu s převodem 30/5A, izolační napětí 27,5kV, zátěž 15VA [21],
- přístrojovém transformátoru proudu s převodem 200//5/5/5A, izolační napětí 123kV, zátěž 60VA [24].

Vzhledem k tomu, že se neprokázala frekvenční závislost chyby převodu a úhlu přístrojového transformátoru proudu ve sledovaném frekvenčním pásmu do 5kHz nebude výzkum přesnosti frekvenční závislosti chyby převodu a úhlu předmětem simulací v *kapitole 5* pomocí simulačního programu PSpice.

#### 4.4. Přístrojový induktivní transformátor napětí

##### 4.4.1. Náhradní schéma přístrojového induktivního transformátoru napětí

Pro výzkum frekvenční závislosti chyby převodu a úhlu do 100-té harmonické je nutné v náhradním schématu uvažovat v souladu s *kapitolou 4.1* vliv kapacit mezi vinutími a kapacit proti kostře.

Jelikož se mi nepodařilo realizovat měření na přístrojovém induktivním transformátoru napětí s izolačním napětím 123kV, oslovil jsem firmu Pfiffner (výrobce přístrojových induktivních transformátorů napětí) s žádostí o poskytnutí hodnot kapacit mezi vinutími a mezi vinutími a kostrou. Ostatní hodnoty náhradního schématu jsem odvodil z měřicích protokolů firmy Pfiffner. Hodnoty kapacit mezi vinutími a mezi vinutími a kostrou však výrobce neměl k dispozici, protože se v souladu s požadavky normy [10] zabývá pouze výzkumem chyby převodu a úhlu na jmenovité frekvenci.

Proto jsem využil k získání náhradního schématu literaturu. Z literatury [18,19] jsem nemohl náhradní schéma použít, protože zde byla zkoumána frekvenční závislost chyby převodu a úhlu přístrojového induktivního transformátoru napětí s izolačním napětím od 7,2kV do 27,5kV. Z výsledků měření a simulací však bylo zřejmé, že přístrojový induktivní transformátor napětí má obecně vyšší frekvenční závislost chyby převodu a úhlu než přístrojový transformátor proudu.

Později se mi podařilo získat literaturu [25,27,28], která se zabývala frekvenční závislostí chyby převodu a úhlu přístrojového induktivního transformátoru napětí s izolačním napětím 123 - 145kV.

Pouze zdroj [25] však uvedl úplné náhradní schéma přístrojového induktivního transformátoru napětí platné do 10kHz. Náhradní schéma bylo navíc doplněno o hodnoty všech prvků. Zdroj [25] použil k odvození hodnot prvků náhradního schématu přístrojový induktivní transformátor napětí s těmito parametry:

➤ Typ EMFC 145

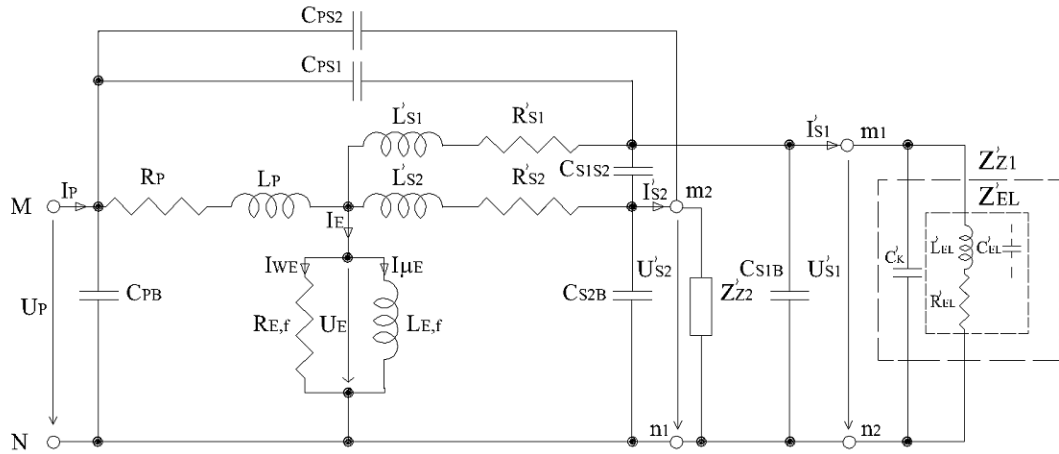
Izolační napětí 145kV

Převod  $110000/\sqrt{3} // 100/\sqrt{3}, 100/\sqrt{3}$  V

Sekundární vinutí 1 – měření

Sekundární vinutí 2 – jištění

Jelikož zdroj [25] uvažuje v náhradním schématu přístrojového transformátoru napětí platném pro frekvence do 5kHz zjednodušení, je na *obrázku 4.9* nejdříve uvažováno náhradní schéma přístrojového transformátoru napětí obecně platné pro frekvence do 5kHz.



**Obrázek 4.9** - Úplné náhradní schéma přístrojového induktivního transformátoru napětí s dvěma sekundárními vinutími, platné pro frekvence do 5kHz (100-tá harmonická)

Zdroj [24] předpokládá tato zjednodušení obecně platného náhradního schématu (viz obrázek 4.9):

- Sériové řazení prvků  $R_{E,f}$  a  $L_{E,f}$  v náhradním schématu - to je ale v rozporu s literaturou [16,21], která také zkoumá frekvenční závislost chyby převodu a úhlu přístrojových induktivních transformátorů napětí s izolačním napětím 7,2 – 27,5 kV. Neodpovídá to ani náhradnímu schématu přístrojového induktivního transformátoru napětí v okolí jmenovité frekvence viz. **obrázek 3.7**, kde se uvažuje také paralelní řazení prvků  $R_E$ ,  $L_E$ . Sériové řazení prvků  $L_{E,f}$  a  $R_{E,f}$  je zjednodušení, které tedy nevystihuje zcela přesně skutečné poměry v reálném přístrojovém induktivním transformátoru napětí, kde hlavní magnetický tok je buzený proudem magnetizaéním:

$$\overline{I_E} = \overline{I_{WE}} + \overline{I_{\mu E}} \quad [A] \quad (4.8)$$

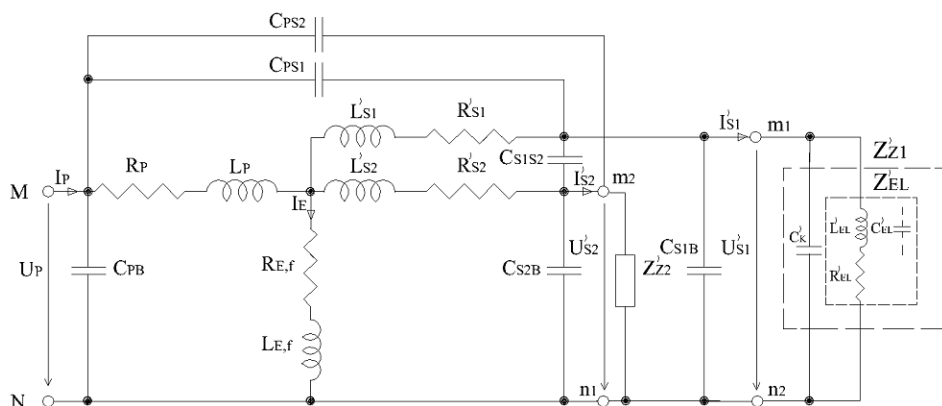
Jelikož zdroje [18,19,22,23] využily toto zjednodušení při výzkumu frekvenční závislosti chyby převodu a úhlu přístrojových induktivních transformátorů napětí s izolačním napětím  $7,2\text{kV} - 27,5\text{kV}$  na vyšších harmonických a vzhledem k tomu že výsledky simulaci a měření poskytly velice přesný obraz o frekvenční závislosti chyby převodu a úhlu těchto přístrojových transformátorů, bude toto zjednodušení

použito pro výzkum frekvenční závislosti chyb převodu a úhlu přístrojového induktivního transformátoru napětí s izolačním napětím 123kV.

➤ Zanedbání frekvenční nezávislosti prvků  $R_{E,f}$   $L_{E,f}$  - vzhledem k výsledkům prací autorů [18,19,22,23] kde frekvenčně závislé prvky  $R_{E,f}$ ,  $L_{E,f}$  mají vliv na frekvenční závislost chyby převodu a úhlu, lze předpokládat, že toto zjednodušení není možné. Aby bylo zřejmé, jak se promítne frekvenční závislost prvků  $R_{E,f}$  a  $L_{E,f}$  na frekvenční závislost chyby převodu a úhlu přístrojového induktivního transformátoru napětí bude v *kapitole 5* provedeno porovnání výsledků frekvenční závislosti chyby převodu a úhlu při uvažování frekvenční závislosti prvků  $L_{E,f}$  a  $R_{E,f}$  a bez uvažování frekvenční závislosti prvků  $L_E$  a  $R_E$ .

Jelikož zdroj [25] nestanovil frekvenční závislost prvků  $R_{E,f}$  a  $L_{E,f}$  použil jsem frekvenční závislost prvků uvedenou zdrojem [18] (viz *kapitola 4.4.3*).

Výsledné zjednodušené náhradní schéma přístrojového induktivního transformátoru napětí platné pro frekvence do 5kHz, které bude použito v *kapitole 5* pro simulace v PSpice, je na *obrázku 4.10*.



*Obrázek 4.10 - Zjednodušené (sériové řazení prvků  $R_{E,f}$ ,  $L_{E,f}$ ) náhradní schéma přístrojového induktivního transformátoru napětí s dvěma sekundárními vinutími, platné pro frekvence do 5kHz (100-tá harmonická)*

#### 4.4.2. Postup měření hodnot prvků náhradního schématu

##### 4.4.2.1. Postup měření hodnot prvků $R_p$ , $L_p$ , $R_s$ , $L_s$ , $L_E$ , $R_E$

Hodnoty prvků v náhradním schématu, které jsou charakteristické pro náhradní schéma přístrojového induktivního transformátoru napětí v okolí jmenovité frekvence, lze získat měřením ve stavu nakrátko a naprázdno při jmenovité frekvenci.

Měřením naprázdno a nakrátko získal zdroj [25] tyto hodnoty impedancí viz *tabulka 4.1*:

Měřené hodnoty	f [Hz]	Hodnota [ $k\Omega$ ]
$Z_{PS1}$	50	$1,9259 + 0,98281j$
$Z_P$	50	$30,950 + 25,167j$

**Tabulka 4.1** – Hodnoty získané měřením naprázdno a nakrátko na přístrojovém induktivním transformátoru napětí typu EMFC145 [25]

Ze změřených impedancí v *tabulce 4.1* lze vypočítat prvky podélné větve náhradního schématu přístrojového induktivního transformátoru napětí (viz. *tabulka 4.2.*) a příčné větve přístrojového induktivního transformátoru napětí (viz. *tabulka 4.3.*).

Hodnoty z <i>tabulky 4.1</i>	Poměr	Prvky prim. vinutí	Prvky sek. vinutí – S1
$L_{PS1} = 3,13H$	90% k 10%	$L_P = 2,8170H$	$L_{S1} = 0,313H$
$R_{PS1} = 1,9259k\Omega$		$R_P = 1,7333k\Omega$	$R_{S1} = 192,59\Omega$

**Tabulka 4.2** – Výpočet prvků podélné větve náhradního schématu přístrojového induktivního transformátoru napětí [25]

Měřené hodnoty	Hodnoty z <i>tabulky 4.1</i>	Vypočítané hodnoty
Imaginární složka	$25,167j k\Omega$	$L_E = 77,3327H$
Reálná složka	$30,950k\Omega$	$R_E = 29,2167k\Omega$

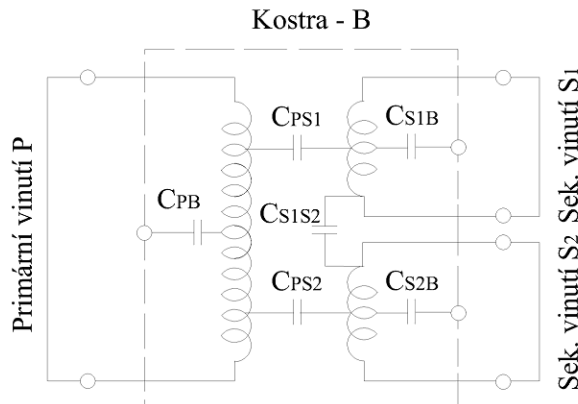
**Tabulka 4.3** – Výpočet prvků příčné větve náhradního schématu přístrojového induktivního transformátoru napětí [25]

V *tabulce 4.2* rozdělil zdroj [25] hodnoty prvků  $R_{PS1}$  a  $L_{PS1}$  na hodnoty prvků  $R_P$ ,  $L_P$  a  $R_{S1}$ ,  $L_{S1}$  v poměru 90% k 10%. V *kapitole 5* bude zkoumán obecný vliv změny hodnoty jednotlivých prvků na změnu frekvenční závislosti převodu a úhlu a výsledky simulací tedy nebudou zatíženy poměrem dělení, který lze ale považovat za teoreticky správný.

#### 4.4.2.2. Postup měření a odvození hodnot kapacit $C_{PB}$ , $C_{PS1}$ , $C_{PS2}$ , $C_{S1B}$ , $C_{S2B}$ , $C_{S1S2}$

Pro výzkum frekvenční závislosti chyby převodu a úhlu přístrojových induktivních transformátorů napětí do 100-té harmonické je nutné uvažovat vliv kapacit mezi vinutími a mezi vinutími a zemí. Zdroj [18] poprvé stanovil, které kapacity je nutné v tomto frekvenčním pásmu v náhradním schématu respektovat a stanovil jejich hodnotu.

Zdroj [25] vyšel ze zdroje [18] a do náhradního schématu přístrojového induktivního transformátoru napětí s izolačním napětím 145kV zahrnul šest kapacit viz. *obrázek 4.11.*



**Obrázek 4.11** – Uvažované kapacity mezi vinutími a mezi vinutími a kostrou přístrojového induktivního transformátoru napětí

Náhradní schéma přístrojového induktivního transformátoru napětí se zahrnutím těchto kapacit je na **obrázku 4.9** a na **obrázku 4.10**.

„Tyto kapacity mezi vinutími a mezi vinutími a kostrou nemohou být měřeny přímo, protože jsou uvnitř přístrojového induktivního transformátoru napětí a nemohou být odděleny při jakémkoliv testu. Tak jakékoliv měření nemůže být přímé měření potřebných kapacit v náhradním schématu, ale měření spojení kapacit. Více detailní analýzy ukázaly, že tyto kapacity jsou v reálném transformátoru spojeny do 4-rohové symetrické sítě (polygon), což platí zvláště při vysokých frekvencích jak je ukázáno na **obrázku 4.12** (impedance virtuálního transformátoru má být tak nízká, že na vyšších frekvencích bude transformátor reprezentován pouze polygonem kapacit). K odhadu hodnoty každé kapacity je potřebné měření, celkem je nutné provést 6 měření.“ [25].

#### Popis měření kapacit

„Během těchto šesti měření hodnot kapacit, jsou všechna vinutí transformátoru spojena nakrátko, jak je ukázáno na **obrázku 4.11**. Přístrojový induktivní transformátor napětí je napájen 100V a do sekundárního vinutí se zavede impulz 1,2/50μs. Během testu byla měřena impedance respektive napětí a proud digitálním osciloskopem. Spojení kapacit bylo uvažováno mezi vinutími a mezi každým vinutím a kostrou transformátoru (poznámka: v tomto měření je primářní vinutí odděleno od kostry).“ [25].

Při analýze měření bylo nejdříve spočítáno spektrum napětí a proudu. Dále byla spočítána frekvenčně nezávislá kapacita ze spektra měřeného napětí a proudu takto [25]:

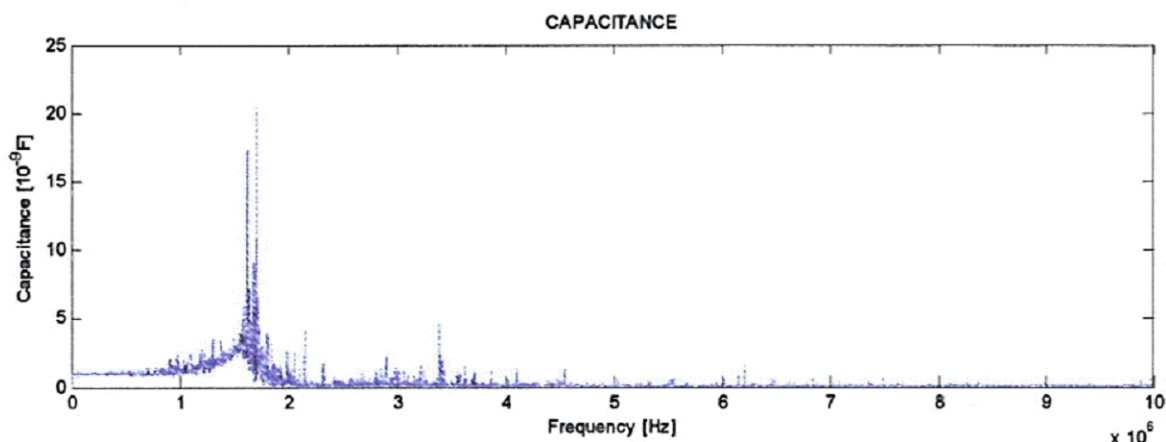
$$C(\omega) = \frac{1}{\omega} \operatorname{imag} \left( \frac{DFT(i)}{DFT(v)} \right) [\text{F}] \quad (4.9)$$

kde:  $\omega$  je úhlová frekvence [rad/s]

DFT(v) je spektrum napětí

DFT(i) je spektrum proudu.

Příklad měření jedné ze šesti měřených kapacit je ukázán na následujícím obrázku. Odečtená kapacita je vzata z neproměnné části křivky, do 1MHz viz **obrázek 4.12**.

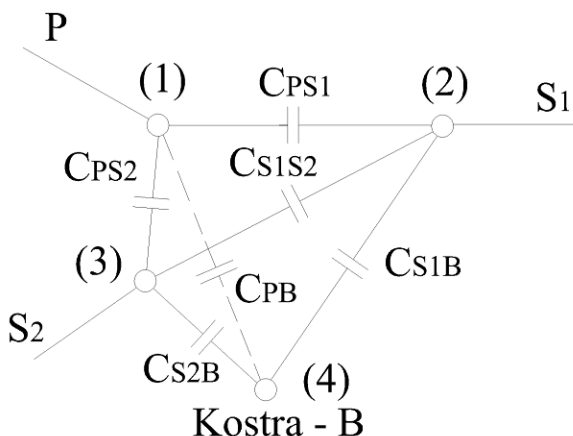


**Obrázek 4.12** - Kapacita P-S1, odečtená z křivky získané impulsním testem [25]

### Přepočítání sítě kapacit

Zdroj [25] vypočítal kapacity náhradního modelu z kapacit měřených za použití systému šesti rovnic, které řešil „Gauss-Seidelovou iteraci“ metodou.

„Základní myšlenka spočítání všech šesti kapacit uvnitř sítě kapacit, je ukázána na **obrázku 4.13**. Do výpočtu jsou zahrnuty vždy všechny kombinace měření (6) mezi rohy polygonu (1,2,3,4) a mezi vinutími transformátoru - primární (P), sekundární (S1), sekundární (S2) a kostrou transformátoru, jak je ukázáno na **obrázku 4.11**.“ [25].



**Obrázek 4.13** - Spojení kapacit v přístrojovém induktivním transformátoru napětí při měření na vysokých frekvencích

„Například hodnota kapacity  $C_{PS1}$  se určí výpočtem ze sítě kapacit viz. *rovnice 4.9*“ [25] takto:

$$C_{PS1} = C_{12} = \frac{C_{PB} \cdot C_{S1B}}{C_{PB} + C_{S1B} + C_{S2B}} - \frac{\left( C_{PS2} + \frac{C_{PB} \cdot C_{S2B}}{C_{PB} + C_{S1B} + C_{S2B}} \right) \cdot \left( C_{S1S2} + \frac{C_{S2B} \cdot C_{S1B}}{C_{PB} + C_{S1B} + C_{S2B}} \right)}{\left( C_{PS2} + C_{S1S2} + \frac{C_{S2B} \cdot C_{S1B} + C_{PB} \cdot C_{S2B}}{C_{PB} + C_{S1B} + C_{S2B}} \right)} \quad [F] \quad (4.10)$$

Tyto hodnoty kapacit uvnitř polygonu jsou přirozeně neznámé, jen měřené kapacity jsou známé:  $C_{12}, C_{13}, C_{14}, C_{24}, C_{34}, C_{23}$ . Pro každou kapacitu v polygonu pak musí být odvozena rovnice obdobná jako pro  $C_{PS1}$ . Měřené hodnoty kapacit a vypočtené hodnoty kapacit jsou uvedeny v *tabulce 4.4.*“ [25].

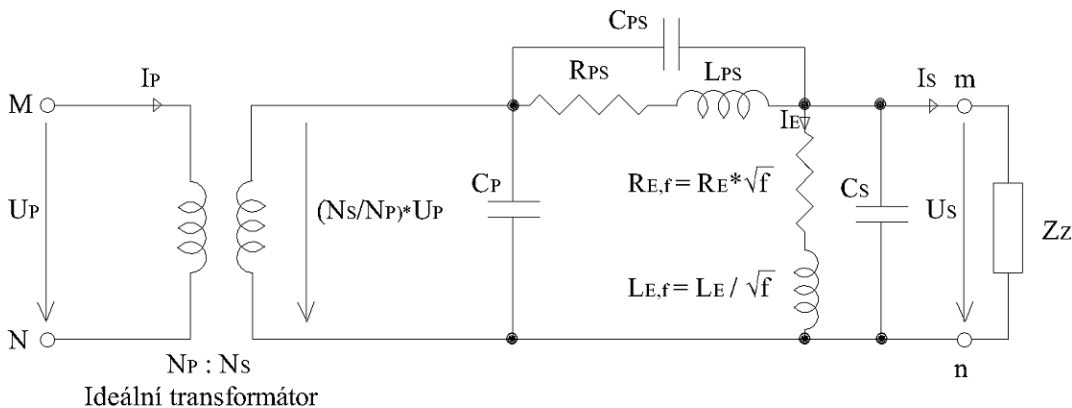
Měřené kapacity		Vypočítané kapacity pomocí Gauss-Seidelovy iterační metody	
Název	Hodnota [nF]	Název	Hodnota [nF]
$C_{12}$	1,1	$C_{PS1}$	0,5371
$C_{13}$	1,1	$C_{PS2}$	0,5371
$C_{23}$	2,8	$C_{S1S2}$	2,4754
$C_{14}$	0,6	$C_{PB}$	0,4144
$C_{24}$	0,5	$C_{S1B}$	0,1121
$C_{34}$	0,5	$C_{S2B}$	0,1121

**Tabulka 4.4** - Měřené a vypočítané hodnoty kapacit přístrojového induktivního transformátoru napětí [25]

#### 4.4.3. Frekvenční závislost chyby převodu a úhlu

Přesnost měření přístrojového induktivního transformátoru napětí s izolačním napětím do 27,5kV na vyšších harmonických byla předmětem výzkumu zdroje [18,19].

Zdroj [18] odvodil obecně platné náhradní schéma přístrojového induktivního transformátoru napětí platné pro frekvenční pásmo do 10kHz, které je na *obrázku 4.14*. V tomto náhradním schématu určil prvky  $L_E, R_E$  jako frekvenčně závislé ( $L_{E,f}, R_{E,f}$ ) a použil sériové řazení prvků  $L_{E,f}, R_{E,f}$ .



**Obrázek 4.14** – Náhradní schéma přístrojového induktivního transformátoru napětí s izolačním napětím 7,2kV platné pro frekvence do 10kHz [18]

- kde:
- $R_{PS}$  odpor primárního a sekundárního vinutí [ $\Omega$ ]
  - $L_{PS}$  rozptylová indukčnost primárního a sekundárního vinutí [F]
  - $C_{PS}$  kapacita mezi primárním a sekundárním vinutím [F]
  - $C_P$  kapacita mezi primárním vinutím a kostrou [F]
  - $C_S$  kapacita mezi sekundárním vinutím a kostrou [F]
  - $R_{E,f}$  frekvenčně závislý odpor repr. ztráty hysterezní a vířivé ve spojce a jádře [ $\Omega$ ]
  - $L_{E,f}$  frekvenčně závislá magnetizační indukčnost spojky a jádra [H]

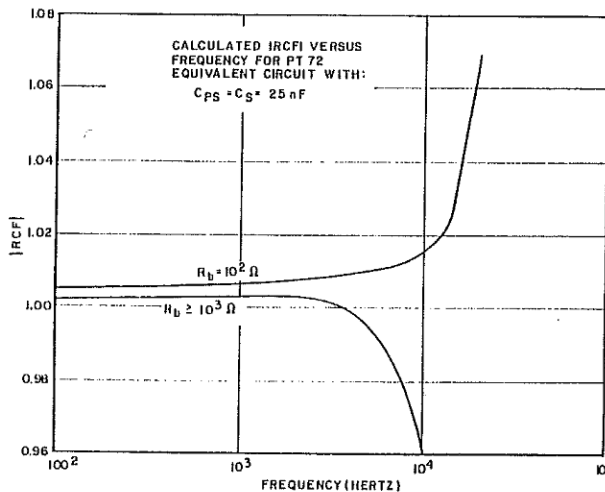
Pro frekvenčně závislé prvky magnetizační větve platí vztahy [18]:

$$R_{E,f} = R_E \cdot f^{K_R} [\Omega] ; L_{E,f} = L_E \cdot f^{K_L} [H] \quad (4.8)$$

- kde:
- $R_E$  frekvenčně nezávislý odpor reprezentující ztráty hysterezní a vířivé ve spojce a jádře [ $\Omega$ ]
  - $L_E$  frekvenčně závislá magnetizační indukčnost spojky a jádra [H]
  - $K_R$  exponent definující frekvenční závislost odporu magnetizační větve [-]
  - $K_L$  exponent definující frekvenční závislost indukčnosti mag. větve [-]

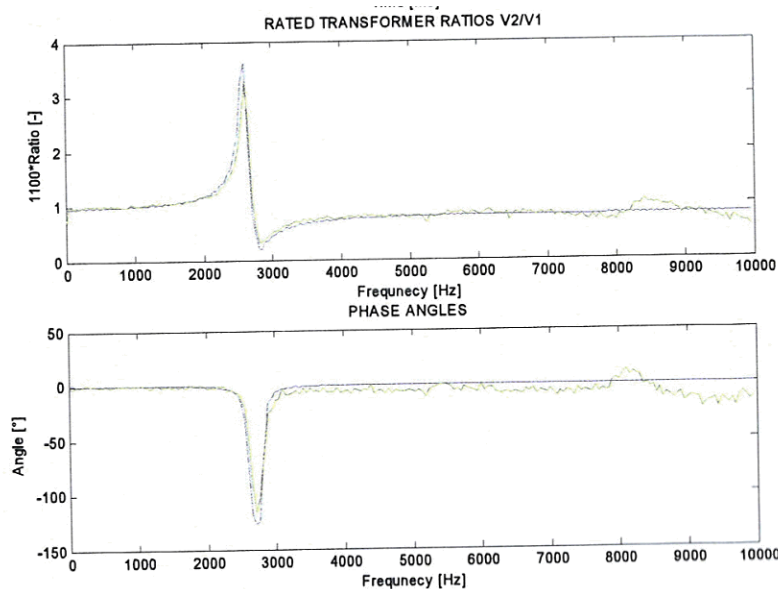
Zdroj [17] ověřil, že koeficient  $K_R = + 0,5$  a koeficient  $K_L = - 0,5$  platí pro široké spektrum izolačních napětí přístrojových induktivních transformátoru napětí.

Na obrázku 4.15 je pak zobrazen průběh chyby převodu konkrétního přístrojového induktivního transformátoru napětí typu PT72 s izolačním napětím 7,2kV. Chyba převodu zde je prezentována v podobě činitele RCF (hodnota, která po vynásobení převodem dává skutečný převod mezi napětím primárním a sekundárním).



**Obrázek 4.15** - Průběh chyby převodu přístrojového induktivního transformátoru napětí s izolačním napětím 7,2kV [18]

Na **obrázku 4.16** je průběh frekvenční závislosti chyby převodu a úhlu přístrojového induktivního transformátoru napětí, který byl simulací odvozen zdrojem [25]. Jde pouze o informativní průběh frekvenční závislosti chyby převodu a úhlu, protože zdroj [25], předpokládá frekvenční nezávislost prvků  $R_E$ ,  $L_E$ . Potom hodnoty  $R_E$ ,  $L_E$  v náhradním schématu úplně zanedbává, což není možné, protože tyto hodnoty jsou nezanedbatelně veliké. Se zvyšující se frekvencí navíc výrazně roste vliv frekvenčně závislých prvků  $R_{E,f}$ ,  $L_{E,f}$  na frekvenční závislost chyby převodu a úhlu přístrojového induktivního transformátoru napětí.



**Obrázek 4.16** – Průběh frekvenční závislosti chyby převodu a úhlu induktivního transformátoru napětí s izolačním napětím 123kV [25]

Z obrázku 4.16. a 4.17 je zřejmé, že přístrojový induktivní transformátor napětí má výrazně vyšší frekvenční závislost chyby převodu a úhlu než přístrojový transformátor proudu.

#### 4.4.4. Závěr

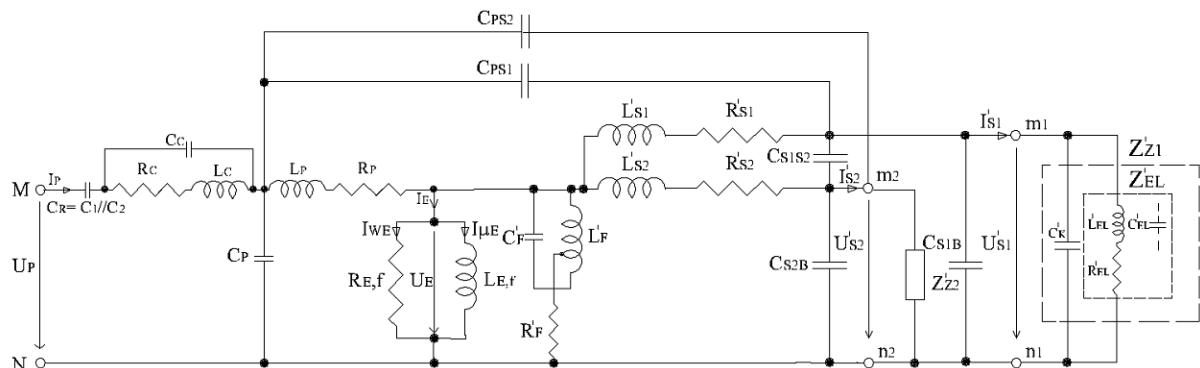
Jelikož přístrojový induktivní transformátor napětí má frekvenčně závislou chybu převodu a úhlu ve frekvenčním pásmu sledovaném v této práci bude v *kapitole 5* pomocí programu PSpice simulací prověřena jeho frekvenční závislost chyby převodu a úhlu.

V *kapitole 5* bude zkoumán vliv změny prvků náhradního schématu na změnu frekvenční závislost chyby převodu a úhlu. Cílem *kapitoly 5* bude dále porovnat grafy frekvenční závislosti chyby převodu a úhlu při uvažování frekvenční závislosti prvků  $R_E$ ,  $L_E$  a bez uvažování frekvenční závislosti prvků  $R_E$ ,  $L_E$ .

### 4.5. Přístrojový kapacitní transformátor napětí

#### 4.5.1. Náhradní schéma přístrojového kapacitního transformátoru napětí

Na obrázku 4.17 je náhradní schéma přístrojového kapacitního transformátoru napětí platné pro frekvence do 10kHz [9].



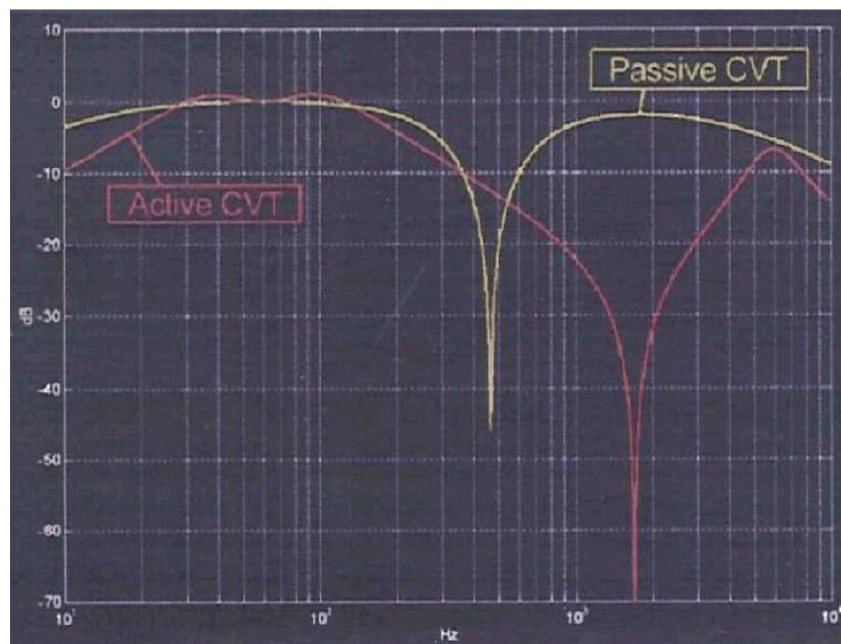
Obrázek 4.17 – Náhradní schéma přístrojového kapacitního transformátoru napětí platné pro frekvence do 10kHz [9]

- kde:  $C_R$  celková kapacita kondenzátor  $C_1$  a  $C_2$  [F]  
 $L_C$  indukčnost kompenzační tlumivky [H]  
 $R_C$  odpor kompenzační tlumivky [ $\Omega$ ]  
 $C_C$  kapacita kompenzační tlumivky [F]  
 $L_p$  rozptylová indukčnost středněnapěťového transformátoru přepočítaná na primární stranu [H]

$R_P$	odpor středněnapěťového transformátoru přepočítaný na primární stranu [ $\Omega$ ]
$R_{E,f}$	frekvenčně závislý odpor reprezentující ztráty hysterezní a vřivé ve spojce a jádru [ $\Omega$ ]
$L_{E,f}$	frekvenčně závislá magnetizační indukčnost spojky a jádra [H]
$C_P$	kapacita středněnapěťového transformátoru proti kostře [F]
$C_F$	kapacita tlumícího zařízení [F]
$L_F$	indukčnost tlumícího zařízení [H]
$R_F$	odpor tlumícího zařízení [ $\Omega$ ]

#### 4.5.2. Frekvenční závislost chyby převodu a úhlu

Na obrázku 4.18. je zobrazena frekvenční závislost chyby převodu a úhlu přístrojového kapacitního transformátoru napětí s izolačním napětím 123kV.



**Obrázek 4.18** - Průběh frekvenční závislosti chyby převodu a úhlu přístrojového kapacitního transformátoru napětí s izolačním napětím 123kV ve frekvenčním pásmu do 10kHz [9]

Z obrázku 4.18, že zřejmě, že přístrojový kapacitní transformátor napětí vykazuje nepřípustné chyby převodu a úhlu již v okolí jmenovité frekvence (frekvenční pásmo od 52Hz viz obrázek 3.27 do 100Hz viz obrázek 4.18 – pohyb v tomto rozmezí ovlivňuje typ použitého tlumícího zařízení, požadovaná třída přesnosti a datum výroby přístrojového kapacitního transformátoru napětí). Maxima této chyby (přípustná mez překročena 225-350krát) nabývá

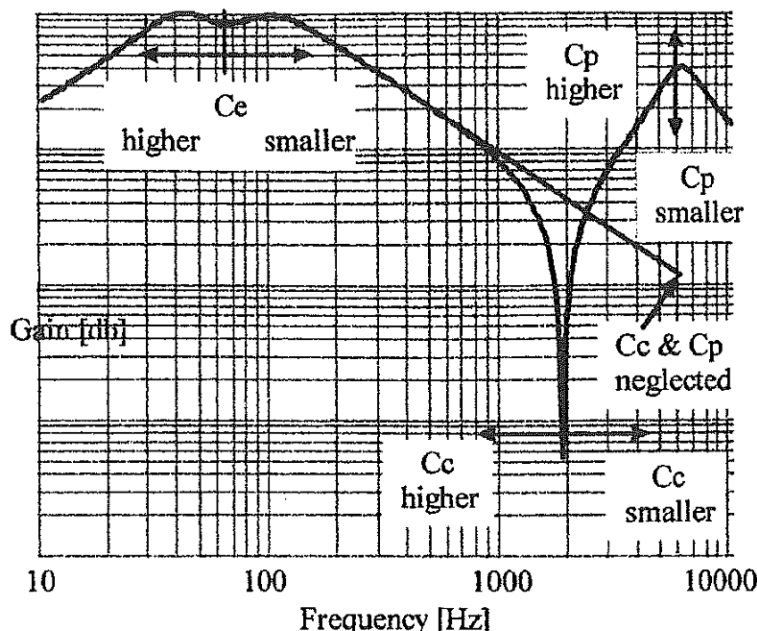
chyba převodu při měření na frekvenci v okolí 20-té harmonické. Tento řád harmonické se nachází mezi sledovanými distributorem elektrické energie. V případě měření harmonických přístrojovým kapacitním transformátorem napětí by měření bylo zcela neprůkazné právě vlivem značného ovlivnění chyby převodu a úhlu frekvenční závislostí přístrojového kapacitního transformátoru napětí.

Z obrázku 4.18 je také vidět, že tlumící zařízení má značný vliv na frekvenční závislost chyby převodu přístrojového kapacitního transformátoru napětí. Oba typy tlumících zařízení byly popsány v kapitole 3.5.1. Pasivní tlumící zařízení je dražší, a považuje se za lepší z hlediska frekvenční odezvy. Jak, ale ukazuje obrázek 4.18, pasivní tlumící zařízení má sice pozitivní vliv na snížení maximální hodnoty chyby převodu, ale posouvá maximum chyby převodu do blízkosti 12-té harmonické.

Z obrázku 4.18 vyplývá, že frekvenční závislost chyby převodu a úhlu je značná a případná měření napěťových harmonických tímto přístrojovým transformátorem je neprůkazné.

#### 4.5.3. Výzkum vlivu změny hodnot jednotlivých prvků náhradního schématu na změnu frekvenční závislosti chybu převodu a úhlu

Na obrázku 4.19 je znázorněn vliv změny hodnoty jednotlivých prvků náhradního schématu na změnu frekvenční závislosti chyby převodu přístrojového kapacitního transformátoru napětí.



Obrázek 4.19 - Vliv změny hodnoty prvků náhradního schématu na průběh frekvenční závislosti chyby převodu přístrojového kapacitního transformátoru napětí [16]

#### 4.5.4. Závěr

Z obrázku 4.19 vyplývá, že přístrojový kapacitní transformátor napětí není vhodný pro měření na vyšších napěťových harmonických, protože chyba převodu a úhlu je značně frekvenčně závislá. Případná měření přístrojovým kapacitním transformátorem napětí na vyšších harmonických by byla neprůkazná právě kvůli značné chybě převodu a úhlu způsobené touto frekvenční závislostí.

V situaci, kdy distributor elektrické energie monitoruje dodržování povolených úrovní napěťových harmonických v připojovacím bodě TNS 25kV, 50Hz, je nutné zamezit instalaci těchto přístrojových transformátorů napětí do rozvoden 110kV, TNS 25kV, 50Hz.

Vzhledem k tomu, že ve sledovaném frekvenčním pásmu do 5kHz je frekvenční závislost chyby převodu a úhlu zcela zřejmá a chyba převodu a úhlu je nepřípustně vysoká, nebude v kapitole 5 v programu PSpice simulací dále prokazována nevhodnost použití těchto přístrojových transformátorů napětí k měření na vyšších napěťových harmonických.

### 5. Simulace frekvenční závislosti chyby převodu a úhlu přístrojového induktivního transformátoru napětí v rozvodně 110kV TNS 25kV, 50Hz

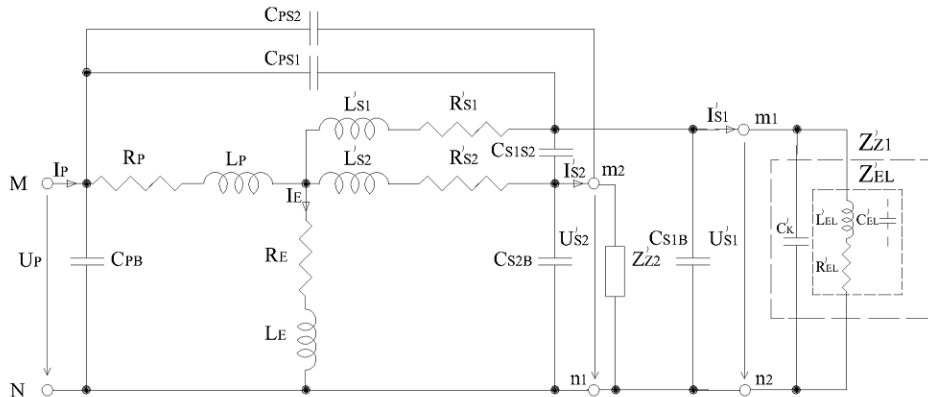
#### 5.1. Náhradní schéma přístrojového induktivního transformátoru napětí

Zjednodušená (sériové řazení  $R_E$ ,  $L_E$  popř.  $R_{E,f}$ ,  $L_{E,f}$ ) náhradní schémata přístrojového induktivního transformátoru napětí platná pro frekvence do 5kHz, která budou použita pro simulace v PSpice, jsou na obrázku 5.1. a 5.2.

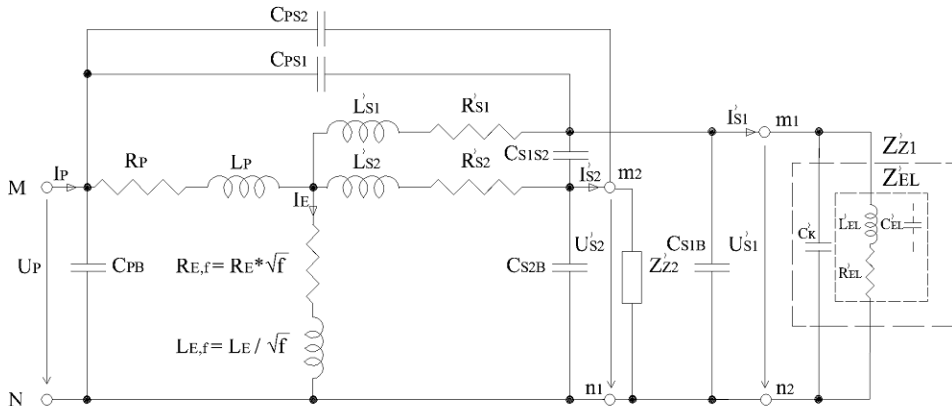
Přičemž obrázek 5.1 nerespektuje frekvenční závislost prvků  $R_E$  a  $L_E$  v souladu se závěry zdroje [25] a obrázek 5.2 respektuje frekvenční závislost prvků  $R_{E,f}$   $L_{E,f}$  v souladu se závěry zdroje [18,19].

Důvody použití obou náhradních schémat pro výzkum frekvenční závislosti chyby převodu a úhlu přístrojového induktivního transformátoru napětí do 100-té harmonické jsou popsány v kapitole 4.4.

Frekvenční závislost prvků náhradního schématu  $R_{E,f}$   $L_{E,f}$  se předpokládá podle rovnice 4.8. Obě náhradní schémata budou předmětem výzkumu frekvenční závislosti chyby převodu a úhlu do 100-té harmonické, přičemž získané průběhy frekvenční závislosti chyby převodu a úhlu budou řazeny pod sebe.



*Obrázek 5.1 - Zjednodušené (sériové řazení  $R_E$  a  $L_E$ ) náhradní schéma přístrojového induktivního transformátoru napětí s dvěma sekundárními vinutími, platné pro frekvence do 5kHz (100-tá harmonická) – prvky  $L_E$ ,  $R_E$  frekvenčně nezávislé [25]*



*Obrázek 5.2 - Zjednodušené (sériové řazení  $R_E$  a  $L_E$ ) náhradní schéma přístrojového induktivního transformátoru napětí s dvěma sekundárními vinutími, platné pro frekvence do 5kHz (100-tá harmonická) – prvky  $L_{E,f}$   $R_{E,f}$  frekvenčně závislé [18,25]*

Jelikož zdroj [25] hodnoty náhradních prvků měřil na straně 110kV není nutné hodnoty změřené na sekundární straně dále přepočítávat (vyjma přidaného břemene) a lze tedy do náhradního schématu doplnit hodnoty odvozené v *tabulce 4.1, 4.2 a 4.3*.

## 5.2. Hodnoty prvků náhradního schématu

Hodnoty prvků náhradního schématu byly získány měřením nakrátko a naprázdno na přístrojovém transformátoru s izolačním napětím 123kV používaném v rozvodnách 110kV, TNS 25kV, 50Hz. Kapacity mezi vinutími a mezi vinutími a zemí byly stanoveny měřením a kapacity v náhradním schématu pak z nich byly vypočítané (viz *kapitola 4.4.2.2*).

Prvky náhradního schématu bylo změřeny a odvozeny pro přístrojový induktivní transformátor napětí: Typ EMFC 145

Izolační napětí 145kV

Převod  $110000/\sqrt{3} // 100/\sqrt{3}, 100/\sqrt{3}$  V

Sekundární vinutí 1 – měření

Sekundární vinutí 2 – jištění

Hodnoty prvků náhradního schématu přístrojového induktivního transformátoru napětí typu EMFC 145:

➤ $C_{PB}$	kapacita mezi primárním vinutím (P) a kostrou (B)	0,4144 [nF]
➤ $C_{PS1}$	kapacita mezi primárním vinutím (P) a prvním sekundárním vinutí (S1)	0,5371 [nF]
➤ $C_{PS2}$	kapacita mezi primárním vinutím (P) a druhým sekundárním vinutí (S2)	0,5371 [nF]
➤ $C_{S1B}$	kapacita mezi prvním sekundárním vinutím (S1) a kostrou (B)	0,1121 [nF]
➤ $C_{S2B}$	kapacita mezi druhým sekundárním vinutím (S2) a kostrou (B)	0,1121 [nF]
➤ $C_{S1S2}$	kapacita mezi prvním sekundárním vinutím (S1) a druhým (S2) sekundárním vinutí	2,4754 [nF]
➤ $R_P$	činný odpor primárního vinutí	1,7333 [ $k\Omega$ ]
➤ $L_P$	rozptylová indukčnost primárního vinutí	2,8170 [H]
➤ $R_E$	odpor reprezentující ztráty hysterezní a vřivé ve spojce frekvenčně nezávislý prvek [25]	29,2167 [ $k\Omega$ ]
➤ $L_E$	magnetizační indukčnost spojky a jádra frekvenčně nezávislý prvek [25] [H]	77,3327 [H]
➤ $L'_{S1}$	rozptylová indukčnost prvního sekundárního vinutí přepočítaná na primární stranu	0,313 [H]
➤ $R'_{S1}$	činný odpor prvního sekundárního vinutí přepočítaný na primární stranu	192,59 [ $\Omega$ ]
➤ $L'_{S2}$	rozptylová indukčnost druhého sekundárního vinutí přepočítaná na primární stranu	0,313 [H]
➤ $R'_{S2}$	činný odpor druhého sekundárního vinutí přepočítaný	

	na primární stranu	192,59 [Ω]
➤ $Z_{z1}'$	vnější břemeno sekundárního vinutí pro měření přístr. transformátoru napětí přepočítané na primární stranu	1 [TΩ]
➤ $Z_{z2}'$	vnější břemeno sekundárního vinutí pro jištění přístr. transformátoru napětí přepočítané na primární stranu	1 [TΩ]

Jelikož cílem práce je zkoumat frekvenční závislost chyby převodu a úhlu pro přístrojové induktivní transformátory napětí v rozvodnách 110kV TNS 25kV, 50Hz různých typů, je nutné hodnoty jednotlivých prvků měnit v rozmezí hodnot  $\pm 40\%$ , aby byly pokryty odchylky hodnot prvků různých typů přístrojových induktivních transformátorů napětí používaných v rozvodnách 110kV TNS 25kV, 50Hz. Při změně hodnot prvků náhradního schématu v tomto rozmezí bude zároveň zřejmě jaký vliv má měnící se hodnota náhradního prvku na změnu frekvenční závislosti chyby převodu a úhlu přístrojového induktivního transformátoru napětí.

### 5.3. Kontrola hodnot kapacit mezi vinutími a mezi vinutími a kostrou

Chybu převodu a úhlu přístrojového induktivního transformátoru napětí na vyšších frekvencích ovlivňují kapacity mezi vinutími a mezi vinutími a kostrou. Zdroj [29] uvádí, že při studování chyby převodu a úhlu na frekvencích vyšších než 80kHz je možné přístrojový induktivní transformátor napětí nahradit pouze těmito kapacitami. Zdroj [25] také uvažuje, že na vyšších frekvencích je možné v náhradním schématu ponechat pouze tyto kapacity (viz. *obrázek 4.13*).

Jelikož tyto kapacity nelze měřit přímo, odvodil je zdroj [25] z kapacit měřených Gauss-Seidelovu metodu, kterou řeší složité soustavy rovnic viz. *rovnice 4.10*.

Za pomocí simulačního programu PSpice lze provést jednoduchou kontrolu, že výpočet kapacit v náhradním schématu byl proveden z měřených kapacit proveden správně.

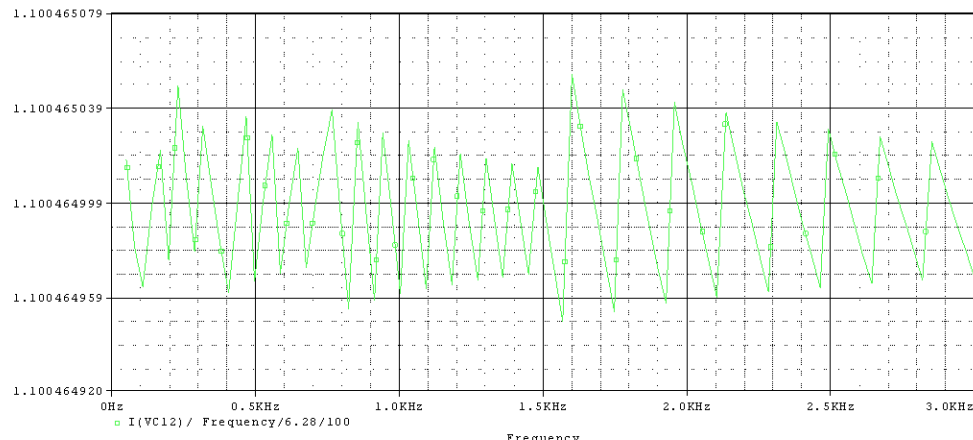
V polygonu kapacit na *obrázku 4.14* se zvolí dva libovolné uzly, ke kterým je připojena kapacita s hodnotou vypočtenou (v případě  $C_{PS1}$  uzel 1,2). Mezi tyto uzly se připojí zdroj napětí 100V DC.

Vytvoří se zdrojový program v PSpice, který obsahuje hodnoty kapacit spočítaných (např. pro  $C_{PS1}$ ). Kapacita měřená ( $C_{12}$ ) se pak zobrazí v PSpice po zadání vzorce:

$$C = \frac{I}{\omega \cdot U} \quad [F] \quad (5.1)$$

a odečtená hodnota by měla odpovídat hodnotě kapacity měřené v *tabulce 4.4* ( $C_{12} = 1,1\text{nF}$ ).

Na *obrázku 5.3* je graf zobrazující výsledek *rovnice (5.1)*, který dokládá, že vypočtená hodnota kapacity  $C_{PS1}$  byla ze soustavy 6 rovnic řešených Gauss-Seidelovou iterační metodou odvozena správně. V *příloze 1* jsou pak na *obrázkách P-1.1-1.5* uvedeny grafy zbyvajících vypočtených kapacit.



*Obrázek 5.3* - Prověření odvození hodnoty  $C_{PS1}$  z měřené hodnoty  $C_{12}$

## 5.4. Výzkum vlivu změny hodnot prvků náhradního schématu na frekvenční závislost chyby převodu a úhlu

Pro výzkum vlivu změny hodnoty prvku náhradního schématu na změnu frekvenční závislosti chyby převodu a úhlu je uvažováno vnější břemeno  $Z'_{Z1}$  a  $Z'_{Z2}$  o hodnotě  $1T\Omega$ , což vytváří požadovanou stejnosměrnou cestu k uzlu 0 a zároveň odpovídá hodnotám činných odporů měřících a jistících přístrojů.

### 5.4.1. Vliv změny hodnoty prvku $L_P$ na frekvenční závislost chyby převodu a úhlu

V souladu s *kapitolou 5.1* budeme měnit hodnotu prvku  $L_P$  v náhradním schématu na *obrázku 5.1* a *5.2* a budeme sledovat změnu frekvenční závislosti chyby převodu a úhlu při uvažování frekvenční závislosti prvků  $R_{E,f}$ ,  $L_{E,f}$  a bez uvažování frekvenční závislosti prvků  $R_E$  a  $L_E$ .

Na *obrázku 5.4 až 5.7* jsou grafy frekvenční závislosti převodu přístrojového induktivního transformátoru napětí při proměnné frekvenci (pokud bylo sledované frekvenční pásmo do 5kHz zkráceno je to z důvodu neproměnnosti chyby převodu v tomto intervalu), proměnné hodnotě  $L_P$  (v mezích -40% až +40%) takto:

- červená křivka odpovídá frekvenční závislosti chyby převodu PTN při hodnotě  $L_P = 2,817 H^*$ ,
- modrá křivka odpovídá frekvenční závislosti chyby převodu PTN při hodnotě

$$L_P +40\%*,$$

- zelená křivka odpovídá frekvenční závislosti chyby převodu PTN při hodnotě  
 $L_P - 40\%*$ .

\* U ostatních grafů frekvenční závislosti chyby převodu v této kapitole bude dodržen stejný postup barevného značení průběhu frekvenční závislosti.

Na **obrázku 5.8 až 5.11** jsou grafy frekvenční závislosti chyby úhlu přístrojového induktivního transformátoru napětí při proměnné frekvenci, proměnné hodnotě  $L_P$  (v mezích -40% až +40%) takto:

- červená křivka odpovídá frekvenční závislosti chyby úhlu PTN při hodnotě

$$L_P = 2,817 \text{ H}^*,$$

- modrá křivka odpovídá frekvenční závislosti chyby úhlu PTN při hodnotě

$$L_P -40\%*,$$

- zelená křivka odpovídá frekvenční závislosti chyby úhlu PTN při hodnotě

$$L_P + 40\%*.$$

\* U ostatních grafů frekvenční závislosti chyby úhlu v této kapitole bude dodržen stejný postup barevného značení průběhu frekvenční závislosti

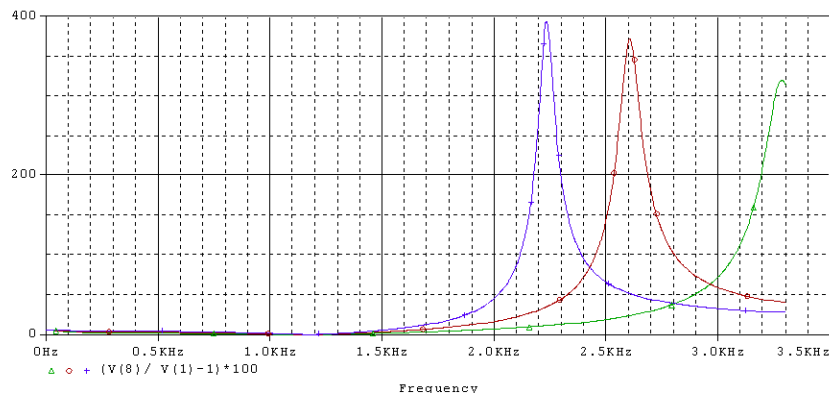
### Dílčí závěr

Změna hodnoty prvku  $L_P$  má největší vliv ve sledované frekvenční oblasti na změnu frekvenční závislosti chyby převodu a úhlu v celém náhradním schématu, což je zřejmé z **obrázku 5.4 a 5.5** (převod) a **obrázku 5.8 a 5.9** (úhel). S rostoucí frekvencí klesá hodnota  $L_P$  u frekvenčně závislé magnetizační větvě (viz **rovnice 4.8**). Nejvyšší hodnotě prvku  $L_P$  odpovídá nejnižší frekvenční závislost chyby převodu a úhlu. S klesající hodnotou  $L_P$  výrazně stoupá frekvenční závislost chyby převodu a úhlu.

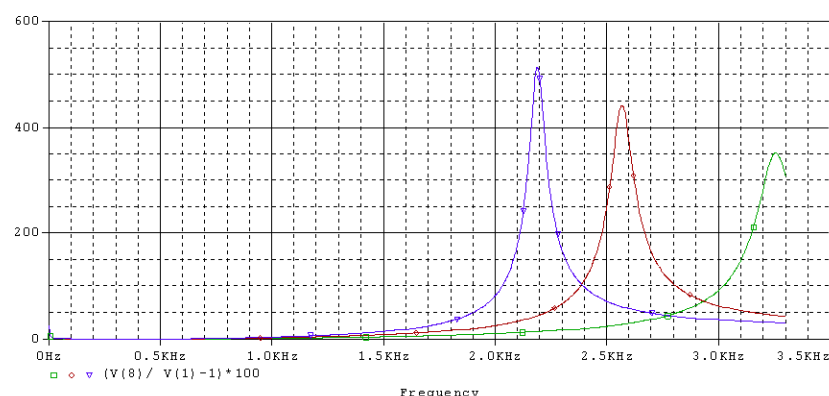
Z detailních obrázku vlivu změny hodnoty  $L_P$  na změnu frekvenční závislosti chyby převodu je zřejmé, že frekvenční závislost chyby převodu nejdříve klesá k nule, pak ale strmě narůstá. Negativně se na chybě převodu jistě projeví uvažování frekvenční závislosti magnetizační větvě, protože posouvá minimum frekvenční závislosti do okolí 500Hz a pak následuje nárůst frekvenční závislosti chyby převodu.

Z **obrázku 5.8 a 5.9** je zřejmé, že vliv změny hodnoty prvku  $L_P$  má výrazný vliv na frekvenční závislost chyby úhlu.

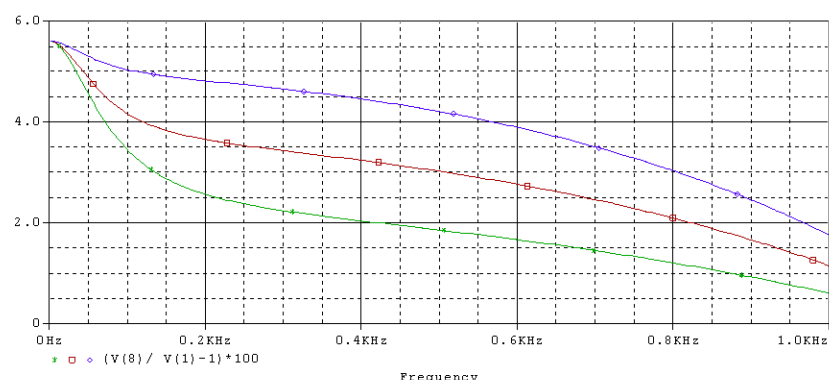
Dosažení co nejvyšší hodnoty  $L_P$  je předpoklad k snížení nepřípustně vysoké frekvenční závislosti chyby převodu a úhlu přístrojového induktivního transformátoru napětí (PTN).



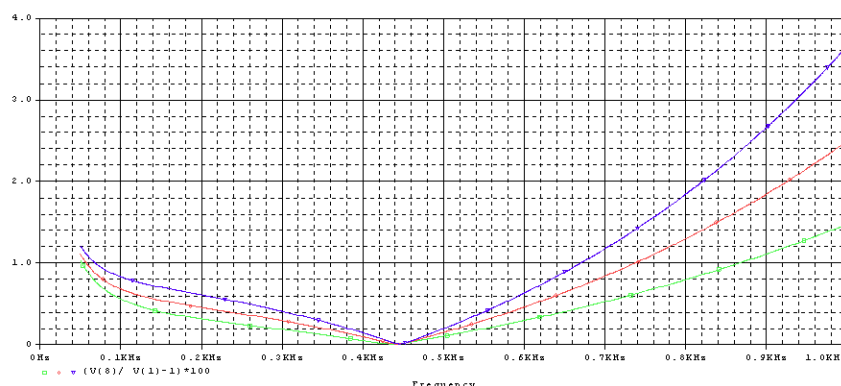
**Obr. 5.4** – Frekvenční závislost chyby převodu PTN, změna  $L_P$ ,  $L_E$  a  $R_E$  frekv. nezávislé



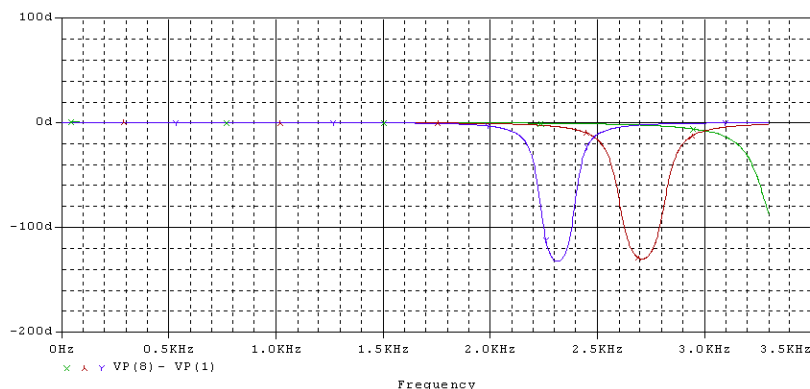
**Obr. 5.5** – Frekvenční závislost chyby převodu PTN, změna  $L_P$ ,  $L_E$  a  $R_E$  frekv. závislé



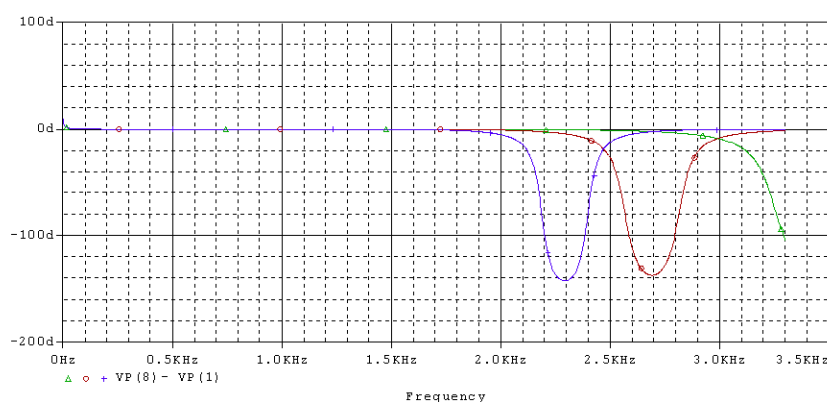
**Obr. 5.6** – Frekvenční závislost chyby převodu PTN, změna  $L_P$ ,  $L_E$  a  $R_E$  frekv. nezávislé (detail)



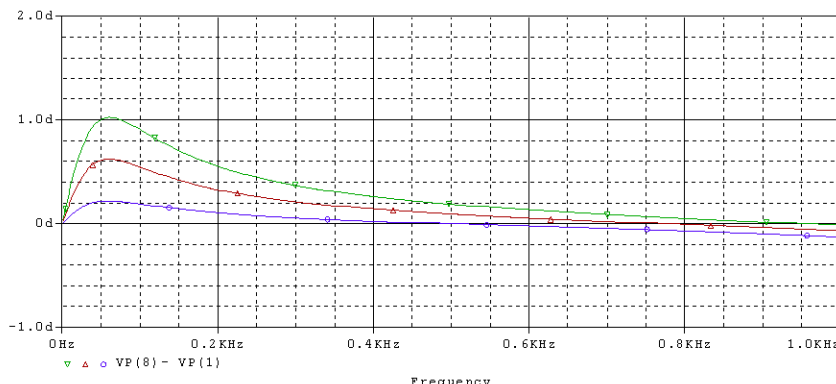
**Obr. 5.7** – Frekvenční závislost chyby převodu PTN, změna  $L_P$ ,  $L_E$  a  $R_E$  frekv. závislé (detail)



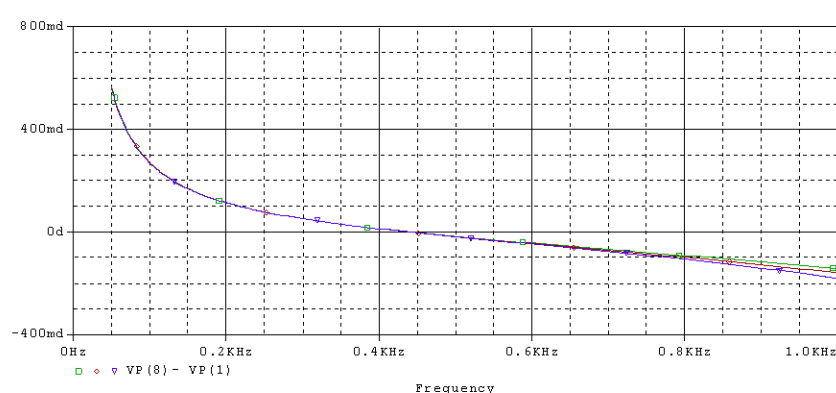
**Obr. 5.8** – Frekvenční závislost chyby úhlu PTN, změna  $L_P$ ,  $L_E$  a  $R_E$  frekvenčně nezávislé



**Obr. 5.9** – Frekvenční závislost chyby úhlu PTN, změna  $L_P$ ,  $L_E$  a  $R_E$  frekvenčně závislé



**Obr. 5.10** – Frekvenční závislost chyby úhlu PTN, změna  $L_P$ ,  $L_E$  a  $R_E$  frekv. nezávislé (detail)



**Obr. 5.11** – Frekvenční závislost chyby úhlu PTN, změna  $L_P$ ,  $L_E$  a  $R_E$  frekv. závislé (detail)

#### 5.4.2. Vliv změny hodnoty prvku $R_P$ na frekvenční závislost chyby převodu a úhlu

V souladu s *kapitolou 5.1* budeme měnit hodnotu prvku  $R_P$  v náhradním schématu na *obrázku 5.1 a 5.2*. Simulace budou provedeny při uvažování frekvenční závislosti prvků  $R_{E,f}$ ,  $L_{E,f}$  a bez uvažování frekvenční závislosti  $R_E$  a  $L_E$ .

V *příloze 2* jsou na obrázku *P-2.3* až *P-2.6* grafy frekvenční závislosti převodu přístrojového transformátoru napětí při proměnné frekvenci (pokud bylo sledované frekvenční pásmo do 5kHz zkráceno je to z důvodu neproměnnosti chyby převodu v tomto intervalu) a proměnné hodnotě  $R_P$  v mezích -40% až +40%.

Na *obrázku P-2.7* až *P-2.10* jsou grafy frekvenční závislosti chyby úhlu přístrojového transformátoru napětí při proměnné frekvenci, proměnné hodnotě prvku  $R_P$  (v mezích -40% až +40%).

#### Dílčí závěr

Změna hodnoty  $R_P$  má významný vliv ve sledované frekvenční oblasti na změnu frekvenční závislosti chyby převodu a úhlu, ale pouze ve frekvenčním pásmu od 2,6 do 2,8kHz. S rostoucí frekvencí stoupá hodnota  $R_P$ . Nejvyšší hodnotě prvku  $R_P$  odpovídá nejvyšší frekvenční závislost chyby převodu a úhlu. S klesající hodnotou  $R_P$  výrazně klesá frekvenční závislost chyby převodu a úhlu.

Ve frekvenčním pásmu mimo interval 2,6 - 2,8kHz nemá změna hodnoty  $R_P$  výrazný vliv na změnu frekvenční závislosti chyby převodu a úhlu.

#### 5.4.3. Vliv změny hodnoty prvku $R_{S1}$ ( $R_{S2}$ ) na frekvenční závislost chyby převodu a úhlu

V souladu s *kapitolou 5.1* budeme měnit hodnotu  $R_{S1}$  ( $R_{S2}$ ) v náhradním schématu na *obrázku 5.1 a 5.2*, tedy při uvažování frekvenční závislosti prvků  $R_{E,f}$   $L_{E,f}$  a bez uvažování frekvenční závislosti prvků  $R_E$  a  $L_E$ .

V *příloze 2* jsou na obrázku *P-2.11* až *P-2.14* grafy frekvenční závislosti chyby převodu přístrojového induktivního transformátoru napětí při proměnné frekvenci (pokud bylo sledované frekvenční pásmo do 5kHz zkráceno je to z důvodu neproměnnosti chyby převodu v tomto intervalu), proměnné hodnotě  $R_{S1}$  ( $R_{S2}$ ) (v mezích -40% až +40%).

Na *obrázku P-2.15* až *P-2.18* jsou grafy frekvenční závislosti chyby úhlu přístrojového induktivního transformátoru napětí při proměnné frekvenci, proměnné hodnotě  $R_{S1}$  ( $R_{S2}$ ) (v mezích -40% až +40%).

**Dílčí závěr**

Změna hodnoty prvku  $R_{S1}$  ( $R_{S2}$ ) nemá vliv na změnu frekvenční závislosti chyby převodu a úhlu ve sledované frekvenční oblasti.

**5.4.4. Vliv změny hodnoty prvku  $L_{S1}$  ( $L_{S2}$ ) na frekvenční závislost chyby převodu a úhlu**

V souladu s *kapitolou 5.1* budeme měnit hodnotu prvku  $L_{S1}$  ( $L_{S2}$ ) v náhradním schématu na *obrázku 5.1 a 5.2*, tedy při uvažování frekvenční závislosti prvků  $R_{E,f}$   $L_{E,f}$  a bez uvažování frekvenční závislosti prvků  $R_E$  a  $L_E$ .

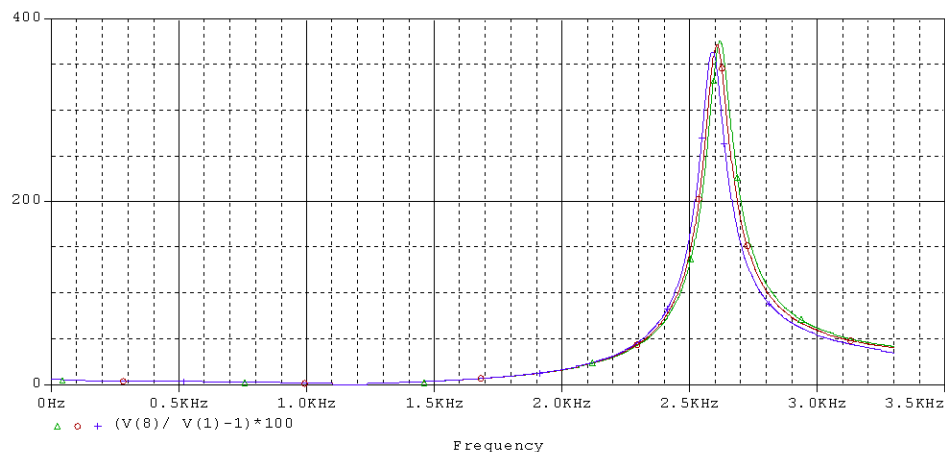
Na *obrázku 5.12* až *5.15* jsou grafy frekvenční závislosti chyby převodu přístrojového induktivního transformátoru napětí při proměnné frekvenci (pokud bylo sledované frekvenční pásmo do 5kHz zkráceno je to z důvodu neproměnnosti chyby převodu v tomto intervalu), proměnné hodnotě  $L_{S1}$  ( $L_{S2}$ ) (v mezích -40% až +40%) .

Na *obrázku 5.15* až *5.19* jsou grafy frekvenční závislosti chyby úhlu přístrojového induktivního transformátoru napětí při proměnné frekvenci, proměnné hodnotě prvku  $L_{S1}$  ( $L_{S2}$ ) (v mezích -40% až +40%).

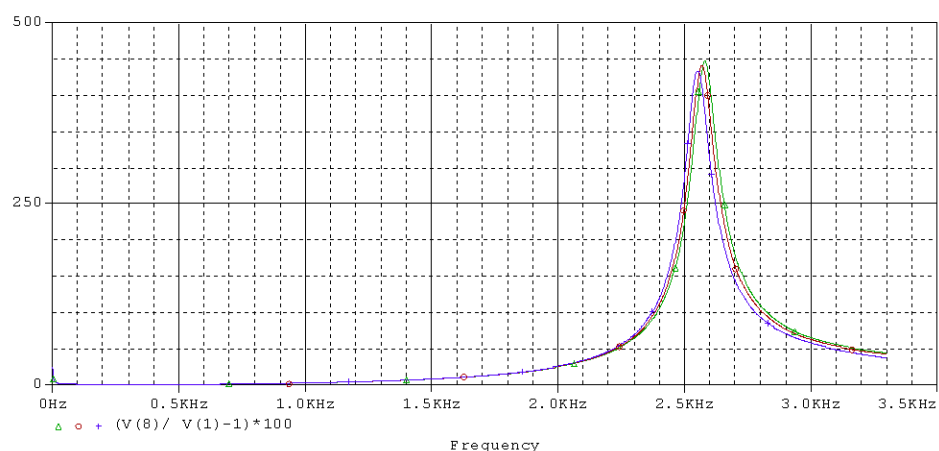
**Dílčí závěr**

Se zvyšující se frekvencí klesá hodnota prvku  $L_{S1}$  ( $L_{S2}$ ). Změna hodnoty prvku  $L_{S1}$  ( $L_{S2}$ ) ovlivňuje frekvenční závislost chyby převodu a úhlu, což je zřejmé z *obrázků 5.12 a 5.13* (chyba převodu) a *obrázků 5.16 a 5.17* (chyba úhlu).

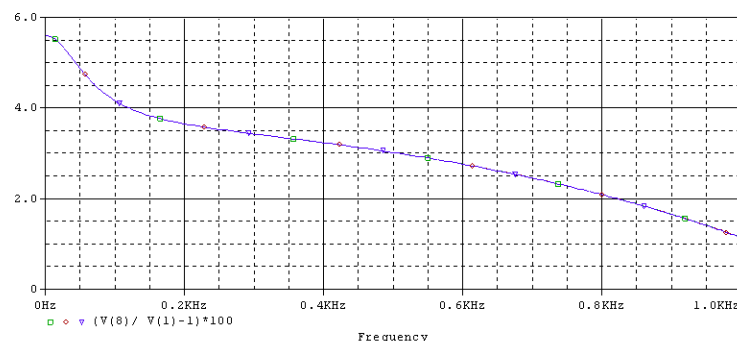
Změna hodnoty prvku  $L_{S1}$  ( $L_{S2}$ ) má vliv ve sledované frekvenční oblasti na změnu frekvenční závislosti chyby převodu a úhlu zejména v okolí frekvence 2,6kHz. Mimo okolí této frekvence změna hodnoty  $L_{S1}$  ( $L_{S2}$ ) nemá ve frekvenční oblasti do 5kHz vliv na změnu frekvenční závislosti chyby převodu a úhlu, což je zřejmé z *obrázku 5.14 a 5.15* (chyba převodu) a *obrázků 5.18 a 5.19* (chyba úhlu).



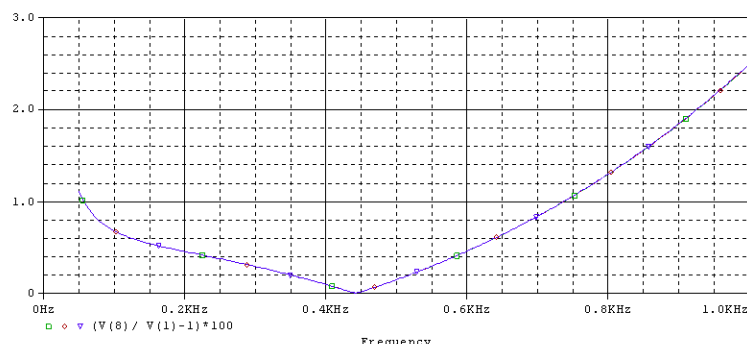
Obr. 5.12 - Frekvenční závislost chyby převodu PTN, změna  $L_{S1}$  ( $L_{S2}$ ),  $L_E$  a  $R_E$  fr. nezávislé



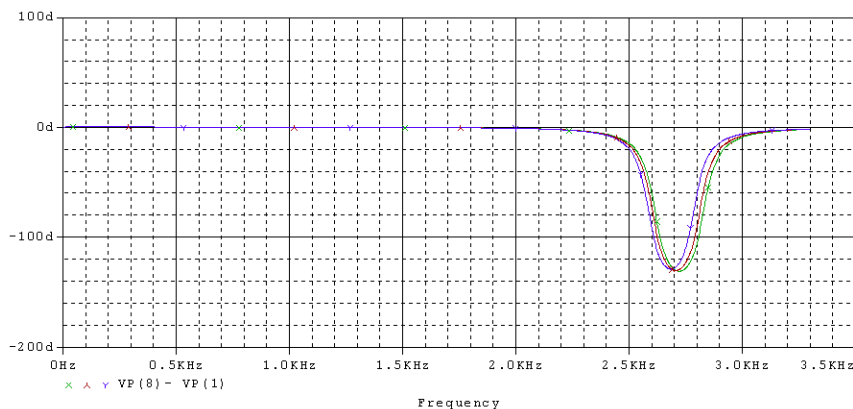
Obr. 5.13 - Frekvenční závislost chyby převodu PTN, změna  $L_{S1}$  ( $L_{S2}$ ),  $L_E$  a  $R_E$  fr. závislé



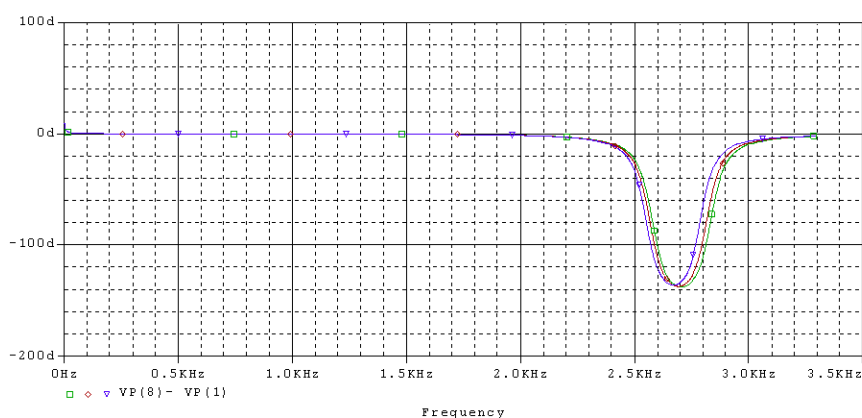
Obr. 5.14 - Frekvenční závislost chyby převodu PTN, změna  $L_{S1}$  ( $L_{S2}$ ),  $L_E$  a  $R_E$  fr. nez. (detail)



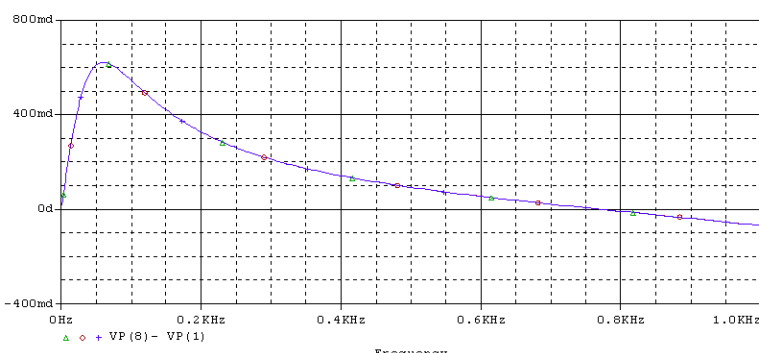
Obr. 5.15 - Frekvenční závislost chyby převodu PTN, změna  $L_{S1}$  ( $L_{S2}$ ),  $L_E$  a  $R_E$  fr. nez. (detail)



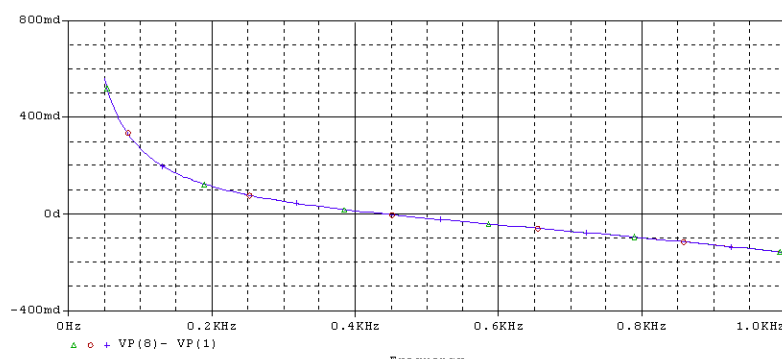
**Obr. 5.16** - Frekvenční závislost chyby úhlu PTN, změna  $L_{S1}$  ( $L_{S2}$ ),  $L_E$  a  $R_E$  frekv. nezávislé



**Obr. 5.17** - Frekvenční závislost chyby úhlu PTN, změna  $L_{S1}$  ( $L_{S2}$ ),  $L_E$  a  $R_E$  frekvenčně závislé



**Obr. 5.18** - Frekvenční závislost chyby úhlu PTN, změna  $L_{S1}$  ( $L_{S2}$ ),  $L_E$  a  $R_E$  fr. nezávislé (detail)



**Obr. 5.19** - Frekvenční závislost chyby úhlu PTN, změna  $L_{S1}$  ( $L_{S2}$ ),  $L_E$  a  $R_E$  fr. závislé (detail)

#### 5.4.5. Vliv změny hodnoty prvku $C_{PB}$ na frekvenční závislost chyby převodu a úhlu

V souladu s *kapitolou 5.1* budeme měnit hodnotu prvku  $C_{PB}$  v náhradním schématu na *obrázku 5.1 a 5.2*, tedy při uvažování frekvenční závislosti prvků  $R_{E,f}$   $L_{E,f}$  a bez uvažování frekvenční závislosti prvků  $R_E$  a  $L_E$ .

Na *obrázku P-2.19* až *P-2.22* jsou grafy frekvenční závislosti chyby převodu přístrojového induktivního transformátoru napětí při proměnné frekvenci (pokud bylo sledované frekvenční pásmo do 5kHz zkráceno je to z důvodu neproměnnosti chyby převodu v tomto intervalu), proměnné hodnotě  $C_{PB}$  (v mezích -40% až +40% ).

Na *obrázku P-2.23* až *P-2.26* jsou grafy frekvenční závislosti chyby úhlu přístrojového induktivního transformátoru napětí při proměnné frekvenci, proměnné hodnotě  $C_{PB}$  (v mezích -40% až +40%).

#### Dílčí závěr

Změna hodnoty prvku  $C_{PB}$  nemá vliv na změnu frekvenční závislosti chyby převodu a úhlu ve sledované frekvenční oblasti

#### 5.4.6. Vliv změny hodnoty prvku $C_{PS1}$ ( $C_{PS2}$ ) na frekvenční závislost chyby převodu a úhlu

V souladu s *kapitolou 5.1* budeme měnit hodnotu prvku  $C_{PS1}$  v náhradním schématu na *obrázku 5.1 a 5.2*, tedy při uvažování frekvenční závislosti prvků  $R_{E,f}$   $L_{E,f}$  a bez uvažování frekvenční závislosti prvků  $R_E$  a  $L_E$ .

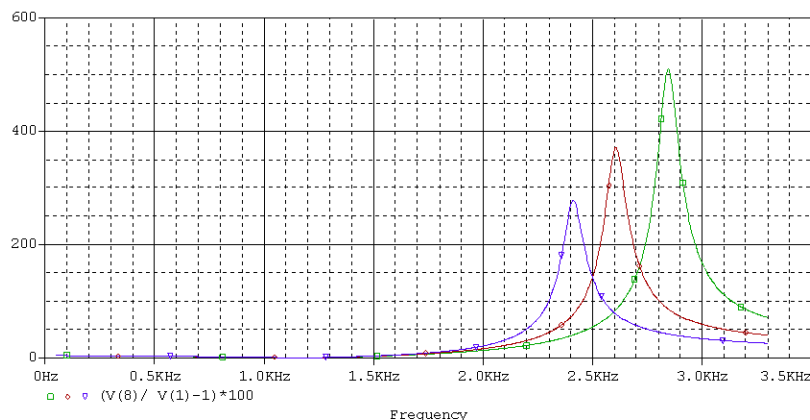
Na *obrázku 5.20* až *5.23* jsou grafy frekvenční závislosti chyby převodu přístrojového induktivního transformátoru napětí při proměnné frekvenci (pokud bylo sledované frekvenční pásmo do 5kHz zkráceno je to z důvodu neproměnnosti chyby převodu v tomto intervalu), proměnné hodnotě prvku  $C_{PS1}$  (v mezích -40% až +40% ).

Na *obrázku 5.24* až *5.27* jsou grafy frekvenční závislosti chyby úhlu přístrojového induktivního transformátoru napětí při proměnné frekvenci, proměnné hodnotě  $C_{PS1}$  (v mezích -40% až +40%).

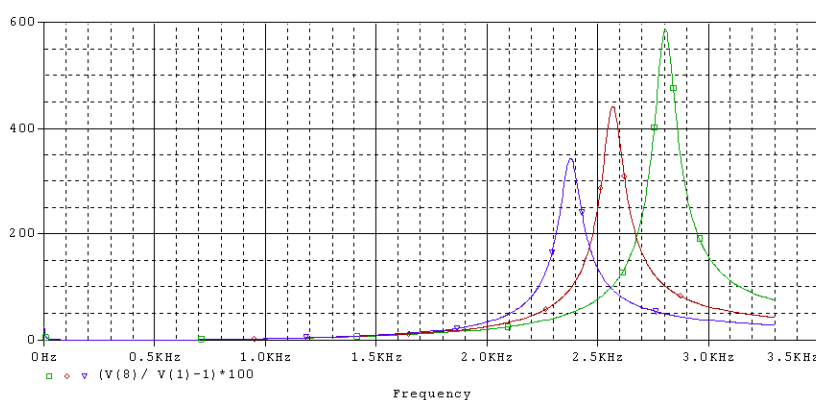
#### Dílčí závěr

Změna hodnoty prvku  $C_{PS1}$  ( $C_{PS2}$ ) má druhý největší vliv ve sledované frekvenční oblasti na změnu frekvenční závislosti chyby převodu a úhlu v celém náhradním schématu, což je zřejmé z *obrázku 5.20 a 5.21* (chyba převodu) a *5.24 a 5.25* (chyba úhlu).

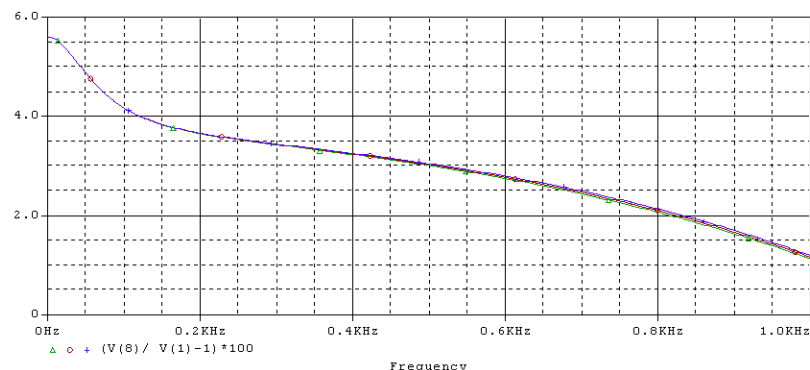
Ve frekvenční oblasti nad 2kHz má změna hodnoty prvku  $C_{PS1}$  ( $C_{PS2}$ ) výrazný vliv na změnu frekvenční závislosti chyby převodu a úhlu. Ve frekvenčním pásmu do 1kHz se vliv změny hodnoty  $C_{PS1}$  a  $C_{PS2}$  na změnu frekvenční závislosti chyby převodu a úhlu výrazně neprojevuje.



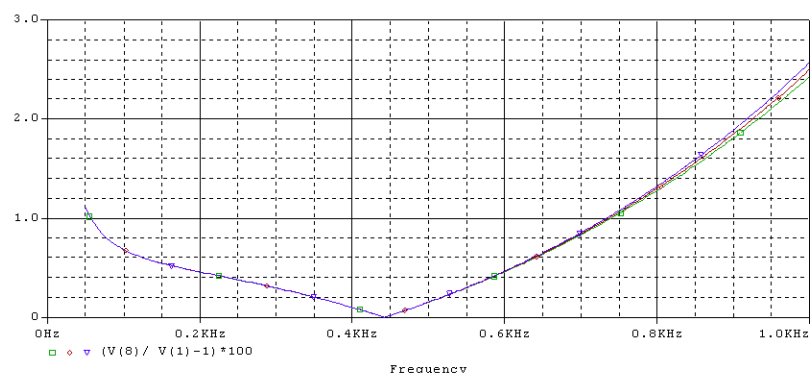
**Obr. 5.20** - Frekvenční závislost chyby převodu PTN, změna  $C_{PS1}$  ( $C_{PS2}$ ),  $L_E$  a  $R_E$  fr. nezávislé



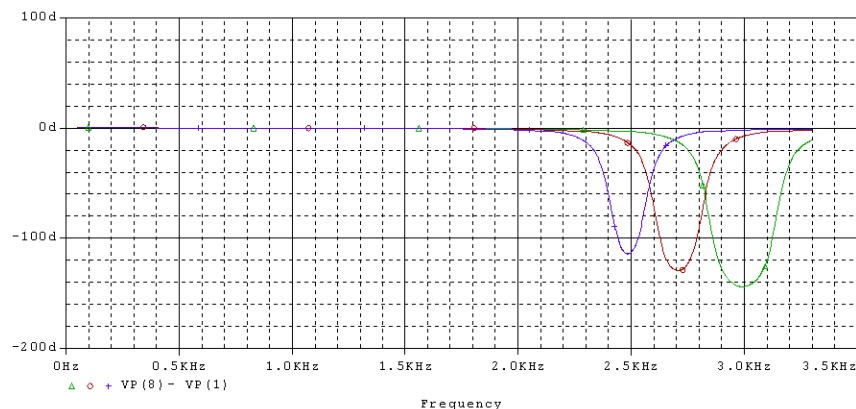
**Obr. 5.21** - Frekvenční závislost chyby převodu PTN, změna  $C_{PS1}$  ( $C_{PS2}$ ),  $L_E$  a  $R_E$  frekv. závislé



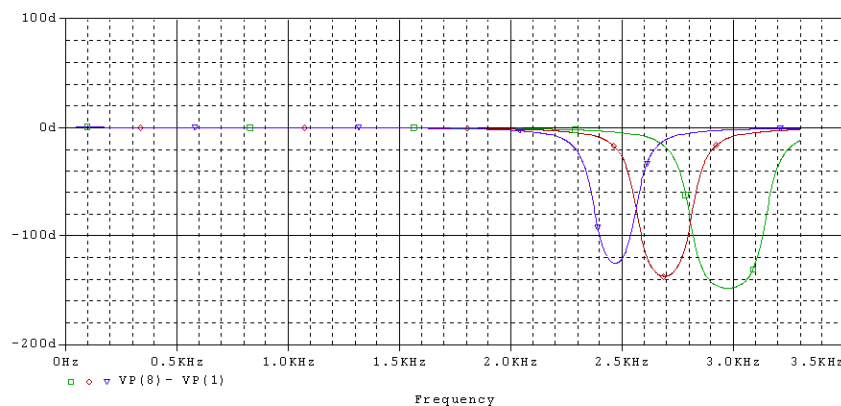
**Obr. 5.22** - Frekvenční závislost chyby převodu PTN, změna  $C_{PS1}$  ( $C_{PS2}$ ),  $L_E$  a  $R_E$  fr.nez. (detail)



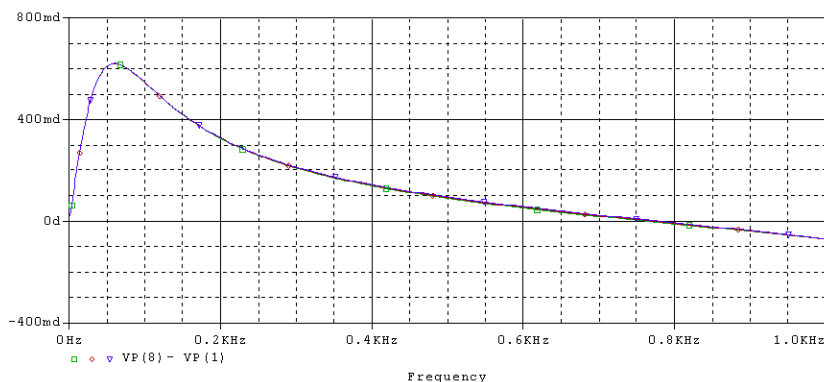
**Obr. 5.23** - Frekvenční závislost chyby převodu PTN, změna  $C_{PS1}$  ( $C_{PS2}$ ),  $L_E$  a  $R_E$  fr. záv. (detail)



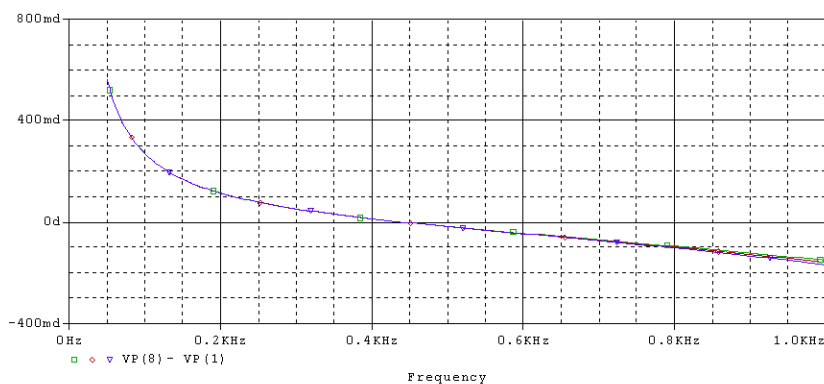
**Obr. 5.24** - Frekvenční závislost chyby úhlu PTN, změna  $C_{PS1}$  ( $C_{PS2}$ ),  $L_E$  a  $R_E$  frekv. nezávislé



**Obr. 5.25** - Frekvenční závislost chyby úhlu PTN, změna  $C_{PS1}$  ( $C_{PS2}$ ),  $L_E$  a  $R_E$  frekv. závislé



**Obr. 5.26** - Frekvenční závislost chyby úhlu PTN, změna  $C_{PS1}$  ( $C_{PS2}$ ),  $L_E$  a  $R_E$  fr. nez. (detail)



**Obr. 5.27** - Frekvenční závislost chyby úhlu PTN, změna  $C_{PS1}$  ( $C_{PS2}$ ),  $L_E$  a  $R_E$  fr. závislé (detail)

#### 5.4.7. Vliv změny hodnoty prvku $C_{S1S2}$ na frekvenční závislost chyby převodu a úhlu

V souladu s *kapitolou 5.1* budeme měnit hodnotu prvku  $C_{S1S2}$  v náhradním schématu na *obrázku 5.1 a 5.2*, tedy při uvažování frekvenční závislosti prvků  $R_{E,f}$   $L_{E,f}$  a bez uvažování frekvenční závislosti prvků  $R_E$  a  $L_E$ .

Na *obrázku P-2.27* až *P-2.30* jsou grafy frekvenční závislosti chyby převodu přístrojového induktivního transformátoru napětí při proměnné frekvenci (pokud bylo sledované frekvenční pásmo do 5kHz zkráceno je to z důvodu neproměnnosti chyby převodu v tomto intervalu), proměnné hodnotě prvku  $C_{S1S2}$  (v mezích -40% až +40%).

Na *obrázku P-2.31* až *P-2.34* jsou grafy frekvenční závislosti chyby úhlu přístrojového induktivního transformátoru napětí při proměnné frekvenci, proměnné hodnotě prvku  $C_{S1S2}$  v mezích (-40% až +40%).

#### Dílčí závěr

Změna hodnoty prvku  $C_{S1S2}$  nemá vliv na změnu frekvenční závislosti chyby převodu a úhlu ve sledované frekvenční oblasti

#### 5.5. Vliv reálného vnějšího břemene na frekvenční závislost chyby převodu a úhlu

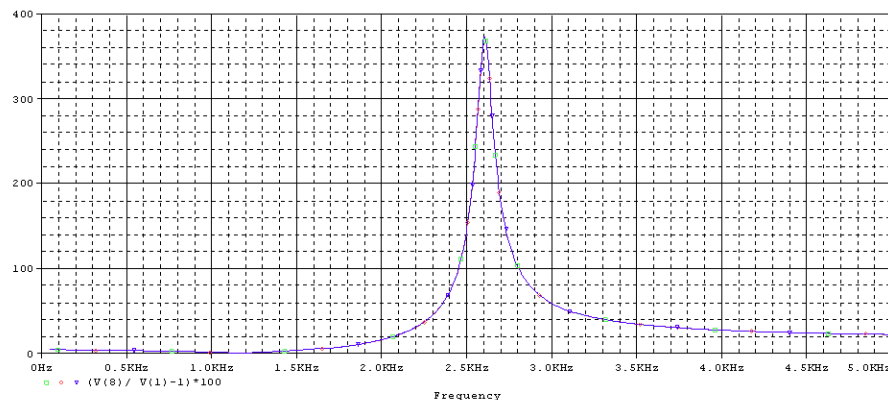
Vnější břemeno druhého sekundárního vinutí pro jištění bude mít nadále hodnotu  $1T\Omega$ . Vnější břemeno prvního sekundárního vinutí se skládá z paralelní kombinace parazitní kapacity  $C_{S1B}$ , kapacity přívodní kabeláže  $C_{KAB}$  (nutno přepočítat hodnotu kapacity na primární stranu podle *vzorce 4.1*) a impedance elektroměru (sériově řazené  $R_{EL}$  a  $L_{EL}$  nebo sériově řazené  $R_{EL}$  a  $C_{EL}$  - hodnoty nutno přepočítat na primární stranu podle *vzorce 4.1*).

Kapacita kabelu bude měněna  $0,5\mu F - 1 \mu F - 1,5 \mu F$  (nutno přepočítat hodnotu kapacity na primární stranu podle *vzorce 4.1*), což pokrývá většinu případů délky kabeláží mezi přístrojovým induktivním transformátorem a statickým elektroměrem v rozvodnách 110kV, TNS 25kV, 50Hz.

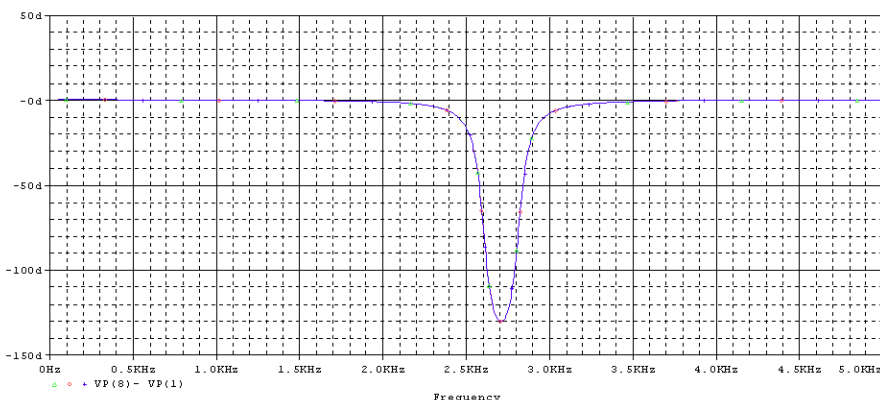
Pro výzkum vlivu vnějšího břemene na frekvenční závislost chyby převodu a úhlu použijeme statický elektroměr Moeller KWZ-3PH-xxx (viz *tabulka 4.2*), který představuje odporově-kapacitní zátěž ( $R_{EL} = 625\Omega$  a  $C_{EL} = 465nF$ ) a statický elektroměr Landys a Gyr ZMD 400AT/CT (viz *tabulka 4.2*), který představuje odporově-indukční zátěž ( $R_{EL} = 2930\Omega$  a  $L_{EL} = 20,6H$ ). Tyto hodnoty se přepočítají na prim. stranu podle *vzorce 4.1* včetně kapacity kabeláže.

#### Dílčí závěr

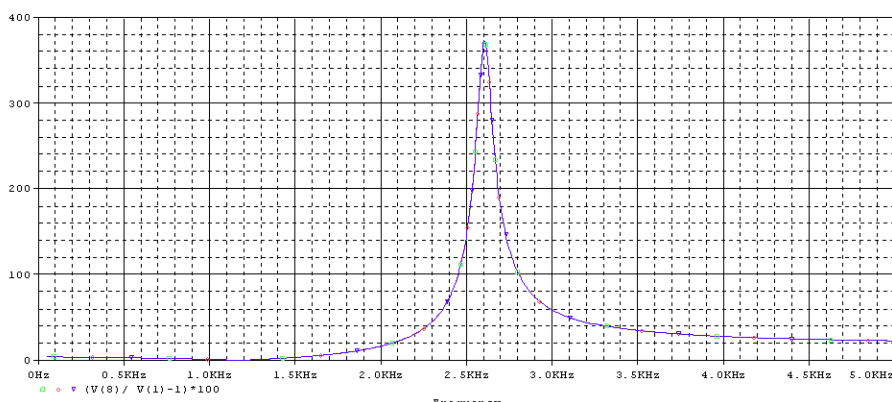
Statický elektroměr a k němu paralelně řazená kapacita kabeláže, jejíž hodnota je měněna v širokém rozsahu nemá vliv na změnu frekvenční závislosti chyby převodu a úhlu přístrojového induktivního transformátoru napětí.



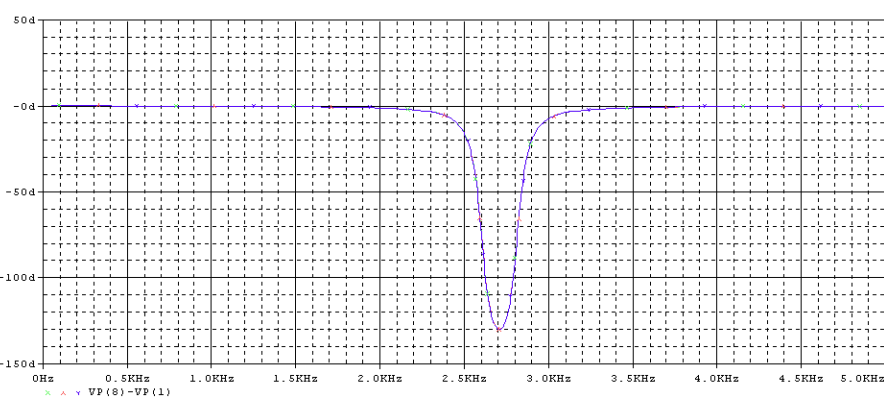
**Obrázek 5.28 –** Vliv vnějšího břemene (ZMD) na fr. závislost chyby převodu, při změně  $C_{KAB}$ .



**Obrázek 5.29 -** Vliv vnějšího břemene (ZMD) na fr. závislost chyby úhlu, při změně  $C_{KAB}$ .



**Obrázek 5.28 –** Vliv vnějšího břemene (KWZ) na fr. závislost chyby převodu, při změně  $C_{KAB}$



**Obrázek 5.29 -** Vliv vnějšího břemene (KWZ) na fr. závislost chyby úhlu, při změně  $C_{KAB}$ .

## 5.6. Frekvenční závislost chyby převodu a úhlu EMFC 145

Vliv změny hodnot prvků náhradního schématu na změnu frekvenční závislosti chyby převodu a úhlu je popsán v *kapitole 5.4.*

Na *obrázku 5.28 až 5.31* je frekvenční závislost chyby převodu přístrojového induktivního transformátoru napětí EMFC 145 po dosazení hodnot prvků náhradního schématu (viz. *kapitola 5.2*) při uvažování prvků  $R_E$ ,  $L_E$  frekvenčně nezávislých.

Na *obrázku 5.32 a 5.35* je frekvenční závislost chyby úhlu přístrojového induktivního transformátoru napětí EMFC 145 při uvažování prvků  $R_{E,f}$ ,  $L_{E,f}$  frekvenčně závislých.

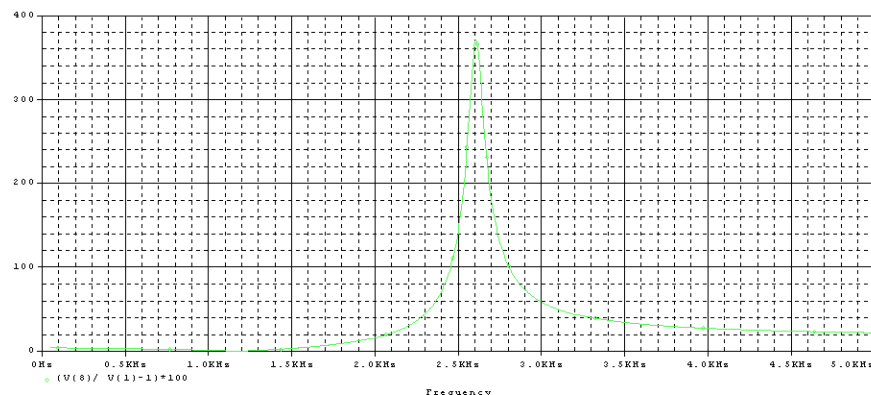
### Dílčí závěr

Z *obrázku 5.28 a 5.32* je zřejmé, že uvažování frekvenční závislosti prvků magnetizační větve má výrazný vliv na změnu frekvenční závislosti chyby převodu. Uvažování frekvenční závislosti prvků magnetizační větve zvyšuje maximum chyby převodu, ale také ho posouvá směrem k nižším frekvencím.

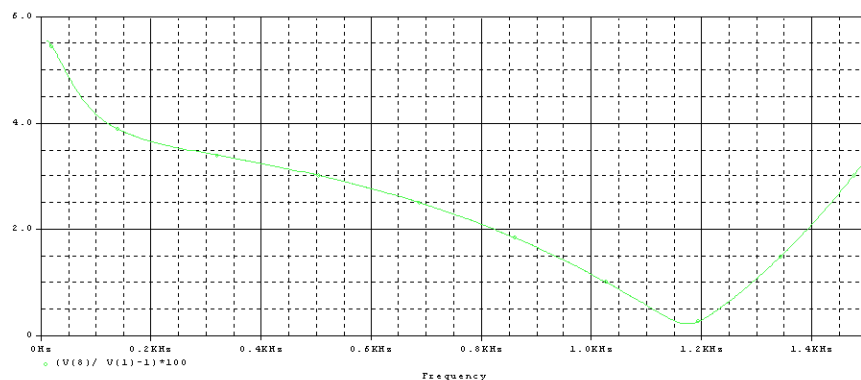
Z *obrázku 5.30 a 5.34* je zřejmé že uvažování frekvenční závislosti prvků magnetizační větve nemá výrazný vliv na změnu frekvenční závislosti chyby úhlu.

Z detailního *obrázku 5.29 a 5.33* je zřejmé, že uvažování frekvenční závislosti prvků magnetizační větve zapříčiní strmější nárůst chyby převodu, kdy chyba převodu překračuje 5% už od frekvence 1,3 kHz (viz *obrázek 5.33*).

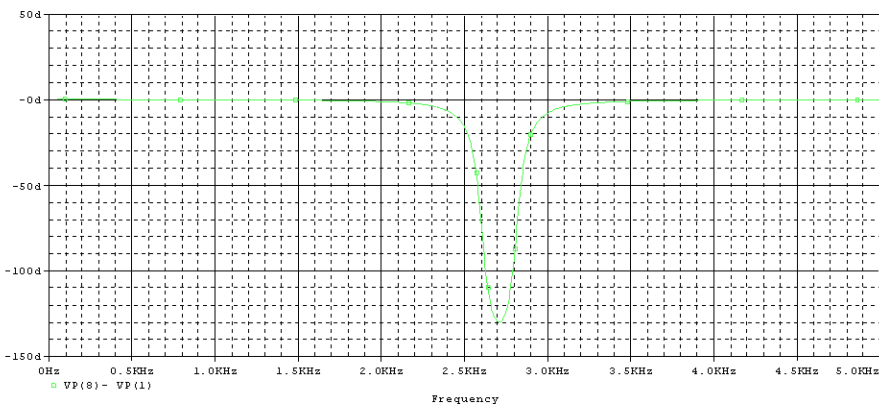
Z detailního *obrázku 5.31 a 5.35* je zřejmé, že uvažování frekvenční závislosti prvků magnetizační větve nemá výrazný vliv na změnu frekvenční závislosti chyby úhlu.



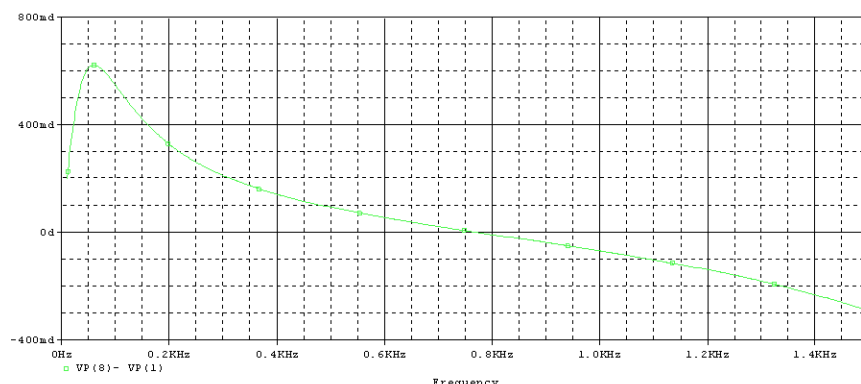
Obrázek 5.28 - Frekvenční závislost chyby převodu EMFC145, L<sub>E</sub>, R<sub>E</sub> frekv. nezávislé



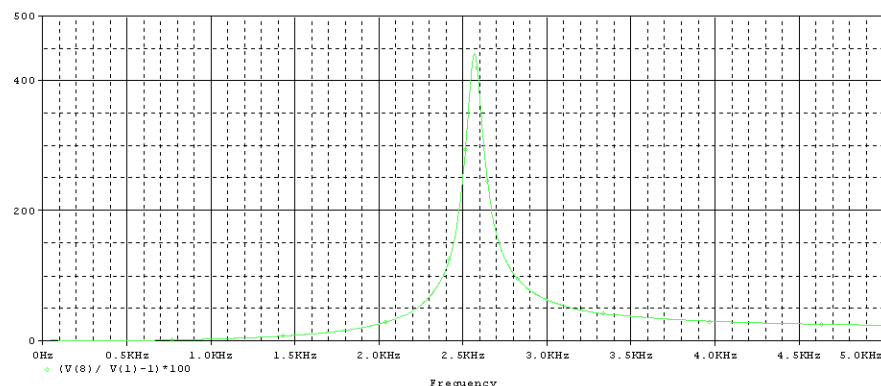
Obrázek 5.29 - Frekvenční závislost chyby převodu EMFC145, L<sub>E</sub>, R<sub>E</sub> frekv. nezávislé (detail)



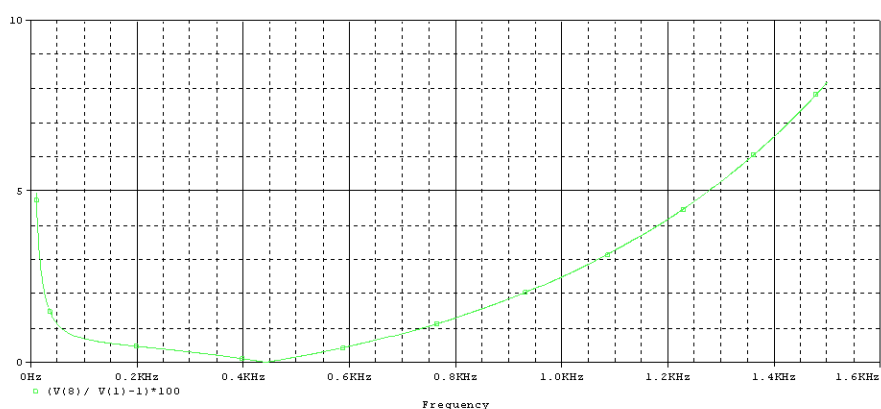
Obrázek 5.30 - Frekvenční závislost chyby úhlu EMFC145, L<sub>E</sub>, R<sub>E</sub> frekv. nezávislé



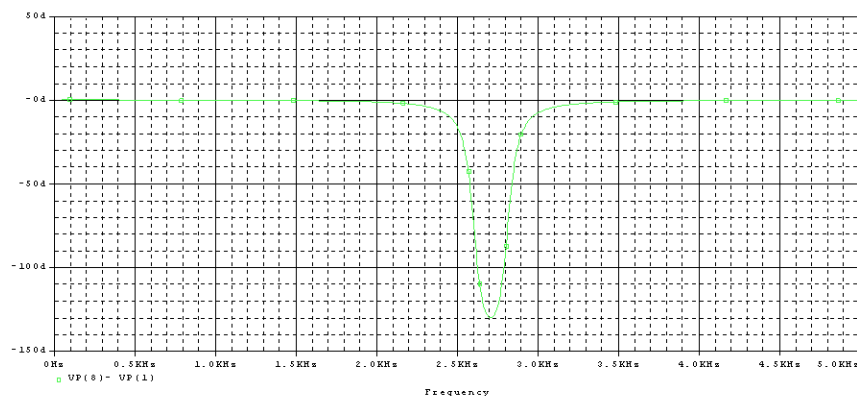
Obrázek 5.31 - Frekvenční závislost chyby úhlu EMFC145, L<sub>E</sub>, R<sub>E</sub> frekv. nezávislé (detail)



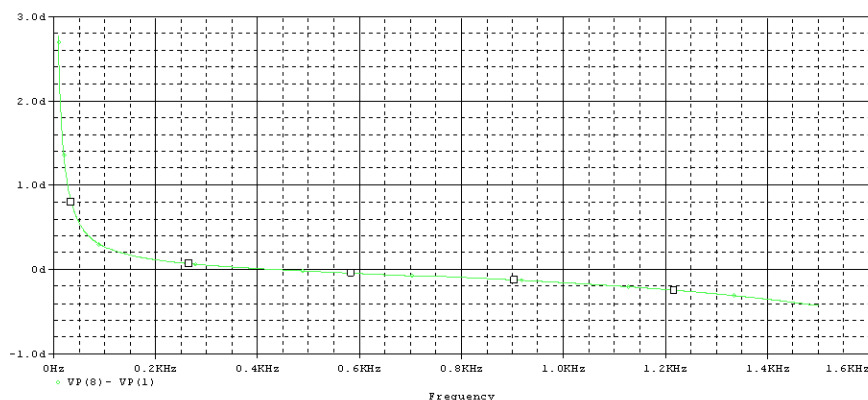
**Obrázek 5.32** - Frekvenční závislost chyby převodu EMFC145,  $L_E$ ,  $R_E$  frekv. závislé



**Obrázek 5.33** - Frekvenční závislost chyby převodu EMFC145,  $L_E$ ,  $R_E$  frekv. závislé (detail)



**Obrázek 5.34** - Frekvenční závislost chyby úhlu EMFC145,  $L_E$ ,  $R_E$  frekv. závislé



**Obrázek 5.35** - Frekvenční závislost chyby úhlu EMFC145,  $L_E$ ,  $R_E$  frekv. závislé (detail)

## 6. Závěry a doporučení

Práce přispěla k objasnění frekvenční závislosti chyby převodu a úhlu přístrojových transformátorů s izolačním napětím 123kV, které se používají v rozvodnách 110kV TNS 25kV, 50Hz.

Jelikož dodavatel elektrické energie v připojovacích podmínkách stanoví, maximální procentní obsahy jednotlivých řádů harmonických lze předpokládat, že provádí i kontrolu splnění těchto mezí v připojovacím bodě TNS 25kV, 50Hz. Měření vstupních veličin napětí a proudu zajišťuje v TNS 25kV, 50Hz přístrojové transformátory s izolačním napětím 123kV, které jsou umístěny v rozvodně 110kV. Jelikož fakturační měření elektrické energie podléhá zákonu o metrologii a přístrojový transformátor je měřidlem stanoveným lze předpokládat, že pro měření vedoucí ke kontrole splnění povolených mezí vyšších harmonických v připojovacím bodě budou platit stejné požadavky na přesnost měření jako pro fakturační měření.

Tato měření budou splňovat požadavky na přesnost, pokud budou měřeny proudové řády harmonických přístrojovým transformátorem proudu s izolačním napětím 123kV. Tento typ přístrojového transformátoru má frekvenčně nezávislou chybu převodu a úhlu ve sledované frekvenční oblasti do 5kHz. Maximální chyba převodu a úhlu stanovená v [10] pro třídu přesnosti  $T_p=0,2$  nebude překročena (viz **obrázek 4.7 a 4.8**) ve sledované frekvenční oblasti do 5kHz. Tento poznatek by měl vést k doporučení, aby distributor elektrické energie stanoval jednotně maximální přípustné meze proudových harmonických v připojovacím bodě TNS 25kV, 50Hz.

Popis frekvenční závislosti přístrojového kapacitního transformátoru napětí s izolačním napětím 123kV slouží jako podklad pro jednání s distributorem elektrické energie, pokud by pro měření napěťových harmonických v připojovacím bodě TNS 25kV, 50Hz požadoval přístrojový kapacitní transformátor napětí. Pro měření vyšších napěťových harmonických je tento typ přístrojového transformátoru zcela nevhodný, jelikož již v okolí frekvence jmenovité se projevuje frekvenční závislost chyby převodu a úhlu. V okolí jmenovité frekvence je pro třídu přesnosti  $T_p=0,2$  překročena povolená chyba převodu a úhlu (viz **obrázek 4.18**) stanovená v [15].

Přístrojový transformátor napětí má ve sledovaném frekvenčním pásmu do 5kHz frekvenčně závislou chybu převodu a úhlu. Poznat závislost změny této frekvenční závislosti při změně hodnot prvků náhradního schématu a vnějšího břemene bylo hlavním cílem této práce. Provedené simulace určily, která prvky mají největší vliv na frekvenční závislost chyby převodu

a úhlu přístrojového induktivního transformátoru napětí. Přínos této práce je i v doplnění náhradního schématu přístrojového transformátoru napětí s izolačním napětím 123kV o frekvenční závislosti prvků magnetizační větve. Toto doplnění umožnilo zkoumat vliv uvažování frekvenční závislosti prvků magnetizační větve na frekvenční závislost chyby převodu a úhlu. Simulace prokázaly, že uvažování frekvenční závislosti chyby převodu a úhlu přístrojového induktivního transformátoru napětí má ve sledovaném frekvenčním pásmu nezanedbatelný vliv na chybu převodu a úhlu. Práce prokázala, že největší vliv na změnu frekvenční závislosti chyby převodu a úhlu mají zejména hodnoty primárních prvků přístrojového induktivního transformátoru napětí  $L_P$  (se stoupající hodnotou frekvenční závislost chyby převodu a úhlu klesá),  $R_P$  (se stoupající hodnotou frekvenční závislost chyby převodu a úhlu stoupá) a prvky magnetizační větvě  $L_{E,f}$  (se stoupající hodnotou frekvenční závislost chyby převodu a úhlu klesá),  $R_{E,f}$  (se stoupající hodnotou frekvenční závislost chyby převodu a úhlu stoupá). Na základě porovnání výsledků grafů frekvenční závislosti chyby převodu a úhlu při uvažování frekvenční závislosti prvků magnetizační větve a bez uvažování frekvenční závislosti prvků magnetizační větve je zřejmé, že takovéto zjednodušení (uvažování frekvenční nezávislosti prvků magnetizační větve) má značný vliv na získané průběhy (viz *obrázek 5.32* až *5.35*). Toto zjednodušení je tedy nutné odmítnout, protože nevystihuje skutečné chování feromagnetického obvodu přístrojového transformátoru napětí a i proto, že toto zjednodušení pak vnáší do výsledku simulací nezanedbatelnou chybu (viz *obrázek 5.4* až *5.35* a *obrázek P2.3* až *P2.34*). Významný vliv na změnu frekvenční závislost chyby převodu a úhlu má i hodnota kapacity  $C_{PS}$  (se stoupající hodnotou frekvenční závislost chyby převodu a úhlu stoupá). Ostatní kapacity v náhradním schématu na *obrázku 5.2* ( $C_{PB}$ ,  $C_{S1S2}$ ,  $C_{S1B}$ ,  $C_{S2B}$ ) a prvky sekundární strany náhradního schématu přístrojového transformátoru napětí ( $L_{S1}$ ,  $L_{S2}$ ,  $R_{S1}$ ,  $R_{S2}$ ) nemají výrazný vliv na změnu frekvenční závislosti chyby převodu a úhlu. Stejně tak vnější břemeno sekundárního vinutí v podobě různých typů statických elektroměrů a změny kapacity přívodních kabeláží v širokém rozsahu neprokázalo výrazný vliv na změnu frekvenční závislosti chyby převodu a úhlu přístrojového induktivního transformátoru napětí.

Frekvenční závislost chyby převodu a úhlu přístrojového induktivního transformátoru napětí způsobuje, že ve frekvenčním pásmu nad 2kHz (např. viz *obrázek 5.32* a *5.34* frekvence 2,55kHz povolená chyba převodu převyšuje maximální hodnotu povolenou v [14] 2500xkrát a chyba úhlu 750xkrát) bude maximální povolená mez chyby převodu a úhlu pro třídu přesnosti  $T_P=0,2$  stanovená v [14] výrazně překročena, ve frekvenčním pásmu od 1,4kHz do 2kHz bude maximální povolená mez chyby převodu a úhlu překročena (viz *obrázek 5.32* a *5.34*) a ve

frekvenčním pásmu do 1,4kHz bude maximální povolená mez chyby převodu a úhlu splněna. Tento závěr, ale je nutné vždy prověřit ve vztahu k hodnotám prvků náhradního schématu konkrétního přístrojového induktivního transformátoru napětí, které mají vliv na změnu frekvenční závislost chyby převodu a úhlu (viz obrázky 5.4 až 5.35 a obrázek P2.3 až P2.34).

Měření harmonických přístrojovými transformátory bude kromě frekvenční závislosti chyby převodu a úhlu přístrojových transformátorů ovlivněno ještě dodatečnou chybou analyzátoru harmonických (statický elektroměr umí vyhodnocovat ze vstupních měřených hodnot napětí a proudu přístrojovými transformátory úrovně jednotlivých složek napěťových popř. proudových harmonických).

Navazující práce by mohla zde simulací získané grafy frekvenční závislosti chyby převodu a úhlu přístrojového induktivního transformátoru napětí ověřit měřením na skutečném přístrojovém induktivním transformátoru napětí v rozvodně 110kV, TNS 25kV, 50Hz.

Navazující práce by také mohla zkoumat velikost dodatečné chyby analyzátoru harmonických v podobě statického elektroměru.

## 7. Použité zkratky

ČD, a.s.	České dráhy, akciová společnost
ČSN	Česká státní norma
ERÚ, s.o.	Energetický regulační úřad, státní organizace
EU	Evropská unie
FKZ	Filtračně-kompenzační zařízení
HDO	Hromadné dálkové ovládání
P	primární vinutí (primární strana)
PTN	Přístrojový induktivní transformátor napětí
S	sekundární vinutí (sekundární strana)
SŽDC, s.o.	Správa železniční dopravní cesty, státní organizace
SŽE, s.o.	Správa železniční energetiky, státní organizace
THD	Celkové harmonické zkreslení
TNS	Trakční napájecí stanice
Tp	Třída přesnosti
TV	Trakční vedení

## 8. Seznam obrázků

### Seznam obrázků v textové části disertační práce

*Obr. 2.1* - Příklad uspořádání TNS 25 kV, 50 Hz - Vranov

*Obr. 2.2* - Schéma připojení TNS 25kV, 50Hz k trakčnímu vedení – zapojení do T

*Obr. 2.3* - Schéma připojení TNS 25kV, 50Hz k trakčnímu vedení – zapojení do L

*Obr. 2.4* - FKZ dnešní koncepce [1]

*Obr. 3.1* - **a)** tyčový přístrojový transformátor proudu s uzavřeným feromagnetickým obvodem dole, **b)** tyčový přístrojový transformátor proudu s uzavřeným feromagnetickým obvodem nahoře [5]

*Obr. 3.2* - Řez tyčovým přístrojovým transformátorem proudu s uzavřeným feromagnetickým obvodem dole a nahoře [5]

*Obr. 3.3* - **a)** Příklad tyčového přístrojového transformátoru proudu pro venkovní použití s uzavřeným feromagnetickým obvodem dole **b)** řez tímto tyčovým přístrojovým transformátorem proudu [6]

*Obr. 3.4* - Uzavřený feromagnetický obvod přístrojového induktivního transformátoru napětí jádrového typu

**Obr. 3.5 - a)** - Příklad přístrojového induktivního transformátoru napětí s uzavřeným feromagnetickým obvodem pro venkovní použití **b)** řez tímto přístrojovým induktivním transformátorem napětí [7]

**Obr. 3.6 - a)** - Příklad přístrojového kapacitního transformátoru napětí pro venkovní použití, **b)** řez přístrojovým kapacitním transformátorem napětí [8]

**Obr. 3.7 -** Společné náhradní schéma přístrojového transformátoru proudu a napětí s uzavřeným feromagnetickým obvodem platné v okolí jmenovité frekvence 50Hz a za předpokladu  $N_P = N_S$

**Obr. 3.8 -** Vektorový diagram veličin společného náhradního schématu přístrojového transformátoru proudu a napětí s uzavřeným feromagnetickým obvodem za předpokladu  $N_P = N_S$

**Obr. 3.9 -** Náhradní schéma přístrojového kapacitního transformátoru napětí s aktivním tlumícím obvodem platné v okolí jmenovité frekvence a za předpokladu  $N_P = N_S$  [9]

**Obr. 3.10 -** Princip přístrojového transformátoru proudu [12]

**Obr. 3.11 -** Náhradní schéma přístrojového transformátoru proudu platné v okolí jmenovité frekvence 50Hz a za předpokladu  $N_P = N_S$

**Obr. 3.12 -** Vektorový diagram veličin náhradního schématu přístrojového transformátoru proudu za předpokladu  $N_P = N_S$

**Obr. 3.13 -** Zjednodušené náhradní schéma přístrojového transformátoru proudu platné v okolí jmenovité frekvence 50Hz a za předpokladu  $N_P=N_S$

**Obr. 3.14 -** Závislost chyby převodu a úhlu přístrojového transformátoru proudu na primárním proudu při konstantním břemenu [12]

**Obr. 3.15 -** Závislost chyby převodu a úhlu přístrojového transformátoru proudu na vnějším břemenu (při  $\beta_Z = \beta_i = \beta_C$ ) [12]

**Obr. 3.16 -** Ideální (1,2) a skutečné (3,4) nadproudové charakteristiky přístrojového transformátoru proudu [12]

**Obr. 3.17 -** Průběhy proudů a toků při zkratu

**Obr. 3.18 -** Nahoře: průběh primárního a sekundárního proudu (nízká hodnota celkového břemene). Dole: průběh primárního a sekundárního proudu (vyšší hodnota celkového břemene) [13]

**Obr. 3.19 -** Křivky saturace [13]

**Obr. 3.20 -** Chyba převodu a úhlu při saturaci feromagnetického obvodu [9]

**Obr. 3.21 -** Časová odezva přístrojového transformátoru proudu při saturaci feromagnetického obvodu a průběh sycení feromagn. obvodu [9]

**Obr. 3.22** - Náhradní schéma přístrojového induktivního transformátoru napětí platné v okolí jmenovité frekvence 50Hz a za předpokladu  $N_p = N_s$

**Obr. 3.23** - Vektorový diagram veličin náhradního schématu přístrojového induktivního transformátoru napětí za předpokladu  $N_p = N_s$

**Obr. 3.24** - Náhradní schéma přístrojového kapacitního transformátoru napětí platné v okolí jmenovité frekvence 50Hz a za předpokladu  $N_p=N_s$  [15]

**Obr. 3.25 - a)** zapojení aktivního tlumícího zařízení a **b)** simulační model aktivního tlumícího zařízení [16]

**Obr. 3.26** - Náhradní schéma přístrojového kapacitního transformátoru napětí, s pasivním tlumícím zařízením, platné v okolí jmenovité frekvence 50Hz a za předpokladu  $N_p=N_s$  [17]

**Obr. 3.27** - Komplexní diagram chyby převodu a úhlu přístrojového kapacitního transformátoru napětí při kolísání frekvence sítě [12]

**Obr. 3.28** - Odezva přístrojového kapacitního transformátoru napětí na přepětí [15]

**Obr. 4.1** - Náhradní schéma přístrojového transformátoru s dvěma sekundárními vinutími odvozené platné pro frekvence do 5kHz při respektování převodu

**Obr. 4.2** - Úplné náhradní schéma přístrojového transformátoru proudu s dvěma sekundárními vinutími platné pro frekvence do 5kHz [24]

**Obr. 4.3** - Zjednodušené náhradní schéma přístrojového transformátoru proudu platné pro frekvence do 5kHz

**Obr. 4.4** - Zjednodušené náhradní schéma přístrojového transformátoru proudu platné pro frekvence do 5kHz

**Obr. 4.5** - Průběh sycení feromagnetického obvodu přístrojového transformátoru. proudu

**Obr. 4.6** - Průběh sekundárního proudu při zkratu na primárním vinutí, **a)** výsledek simulace bez zahrnutí remanence feromagnetického obvodu do modelu **b)** výsledek simulace se zahrnutím remanence jádra do modelu [16]

**Obr. 4.7** - **a)** Frekvenční závislost chyby převodu, **b)** frekvenční závislost chyby úhlu [24]

**Obr. 4.8** - Frekvenční závislost chyby převodu transformátoru proudu [21]

**Obr. 4.9** - Úplné náhradní schéma přístrojového induktivního transformátoru napětí s dvěma sekundárními vinutími, platné pro frekvence do 5kHz (100-tá harmonická)

**Obr. 4.10** - Zjednodušené náhradní schéma přístrojového induktivního transformátoru napětí s dvěma sekundárními vinutími, platné pro frekvence do 5kHz (100-tá harmonická)

**Obr. 4.11** - Uvažované kapacity mezi vinutími a mezi vinutími a kostrou přístrojového induktivního transformátoru napětí

**Obr. 4.12** - Kapacita P-S1, odečtená z křivky získané impulsním testem [25]

**Obr. 4.13** - Spojení kapacit v přístrojovém induktivním transformátoru napětí na vysokých frekvenčních

**Obr. 4.14** - Náhradní schéma přístrojového induktivního transformátoru napětí 27,5kV platné pro frekvence do 100kHz [18]

**Obr. 4.15** - Průběh chyby převodu přístrojového induktivního transformátoru napětí s izolačním napětím 27,5kV [18]

**Obr. 4.16** - Průběh frekvenční závislosti chyby převodu a úhlu při měření přístrojového induktivního transformátoru napětí na vyšších harmonických [25]

**Obr. 4.17** - Náhradní schéma přístrojového kapacitního transformátoru napětí platné pro frekvence do 10kHz [9]

**Obr. 4.18** - Frekvenční závislost chyby převodu a úhlu přístrojového kapacitního transformátoru napětí do frekvence 10kHz [9]

**Obr. 4.19** - Vliv změny hodnoty parametrů náhradního obvodu na průběh frekvenční závislosti chyb převodu a úhlu přístrojového kapacitního transformátoru napětí [16]

**Obr. 5.1** - Zjednodušené (sériové řazení  $R_E$  a  $L_E$ ) náhradní schéma přístrojového induktivního transformátoru napětí s dvěma sekundárními vinutími, platné pro frekvence do 5kHz (100-tá harmonická) –  $L_E$ ,  $R_E$  frekvenčně nezávislé [25]

**Obr. 5.2** - Zjednodušené (sériové řazení  $R_E$  a  $L_E$ ) náhradní schéma přístrojového induktivního transformátoru napětí s dvěma sekundárními vinutími, platné pro frekvence do 5kHz (100-tá harmonická) –  $L_E$ ,  $R_E$  frekvenčně závislé [18,25]

**Obr. 5.3** - Prověření odvození hodnoty  $C_{PS1}$  z měřené hodnoty  $C_{12}$

**Obr. 5.4** - Frekvenční závislost chyby převodu PTN, změna  $L_P$ ,  $L_E$  a  $R_E$  frekv. nezávislé

**Obr. 5.5** - Frekvenční závislost chyby převodu PTN, změna  $L_P$ ,  $L_E$  a  $R_E$  frekv. závislé

**Obr. 5.6** - Frekvenční závislost chyby převodu PTN, změna  $L_P$ ,  $L_E$  a  $R_E$  frekv. nezávislé (detail)

**Obr. 5.7** - Frekvenční závislost chyby převodu PTN, změna  $L_P$ ,  $L_E$  a  $R_E$  frekv. závislé (detail)

**Obr. 5.8** - Frekvenční závislost chyby úhlu PTN, změna  $L_P$ ,  $L_E$  a  $R_E$  frekvenčně nezávislé

**Obr. 5.9** - Frekvenční závislost chyby úhlu PTN, změna  $L_P$ ,  $L_E$  a  $R_E$  frekvenčně závislé

**Obr. 5.10** - Frekvenční závislost chyby úhlu PTN, změna  $L_P$ ,  $L_E$  a  $R_E$  frekv. nezávislé (detail)

**Obr. 5.11** - Frekvenční závislost chyby úhlu PTN, změna  $L_P$ ,  $L_E$  a  $R_E$  frekv. nezávislé (detail)

**Obr. 5.12** - Frekvenční závislost chyby převodu PTN, změna  $L_{S1}$  ( $L_{S2}$ ),  $L_E$  a  $R_E$  fr. nezávislé

**Obr. 5.13** - Frekvenční závislost chyby převodu PTN, změna  $L_{S1}$  ( $L_{S2}$ ),  $L_E$  a  $R_E$  fr. závislé

**Obr. 5.14** - Frekvenční závislost chyby převodu PTN, změna  $L_{S1}$  ( $L_{S2}$ ),  $L_E$  a  $R_E$  fr. nez. (detail)

- Obr. 5.15* - Frekvenční závislost chyby převodu PTN, změna  $L_{S1}$  ( $L_{S2}$ ),  $L_E$  a  $R_E$  fr. nez. (detail)
- Obr. 5.16* - Frekvenční závislost chyby úhlu PTN, změna  $L_{S1}$  ( $L_{S2}$ ),  $L_E$  a  $R_E$  frekv. nezávislé
- Obr. 5.17* - Frekvenční závislost chyby úhlu PTN, změna  $L_{S1}$  ( $L_{S2}$ ),  $L_E$  a  $R_E$  frekvenčně závislé
- Obr. 5.18* - Frekvenční závislost chyby úhlu PTN, změna  $L_{S1}$  ( $L_{S2}$ ),  $L_E$  a  $R_E$  fr. nezávislé (detail)
- Obr. 5.19* - Frekvenční závislost chyby úhlu PTN, změna  $L_{S1}$  ( $L_{S2}$ ),  $L_E$  a  $R_E$  fr. závislé (detail)
- Obr. 5.20* - Frekvenční závislost chyby převodu PTN, změna  $C_{PS1}$  ( $C_{PS2}$ ),  $L_E$  a  $R_E$  fr. nezávislé
- Obr. 5.21* - Frekvenční závislost chyby převodu PTN, změna  $C_{PS1}$  ( $C_{PS2}$ ),  $L_E$  a  $R_E$  frekv. závislé
- Obr. 5.22* - Frekvenční závislost chyby převodu PTN, změna  $C_{PS1}$  ( $C_{PS2}$ ),  $L_E$  a  $R_E$  fr. záv. (detail)
- Obr. 5.23* - Frekvenční závislost chyby převodu PTN, změna  $C_{PS1}$  ( $C_{PS2}$ ),  $L_E$  a  $R_E$  fr. záv. (detail)
- Obr. 5.24* - Frekvenční závislost chyby úhlu PTN, změna  $C_{PS1}$  ( $C_{PS2}$ ),  $L_E$  a  $R_E$  frekv. nezávislé
- Obr. 5.25* - Frekvenční závislost chyby úhlu PTN, změna  $C_{PS1}$  ( $C_{PS2}$ ),  $L_E$  a  $R_E$  frekv. závislé
- Obr. 5.26* - Frekvenční závislost chyby úhlu PTN, změna  $C_{PS1}$  ( $C_{PS2}$ ),  $L_E$  a  $R_E$  fr. nez. (detail)
- Obr. 5.27* - Frekvenční závislost chyby úhlu PTN, změna  $C_{PS1}$  ( $C_{PS2}$ ),  $L_E$  a  $R_E$  fr. závislé (detail)
- Obr. 5.28* - Frekvenční závislost chyby převodu EMFC145,  $L_E$ ,  $R_E$  frekv. nezávislé
- Obr. 5.29* - Frekvenční závislost chyby převodu EMFC145,  $L_E$ ,  $R_E$  frekv. nezávislé (detail)
- Obr. 5.30* - Frekvenční závislost chyby úhlu EMFC145,  $L_E$ ,  $R_E$  frekv. nezávislé
- Obr. 5.31* - Frekvenční závislost chyby úhlu EMFC145,  $L_E$ ,  $R_E$  frekv. nezávislé (detail)
- Obr. 5.32* - Frekvenční závislost chyby převodu EMFC145,  $L_E$ ,  $R_E$  frekv. závislé
- Obr. 5.33* - Frekvenční závislost chyby převodu EMFC145,  $L_E$ ,  $R_E$  frekv. závislé (detail)
- Obr. 5.34* - Frekvenční závislost chyby úhlu EMFC145,  $L_E$ ,  $R_E$  frekv. závislé
- Obr. 5.35* - Frekvenční závislost chyby úhlu EMFC145,  $L_E$ ,  $R_E$  frekv. závislé (detail)

#### Seznam obrázků v části příloh k disertační práci

*Obr. P-1.1* - Prověření odvození hodnoty  $C_{PS2}$  z měřené hodnoty  $C_{13}$

*Obr. P-1.2* - Prověření odvození hodnoty  $C_{S1S2}$  z měřené hodnoty  $C_{23}$

*Obr. P-1.3* - Prověření odvození hodnoty  $C_{PB}$  z měřené hodnoty  $C_{14}$

*Obr. P-1.4* - Prověření odvození hodnoty  $C_{S1B}$  z měřené hodnoty  $C_{24}$

*Obr. P-1.5* - Prověření odvození hodnoty  $C_{S2B}$  z měřené hodnoty  $C_{34}$

*Obr. P-2.1* - Model PTN bez uvažování frekvenční závislosti  $R_E$ ,  $L_E$

*Obr. P-2.2* - Model PTN bez uvažování frekvenční závislosti  $R_E$ ,  $L_E$

*Obr. P-2.3* - Frekvenční závislost chyby převodu PTN, změna  $R_P$ ,  $L_E$  a  $R_E$  frekvenčně nezávislé

*Obr. P-2.4* - Frekvenční závislost chyby převodu PTN, změna  $R_P$ ,  $L_E$  a  $R_E$  frekv. závislé

*Obr. P-2.5* - Frekvenční závislost chyby převodu PTN, změna  $R_P, L_E$  a  $R_E$  frekv. nezávislé (detail)

*Obr. P-2.6* - Frekvenční závislost chyby převodu PTN, změna  $R_P, L_E$  a  $R_E$  frekv. závislé (detail)

*Obr. P-2.7* - Frekvenční závislost chyby úhlu PTN, změna  $R_P, L_E$  a  $R_E$  frekvenčně nezávislé

*Obr. P-2.8* - Frekvenční závislost chyby úhlu PTN, změna  $R_P, L_E$  a  $R_E$  frekv. závislé

*Obr. P-2.9* - Frekvenční závislost chyby úhlu PTN, změna  $R_P, L_E$  a  $R_E$  frekv. nezávislé (detail)

*Obr. P-2.10* - Frekvenční závislost chyby úhlu PTN, změna  $R_P, L_E$  a  $R_E$  frekv. závislé (detail)

*Obr. P-2.11* - Frekvenční závislost chyby převodu PTN, změna  $R_{S1} (R_{S2}), L_E$  a  $R_E$  fr. nezávislé

*Obr. P-2.12* - Frekvenční závislost chyby převodu PTN, změna  $R_{S1} (R_{S2}), L_E$  a  $R_E$  fr. závislé

*Obr. P-2.13* - Frekvenční závislost chyby převodu PTN, změna  $R_{S1}(R_{S2}), L_E$  a  $R_E$  fr. nez. (detail)

*Obr. P-2.14* - Frekvenční závislost chyby převodu PTN, změna  $R_{S1}(R_{S2}), L_E$  a  $R_E$  fr. záv. (detail)

*Obr. P-2.15* - Frekvenční závislost chyby úhlu PTN, změna  $R_{S1} (R_{S2}), L_E$  a  $R_E$  fr. nezávislé

*Obr. P-2.16* - Frekvenční závislost chyby úhlu PTN, změna  $R_{S1} (R_{S2}), L_E$  a  $R_E$  fr. závislé

*Obr. P-2.17* - Frekvenční závislost chyby úhlu PTN, změna  $R_{S1}(R_{S2}), L_E$  a  $R_E$  fr. nez. (detail)

*Obr. P-2.18* - Frekvenční závislost chyby úhlu PTN, změna  $R_{S1}(R_{S2}), L_E$  a  $R_E$  fr. záv. (detail)

*Obr. P-2.19* - Frekvenční závislost chyby převodu PTN, změna  $C_{PB}$ ,  $L_E$  a  $R_E$  frekv. nezávislé

*Obr. P-2.20* - Frekvenční závislost chyby převodu PTN, změna  $C_{PB}$ ,  $L_E$  a  $R_E$  frekv. závislé

*Obr. P-2.21* - Frekvenční závislost chyby převodu PTN, změna  $C_{PB}, L_E$  a  $R_E$  fr. nezávislé (detail)

*Obr. P-2.22* - Frekvenční závislost chyby převodu PTN, změna  $C_{PB}$ ,  $L_E$  a  $R_E$  fr. závislé (detail)

*Obr. P-2.23* - Frekvenční závislost chyby úhlu PTN, změna  $C_{PB}$ ,  $L_E$  a  $R_E$  frekv. nezávislé

*Obr. P-2.24* - Frekvenční závislost chyby úhlu PTN, změna  $C_{PB}$ ,  $L_E$  a  $R_E$  frekv. závislé

*Obr. P-2.25* - Frekvenční závislost chyby úhlu PTN, změna  $C_{PB}$ ,  $L_E$  a  $R_E$  fr. nezávislé (detail)

*Obr. P-2.26* - Frekvenční závislost chyby úhlu PTN, změna  $C_{PB}$ ,  $L_E$  a  $R_E$  frekv. závislé (detail)

*Obr. P-2.27* - Frekvenční závislost chyby převodu PTN, změna  $C_{S1S2}$ ,  $L_E$  a  $R_E$  frekv. nezávislé

*Obr. P-2.28* - Frekvenční závislost chyby převodu PTN, změna  $C_{S1S2}$ ,  $L_E$  a  $R_E$  frekv. závislé

*Obr. P-2.29* - Frekvenční závislost chyby převodu PTN, změna  $C_{S1S2}$ ,  $L_E$  a  $R_E$  fr. nez. (detail)

*Obr. P-2.30* - Frekvenční závislost chyby převodu PTN, změna  $C_{S1S2}$ ,  $L_E$  a  $R_E$  fr. nez. (detail)

*Obr. P-2.31* - Frekvenční závislost chyby úhlu PTN, změna  $C_{S1S2}$ ,  $L_E$  a  $R_E$  frekv. nezávislé

*Obr. P-2.32* - Frekvenční závislost chyby úhlu PTN, změna  $C_{S1S2}$ ,  $L_E$  a  $R_E$  frekv. závislé

*Obr. P-2.33* - Frekvenční závislost chyby úhlu PTN, změna  $C_{S1S2}$ ,  $L_E$  a  $R_E$  fr. nezávislé (detail)

*Obr. P-2.34* - Frekvenční závislost chyby úhlu PTN, změna  $C_{S1S2}$ ,  $L_E$  a  $R_E$  fr. nezávislé (detail)

## 9. Seznam tabulek

- Tab. 3.1** - Dovolené chyby převodu a úhlu měřících transformátorů proudu [10]
- Tab. 3.2** - Dovolené chyby převodu a úhlu pro měřící transf. proudu pro zvláštní použití [10]
- Tab. 3.3** - Dovolené chyby převodu pro měřící transformátor proudu (třídy 3 a 5) [10]
- Tab. 3.4** - Dovolené chyby převodu a úhlu pro jistící transformátory proudu třídy PR [10]
- Tab. 3.5** - Dovolené chyby převodu a úhlu přístrojových induktivních měřících transformátorů napětí [14]
- Tab. 3.6** - Dovolené chyby převodu a úhlu pro přístrojové induktivní jistící transformátory napětí [14]
- Tab. 3.7** - Normalizované hodnoty tříd přechodových charakteristik [15]
- Tab. 3.8** - Meze chyb převodu a úhlu pro přístrojové kapacitní měřící transf. napětí [15]
- Tab. 3.9** - Rozsahy břemene pro zkoušky břemene [15]
- Tab. 3.10** - Meze chyb převodu a úhlu pro přístrojové kapacitní jistící transformátory napětí [15]
- Tab. 4.1** - Přehled vlastností několika typů statických elektroměrů pro nepřímé měření [11]
- Tab. 4.2** - Přehled jednotlivých prvků impedance [11]
- Tab. 4.1** - Hodnoty získané měřením naprázdno a nakrátko [25]
- Tab. 4.2** - Výpočet prvků podélné větve náhradního schématu přístrojového induktivního transformátoru napětí [25]
- Tab. 4.3** - Výpočet prvků příčné větve náhradního schématu přístrojového induktivního transformátoru napětí [25]
- Tab. 4.4** - Měřené a vypočítané hodnoty kapacit přístrojového induktivního transformátoru napětí [25]

## 10. Seznam příloh

**Příloha P-1** - Ověření měřených hodnot kapacit z tabulky 4.4 pomocí kapacit spočítaných

**Příloha P-2** - Výzkum změny hodnot prvků náhradního obvodu na chybu převodu a úhlu

## 11. Literatura

- [1] HLAVA, Karel. *Elektromagnetická kompatibilita (EMC) drážních zařízení*. Pardubice: UPa DFJP, 2004. 116s. ISBN 80-7194-637-0.
- [2] VDEW, 3. *Grundsätze für Beurteilung von Netzrückwirkungen*. Berlin: VDEW, 1992. 83s.

- [3] ČSN EN 50160 ed.2. *Charakteristiky napěti elektrické energie dodávané z veřejné distribuční sítě*. Praha: ÚNMZ. 2008. 20s. Třídící znak 330122.
- [4] HLAVA, Karel. *Studie vlivu nových kritérií EMC TT Veselí nad Lužnicí*. Praha: SUDOP, 2009, 19s.
- [5] KNUT, Sjovall. *Instrument transformers – Application guide*. Sweden: ABB, 2009. 127s.
- [6] ABB. *Outdoor instrument transformer – buyers guide*. Sweden: ABB, 2009. 68s.
- [7] ABB. *Instrument transf. for outdoor aplications up to 800kV*. Sweden: ABB, 2009. 10s.
- [8] Trench. *Capacitor voltage transformer*. Canada: Trench, 2006. 7s.
- [9] SEL. *Power system instrument transformers*. Schweiz: Schweizer engineering laboratories, 2005. 82s.
- [10] ČSN EN 60044-1. *Přístrojové transformátory - část 1: Transformátory proudu*. Praha: ÚNMZ, 2001. 44s. Třídící znak 351358.
- [11] VYDRŽAL, Tomáš. *Měření harmonických v sítích vn a vvn*. Pardubice: UPa DFJP. 2008. 60s. Diplomová práce na Dopravní fakultě Jana Pernera na katedře elektrotechniky, elektroniky a zabezpečovací techniky v dopravě. Vedoucí diplomové práce HLAVA Karel.
- [12] KOPEČEK, Jan - DVORÁK, Miloš. *Přístrojové transformátory (měřící a jistící)*. Praha: Academia, 1966. 480s.
- [13] KEZUNOVIC, Mladen. *Performance assessment of advanced digital measurement and protection systems*. Texas: PSERC Texas University, 2006. 67s.
- [14] ČSN EN 60044-2. *Přístrojové transformátory - část 2: Induktivní transformátory napětí*. Praha: ÚNMZ, 2001. 44s. Třídící znak 351358.
- [15] ČSN EN 60044-5. *Přístrojové transformátory - část 5: Kapacitní transformátory napětí*. Praha: ÚNMZ, 2005. 68s. Třídící znak 351358.
- [16] TZIOUVARAS, Demetrios A. et al.. *Mathematical model for current, voltage, and coupling capacitor voltage transformers*. USA: IEEE Transaction, 2000. Vol.15. No.1. 62-72s. ISSN 0885-8977.
- [17] MELIOPoulos, A.P. et al.. *Synchrophasor measurement accuracy characterization*. USA: Inertim report, 2007. 62s.
- [18] DOUGLASS, D.A.. *Potential transformers accuracy at 60Hz voltage above and below rating and at frequencies above 60Hz*. USA: IEE Transactions, 1981. Vol. PAS-100. No.3. 1300-1375s.
- [19] HLAVA, Karel. *Optimalizace přenosu energie v elektrické trakci*. Praha: VÚŽ Praha, VVO 6, 1986. 75s.

- [20] GRYM – BOCHMAN – MACHOŇ – CHMELÍK – HANUŠ - TOMAN. *Chránění III.* Praha: IRIS, 2007. 280s.
- [21] SAMESIMA, Itsuo Milton - OLIVIERA, José Carlos - DIAS, Mário Eduardo. *Frequency response analysis and modeling of measurement transformers under distorted current and voltage supply.* USA: IEEE Transactions, 1991. Vol. 6. No.4. 1762-1768s. ISSN 0885-8977.
- [22] BAK-JENSEN, Jesper - BAK-JENSEN, Birgitte - MIKKELSEN, Damsgaard Soren - JENSEN, Georg Carsten. *Parametric identification in potential transformer modeling.* USA: IEEE Transactions, 1992. Vol.7 No.1. 70-76s. ISSN 0885-8977.
- [23] SOLIMAN,S.A.- EL-ARINI, Mahdi M.- AL-KANDARI, A.M.- EL-HAWARY, M.E. *Frequency domain parameter identification of harmonic potential transformer models using least square techniques.* USA: Electric power system research, 1995. Vol.35. 45-49s, ISSN 0378-7796.
- [24] ELHAFFAR, Abdelsalam - LEHTONEN, Matti. *High frequency current modeling for traveling waves detection.* USA: IEEE, 2007. 6s. ISSN 1-4244-1298-6.
- [25] IMRIŠ, Peter - LEHTONEN, Matti. *Modelling of a voltage transformer for transients.* USA: IEEE Xplore, 2009. 5s.
- [26] ABB. *Instrument transformers – Technical information and application guide.* USA: ABB, 2004: 40s.
- [27] FRICKE, Lutz - KEGEL, Reinhard. *Simulation von induktiven 110kV und 220-kV Hochspannungswandlern.* Deutschland: etzArchiv, 1990. 6s.
- [28] SELJESETH, Helge – SEATHRE, Evald – OHNSSTAD, M. Trond – LIEN, Ingebjorg. *Voltage transformer frequency response. Measuring harmonics in Norwegian 300 kV and 132 kV power systems.* USA: IEEE, 1998. 820-824. ISSN 0-7803-5105-3.
- [29] ISLAM, Mofizul Syed - COATES, M. Kathryn - LEDWICH, Gerard. *Identification of high frequency transformer equivalent circuit using Matlab from frequency domain data.* USA: IEEE, 1997. 357-364. ISSN 0-7803-4067-1.

**Přehled vlastních publikovaných prací související s problematikou disertace**

- [30] SATORI, Michal. *Frekvenční závislost chyby převodu a úhlu přístrojových transformátorů s izolačním napětím 123kV v rozvodnách 110kV, trakčních napájecích stanic 25kV, 50Hz.* Pardubice: UPa DFJP, 2010. 10s. ISBN 978-80-7395-237-2

**UNIVERZITA PARDUBICE  
DOPRAVNÍ FAKULTA JANA PERNERA**

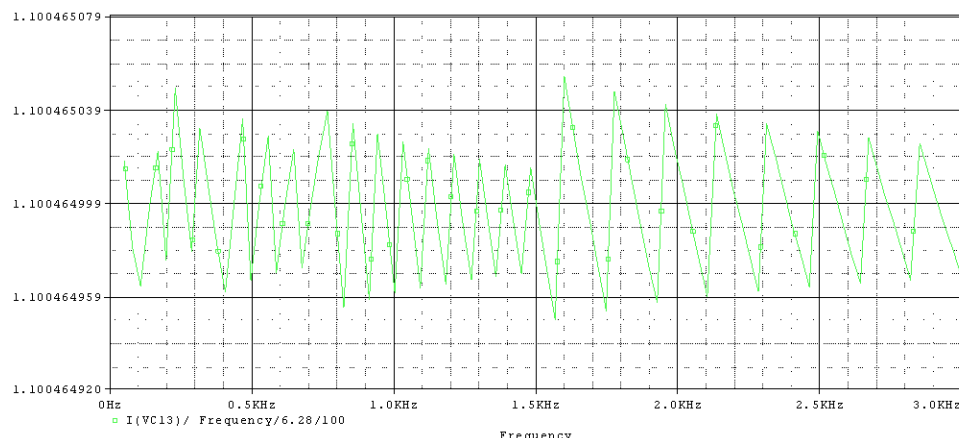
**KATEDRA ELEKTROTECHNIKY, ELEKTRONIKY  
A ZABEZPEČOVACÍ TECHNIKY V DOPRAVĚ**

**PŘÍLOHY K DISERTAČNÍ PRÁCI**

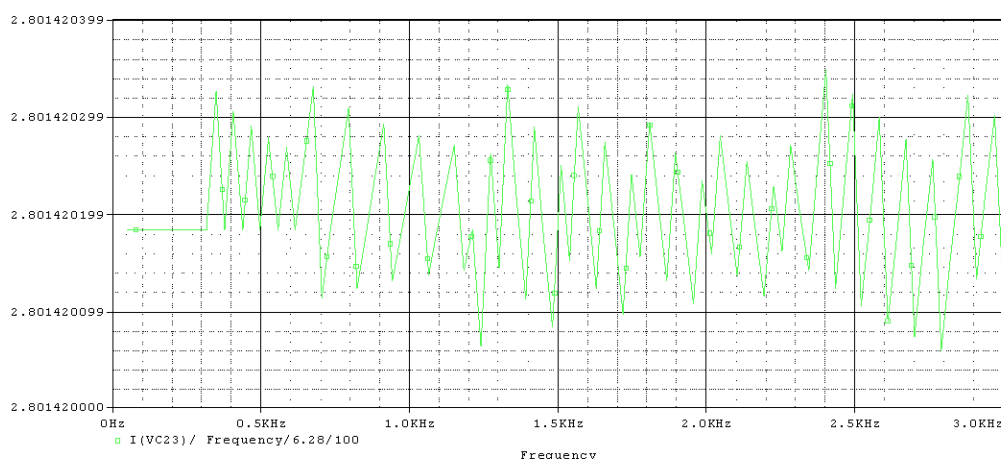
**MĚŘENÍ ELEKTRICKÝCH VELIČIN PŘI  
NESINUSOVÝCH PRŮBĚZÍCH NAPĚtí A PROUDU**

**Příloha P-1 - Ověření správnosti určení hodnot kapacit spočítaných z tabulky 4.4 Gauss-Seidelovou metodou z hodnot kapacit měřených****Zdrojová data**

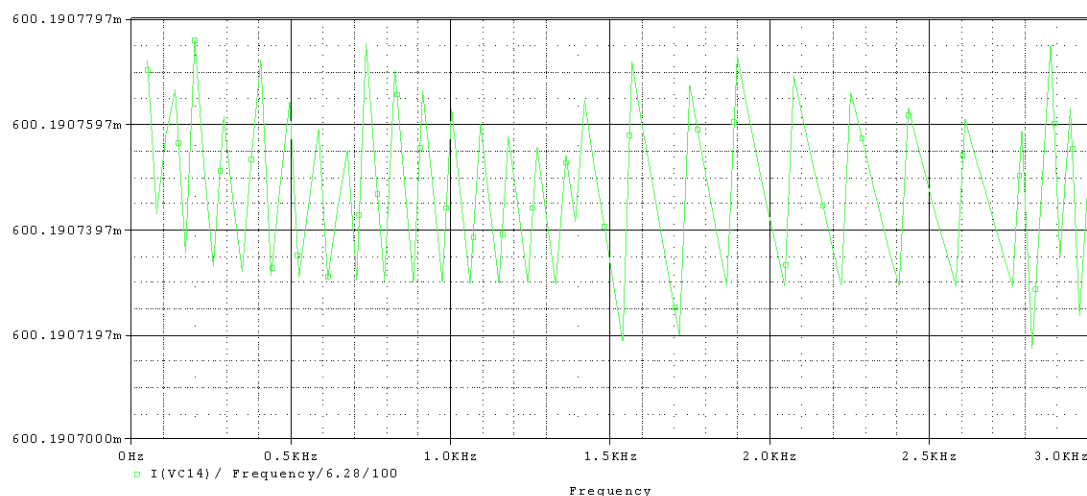
```
;Prověření odvození hodnoty CPS2 z měřené hodnoty C13
VC13 0 3 AC 100
CPS1 0 2 0.5371
CPS2 0 3 0.5371
CS2B 3 4 0.1121
CPB 0 4 0.4144
CS1S2 2 3 2.4754
CS1B 2 4 0.1121
RPS1 0 2 1G
RPS2 0 3 1G
RS2B 3 4 1G
RPB 0 4 1G
RS1S2 2 3 1G
RS1B 2 4 1G
.AC LIN 100 50 3000
.probe
.end
```



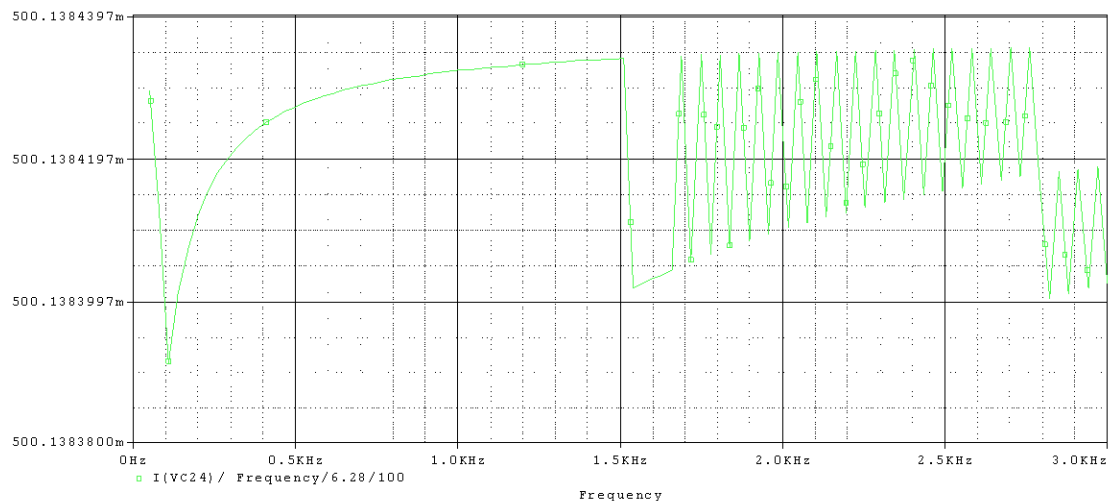
**Obrázek P-1.1 -** Prověření odvození hodnoty C<sub>PS2</sub> z měřené hodnoty C<sub>13</sub>



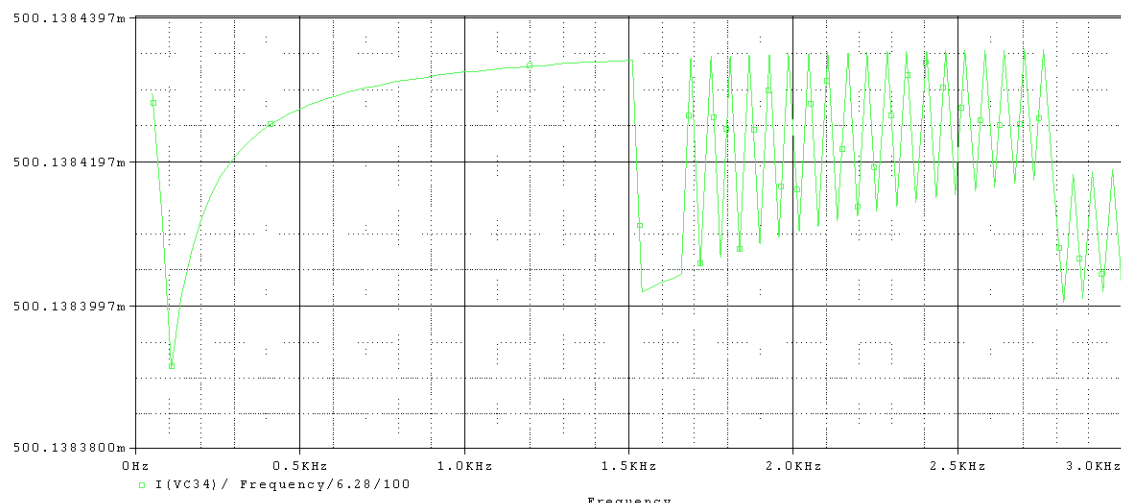
**Obrázek P-1.2 -** Prověření odvození hodnoty C<sub>S1S2</sub> z měřené hodnoty C<sub>23</sub>



**Obrázek P-1.3** - Prověření odvození hodnoty  $C_{PB}$  z měřené hodnoty  $C_{14}$

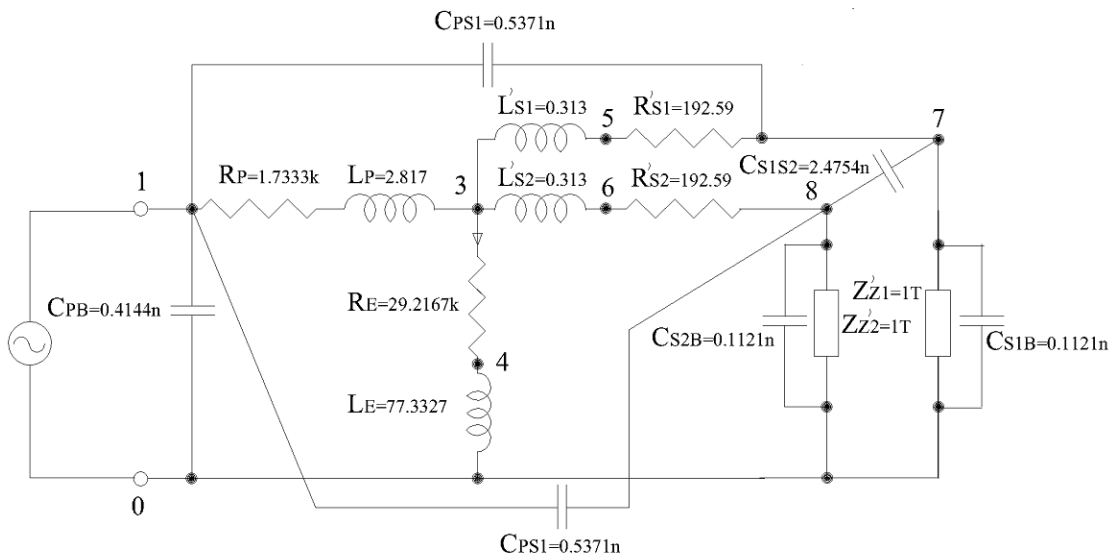


**Obrázek P-1.4** - Prověření odvození hodnoty  $C_{S1B}$  z měřené hodnoty  $C_{24}$

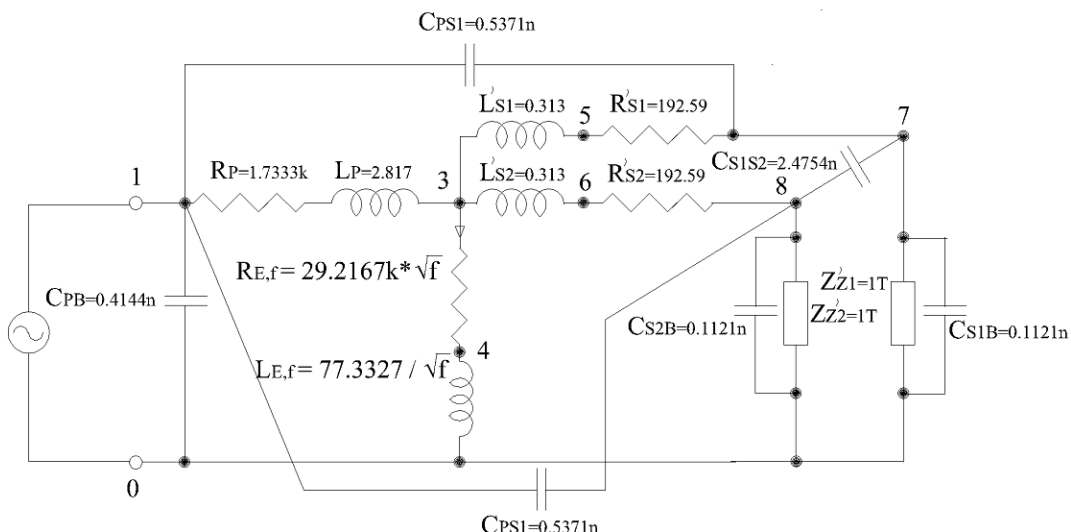


**Obrázek P-1.5** - Prověření odvození hodnoty  $C_{S2B}$  z měřené hodnoty  $C_{34}$

**Příloha P-2 - Výzkum změny hodnot prvků náhradního schématu na změnu frekvenční závislosti chybu převodu a úhlu**



**Obrázek P-2.1** Model PTN bez uvažování frekvenční závislosti prvků  $R_E$ ,  $L_E$



**Obrázek P-2.2** Model PTN s uvažováním frekvenční závislosti prvků  $R_{E,f}$ ,  $L_{E,f}$

**Příklad zdrojových dat – model z obrázku P-2.1**

Frekvenční závislost **převodu** PTN při proměnné frekvenci a proměnné hodnotě  $C_{PS1}$  ( $0,5371\text{nF}$ ) v mezích -40% až +40%. Prvky  $L_E$ ,  $R_E$  jsou v tomto případě frekvenčně nezávislé.

;CPS1

V1 1 0 AC 100

RP 1 2 1.7333k

LP 2 3 2.817

```
RE 3 4 29.2167k
LE 4 0 77.3327
RS1 3 5 192.59
LS1 5 7 0.313
RZ1 7 0 1T
RS2 3 6 192.59
LS2 6 8 0.313
RZ2 8 0 1T
CPB 1 0 0.4144n
CPS1 1 7 {CPS1var}
CPS2 1 8 0.5371n
CS1S2 7 8 2.4754n
CS1B 7 0 0.1121n
CS2B 8 0 0.1121n
.param CPS1var 0.5371n
.step param CPS1var list 0.3223n 0.5371n 0.7519n
.AC LIN 3000 1 3500
.probe V(1) V(8)
.end
```

$$\text{Vynesení průběhu: } \varepsilon_U = \left( \frac{V(8)}{V(1)} - 1 \right) \cdot 100 \text{ [%]}$$

Frekvenční závislost chyby **úhlu** PTN při proměnné frekvenci a proměnné hodnotě  $C_{PS1}$  ( $0,5371nF$ ) v mezích -40% až +40%. Prvky  $L_E$ ,  $R_E$  jsou v tomto případě frekvenčně nezávislé.

Stejný zdrojový program jako v případě chyby převodu.

$$\text{Vynesení průběhu: } \delta_U = VP(8) - VP(1) \text{ [°]}$$

### *Příklad zdrojových dat – model z obrázku P-2.2*

Frekvenční závislost **převodu** PTN při proměnné frekvenci a proměnné hodnotě  $C_{PS1}$  ( $0,5371nF$ ) v mezích -40% až +40%. Prvky  $L_{E,f}$ ,  $R_{E,f}$  jsou v tomto případě fr. závislé.

```
;CPS1a
V1 1 0 AC 100
RP 1 2 1.7333k
```

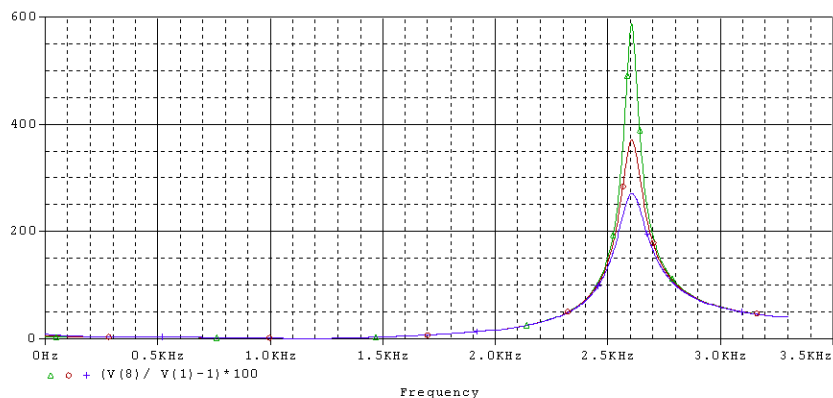
LP 2 3 2.817  
RE 3 4 {REvar}  
.param REvar=4131.87\*f\*\*0.5  
LE 4 0 {LEvar}  
.param LEvar=546.83/f\*\*0.5  
RS1 3 5 192.59  
LS1 5 7 0.313  
RZ1 7 0 1T  
RS2 3 6 192.59  
LS2 6 8 0.313  
RZ2 8 0 1T  
CPB 1 0 0.4144n  
CPS1 1 7 {CPS1var}  
.param CPS1var 0.5371n  
.step param CPS1var list 0.3223n 0.5371n 0.7519n  
CPS2 1 8 0.5371n  
CS1S2 7 8 2.4754n  
CS1B 7 0 0.1121n  
CS2B 8 0 0.1121n  
.AC LIN 3000 50 3500  
.probe V(1) V(8)  
.end

$$\text{Vynesení průběhu: } \varepsilon_U = \left( \frac{V(8)}{V(1)} - 1 \right) \cdot 100 \text{ [%]}$$

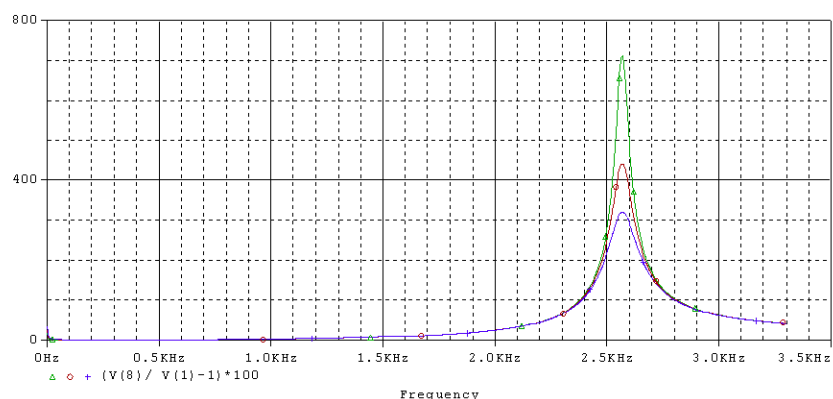
Frekvenční závislost chyby **úhlu** PTN při proměnné frekvenci a proměnné hodnotě  $C_{PS1}$  ( $0,5371nF$ ) v mezích  $-40\%$  až  $+40\%$ . Prvky  $L_{E,f}$ ,  $R_{E,f}$  jsou v tomto případě frekvenčně závislé.

Stejný zdrojový program jako v případě chyby převodu.

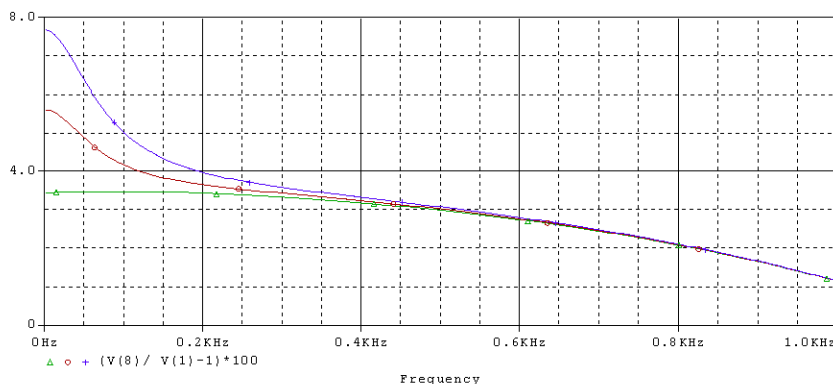
$$\text{Vynesení průběhu: } \delta_U = VP(8) - VP(1) \text{ [°]}$$



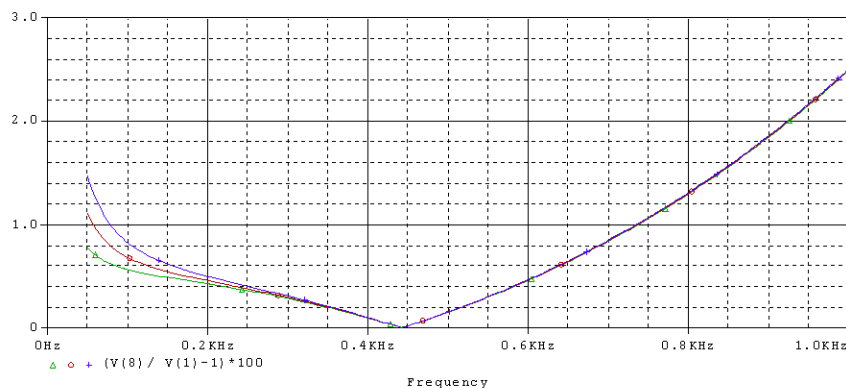
*Obr. P-2.3 - Frekvenční závislost chyby převodu PTN, změna  $R_P$ ,  $L_E$  a  $R_E$  frekvenčně nezávislé*



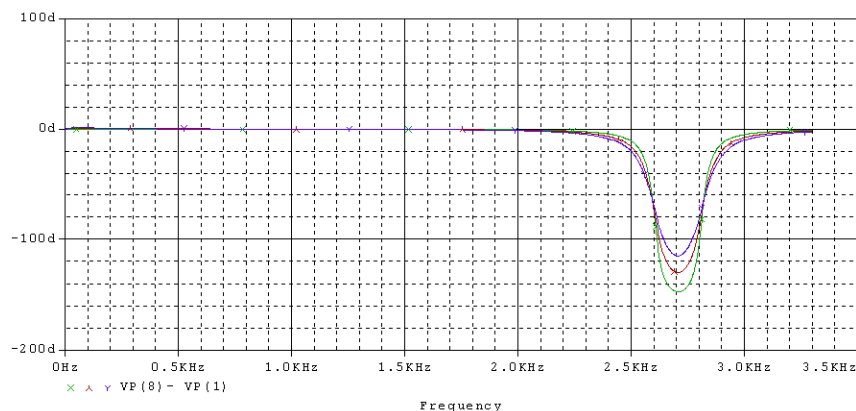
*Obr. P-2.4 - Frekvenční závislost chyby převodu PTN, změna  $R_P$ ,  $L_E$  a  $R_E$  frekv. závislé*



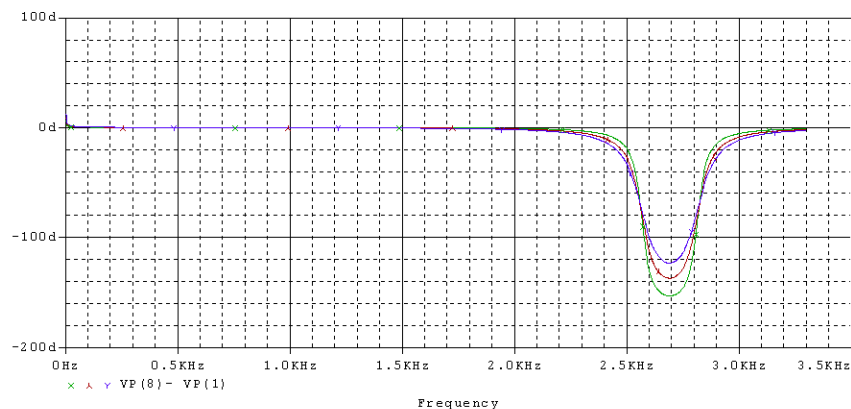
*Obr. P-2.5 - Frekvenční závislost chyby převodu PTN, změna  $R_P$ ,  $L_E$  a  $R_E$  frekv. nezávislé (detail)*



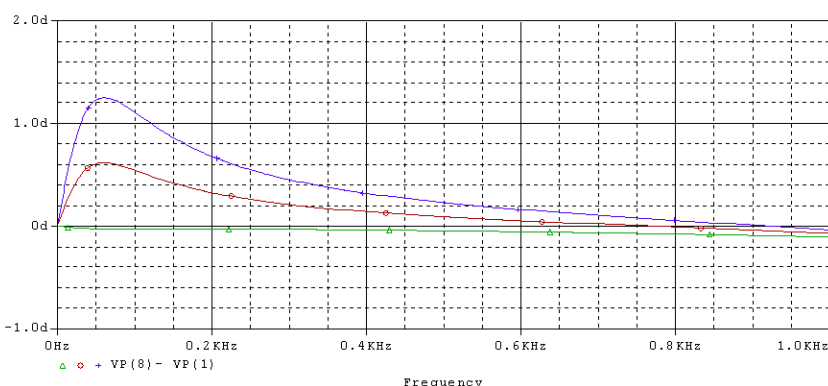
*Obr. P-2.6 - Frekvenční závislost chyby převodu PTN, změna  $R_P$ ,  $L_E$  a  $R_E$  frekv. závislé (detail)*



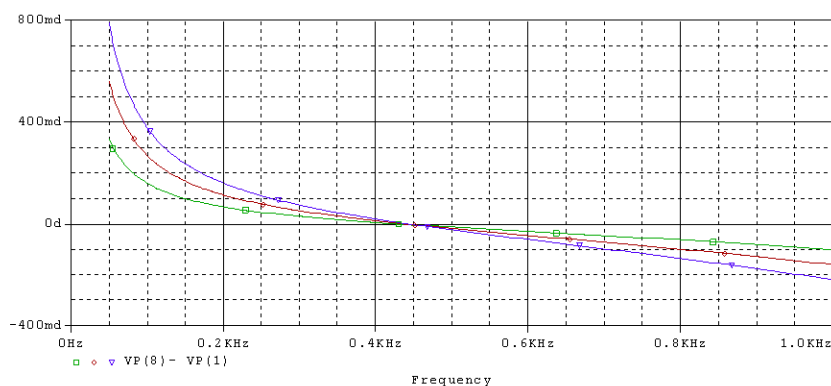
**Obr. P-2.7** - Frekvenční závislost chyby úhlu PTN, změna  $R_P$ ,  $L_E$  a  $R_E$  frekvenčně nezávislé



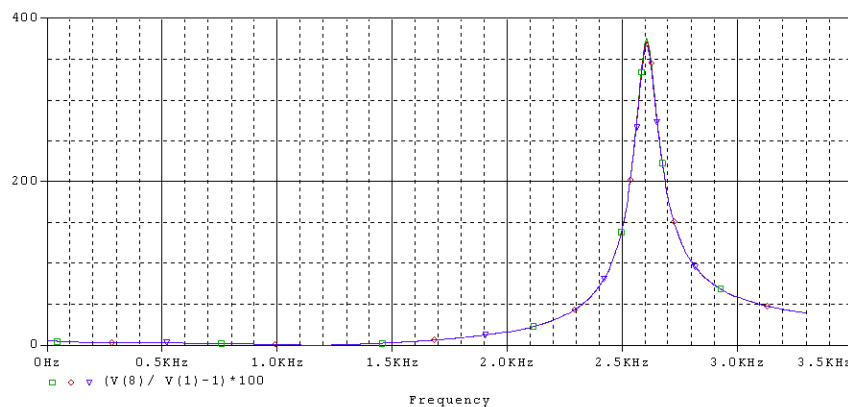
**Obr. P-2.8** - Frekvenční závislost chyby úhlu PTN, změna  $R_P$ ,  $L_E$  a  $R_E$  frekv. závislé



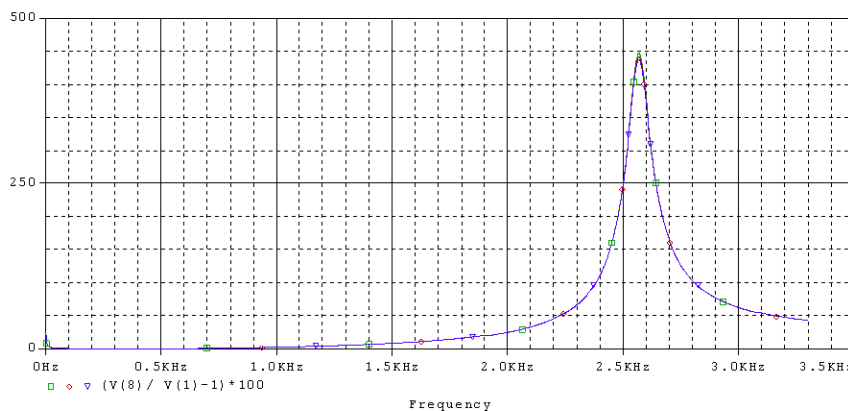
**Obr. P-2.9** - Frekvenční závislost chyby úhlu PTN, změna  $R_P$ ,  $L_E$  a  $R_E$  frekv. nezávislé (detail)



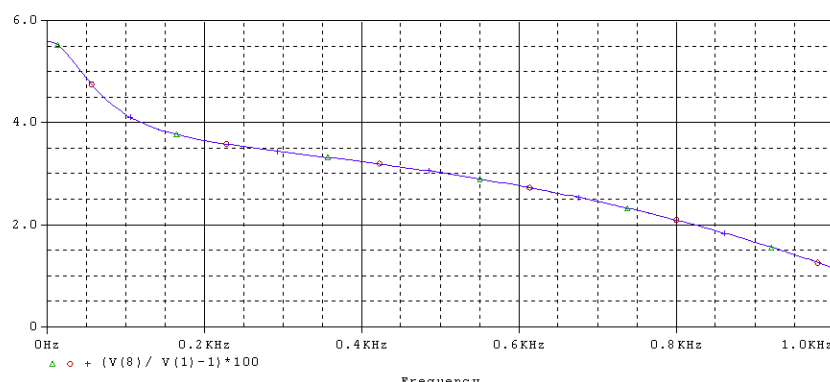
**Obr. P-2.10** - Frekvenční závislost chyby úhlu PTN, změna  $R_P$ ,  $L_E$  a  $R_E$  frekv. závislé (detail)



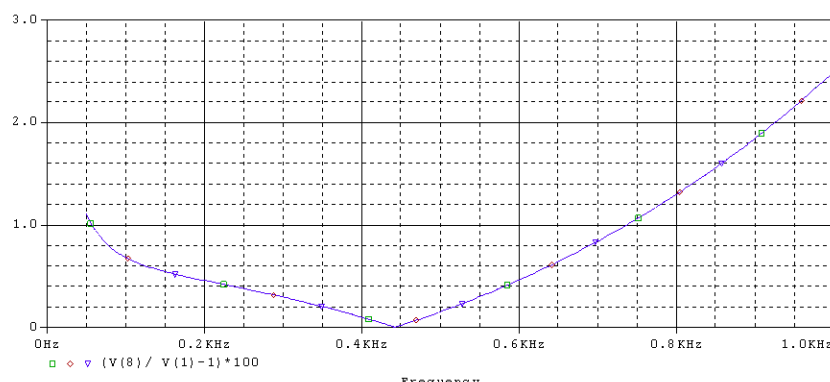
Obr. P-2.11 - Frekvenční závislost chyby převodu PTN, změna  $R_{S1}$  ( $R_{S2}$ ),  $L_E$  a  $R_E$  fr. nezávislé



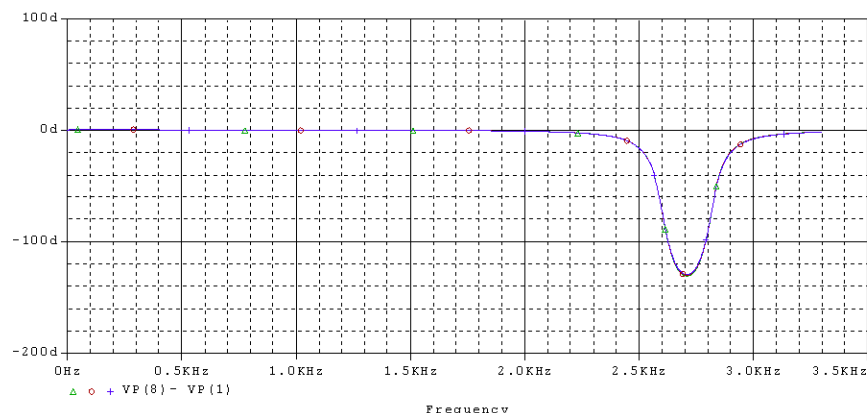
Obr. P-2.12 - Frekvenční závislost chyby převodu PTN, změna  $R_{S1}$  ( $R_{S2}$ ),  $L_E$  a  $R_E$  fr. závislé



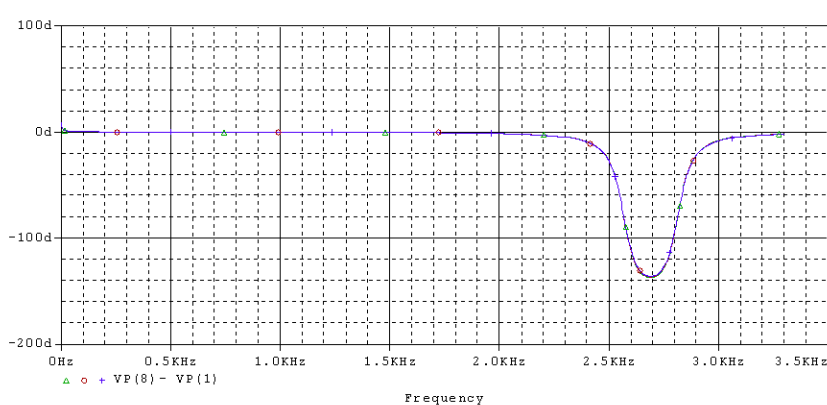
Obr. P-2.13 - Frekvenční závislost chyby převodu PTN, změna  $R_{S1}$  ( $R_{S2}$ ),  $L_E$  a  $R_E$  fr. nez. (detail)



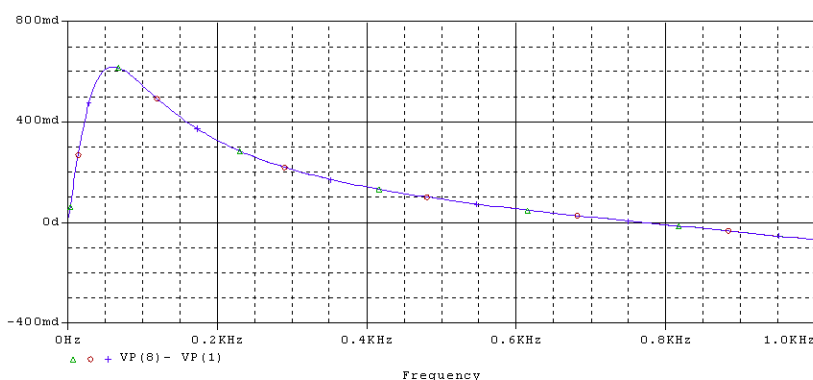
Obr. P-2.14 - Frekvenční závislost chyby převodu PTN, změna  $R_{S1}$  ( $R_{S2}$ ),  $L_E$  a  $R_E$  fr. záv. (detail)



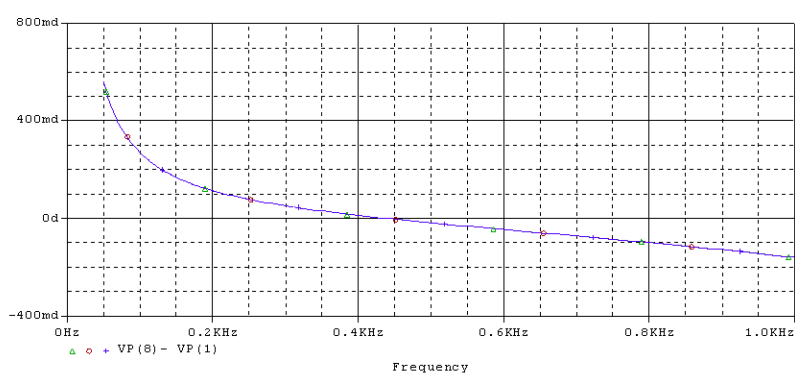
Obr. P-2.15 - Frekvenční závislost chyby úhlu PTN, změna  $R_{S1}$  ( $R_{S2}$ ),  $L_E$  a  $R_E$  fr. nezávislé



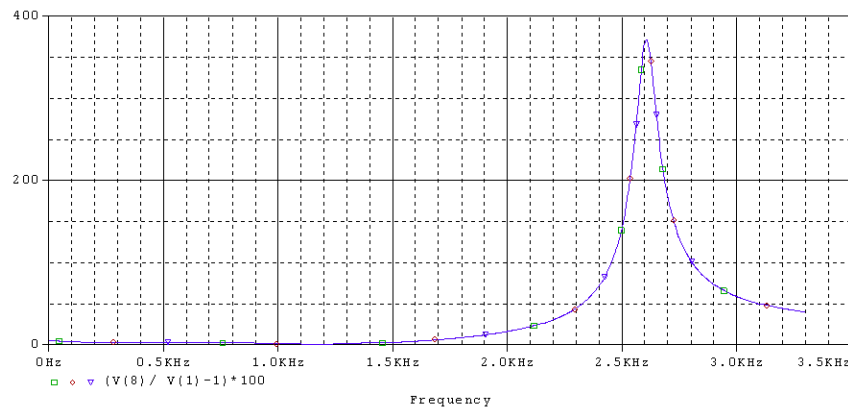
Obr. P-2.16 - Frekvenční závislost chyby úhlu PTN, změna  $R_{S1}$  ( $R_{S2}$ ),  $L_E$  a  $R_E$  fr. závislé



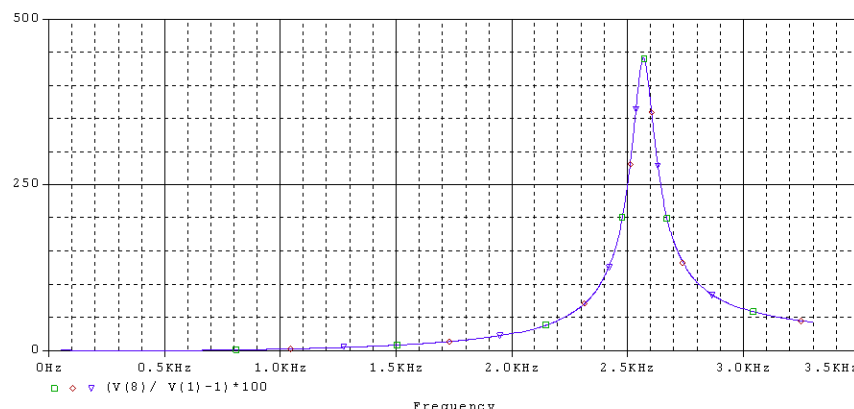
Obr. P-2.17 - Frekvenční závislost chyby úhlu PTN, změna  $R_{S1}$  ( $R_{S2}$ ),  $L_E$  a  $R_E$  fr. nez. (detail)



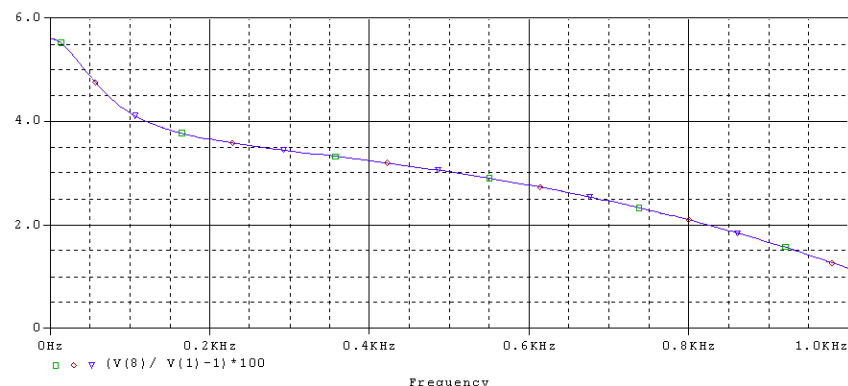
Obr. P-2.18 - Frekvenční závislost chyby úhlu PTN, změna  $R_{S1}$  ( $R_{S2}$ ),  $L_E$  a  $R_E$  fr. záv. (detail)



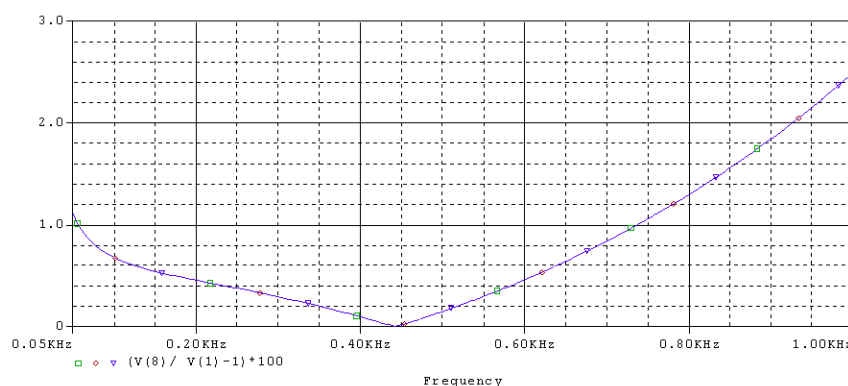
Obr. P-2.19 - Frekvenční závislost chyby převodu PTN, změna  $C_{PB}$ ,  $L_E$  a  $R_E$  frekv. nezávislé



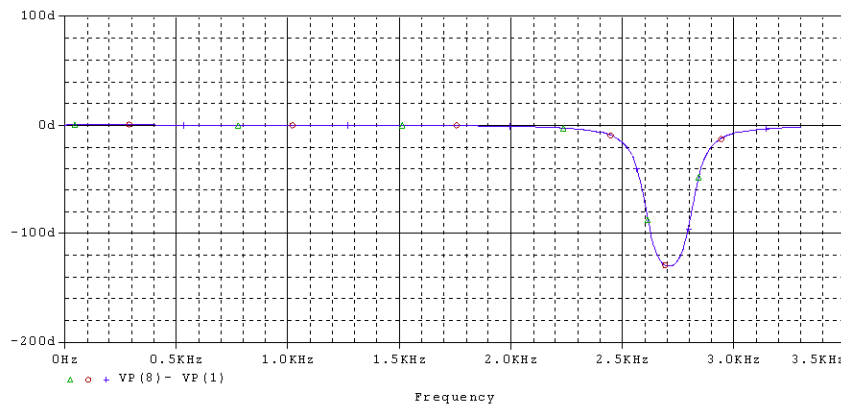
Obr. P-2.20 - Frekvenční závislost chyby převodu PTN, změna  $C_{PB}$ ,  $L_E$  a  $R_E$  frekv. závislé



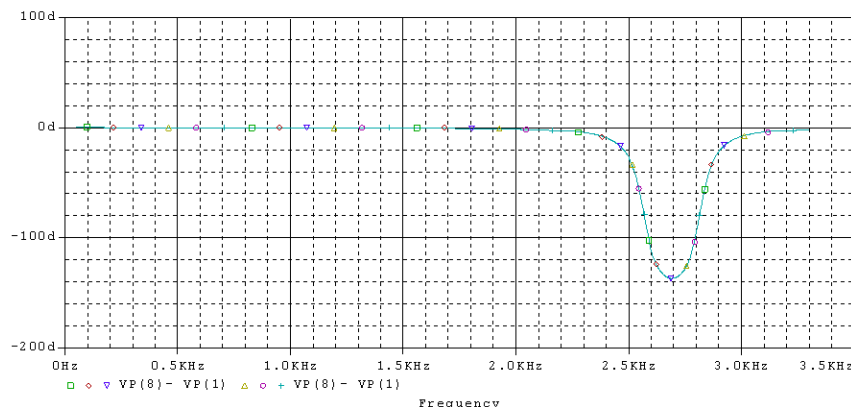
Obr. P-2.21 - Frekvenční závislost chyby převodu PTN, změna  $C_{PB}$ ,  $L_E$  a  $R_E$  fr. nezávislé (detail)



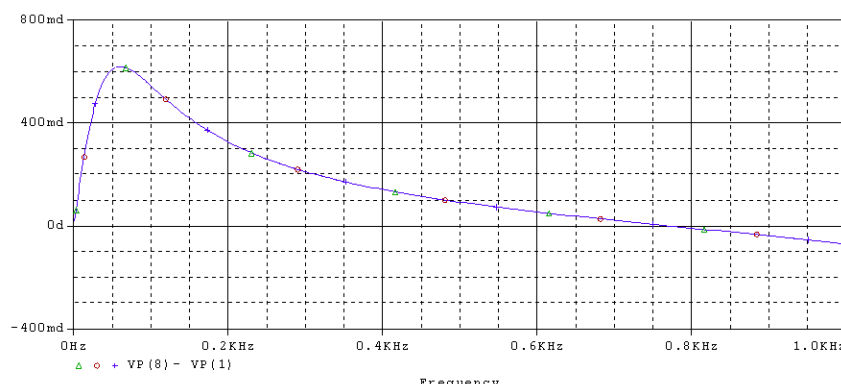
Obr. P-2.22 - Frekvenční závislost chyby převodu PTN, změna  $C_{PB}$ ,  $L_E$  a  $R_E$  fr. závislé (detail)



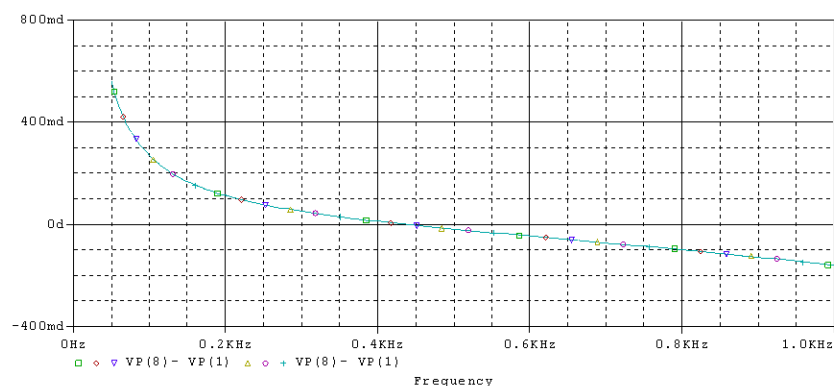
Obr. P-2.23 - Frekvenční závislost chyby úhlu PTN, změna  $C_{PB}$ ,  $L_E$  a  $R_E$  frekv. nezávislé



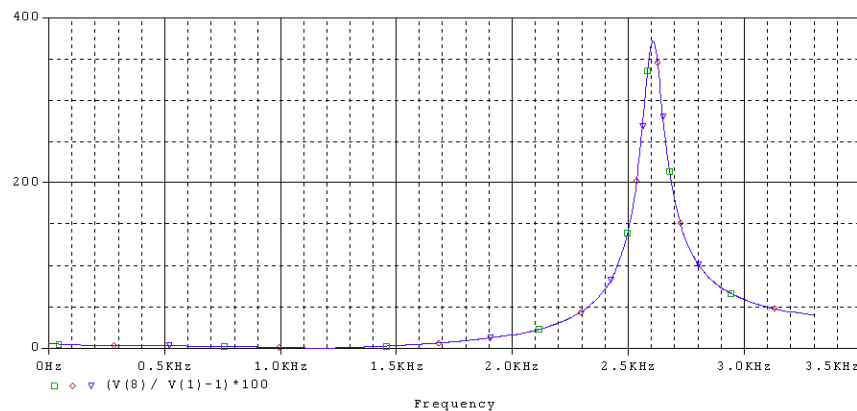
Obr. P-2.24 - Frekvenční závislost chyby úhlu PTN, změna  $C_{PB}$ ,  $L_E$  a  $R_E$  frekv. závislé



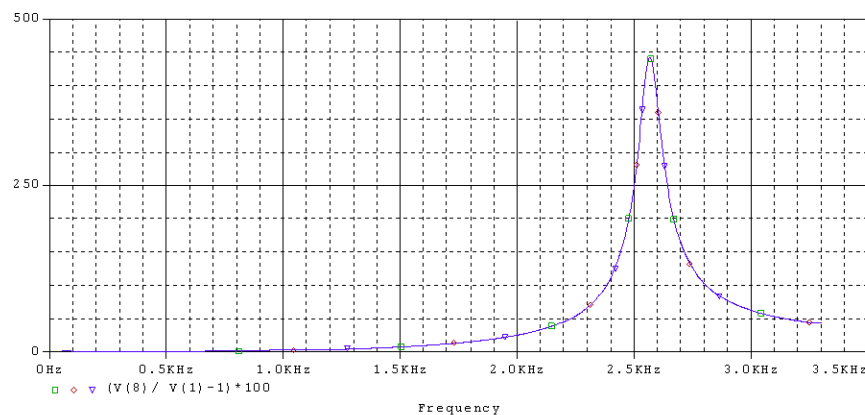
Obr. P-2.25 - Frekvenční závislost chyby úhlu PTN, změna  $C_{PB}$ ,  $L_E$  a  $R_E$  fr. nezávislé (detail)



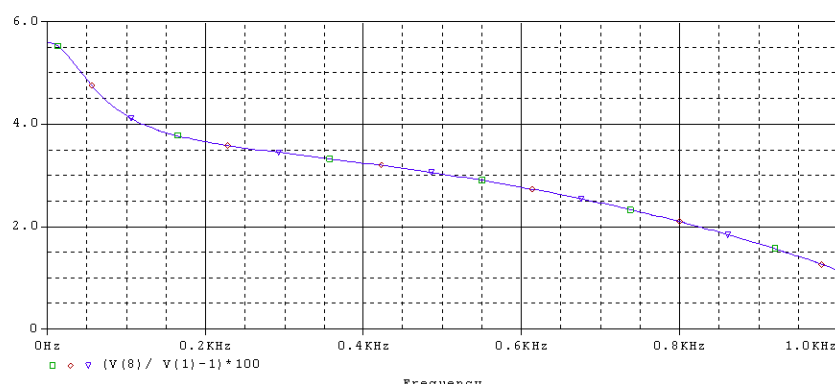
Obr. P-2.26 - Frekvenční závislost chyby úhlu PTN, změna  $C_{PB}$ ,  $L_E$  a  $R_E$  frekv. závislé (detail)



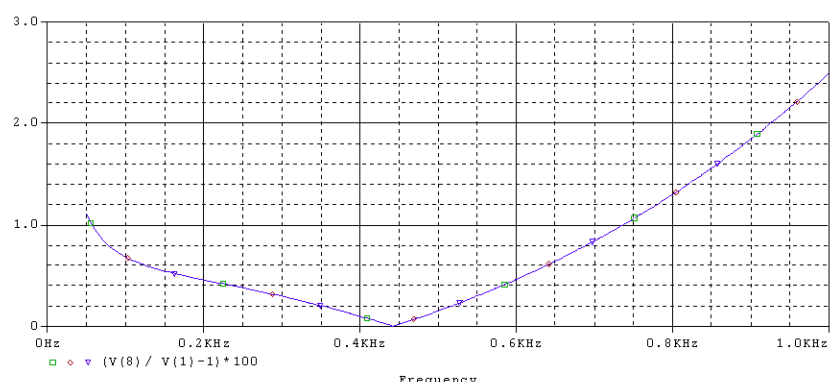
Obr. P-2.27 - Frekvenční závislost chyby převodu PTN, změna  $C_{S1S2}$ ,  $L_E$  a  $R_E$  frekv. nezávislé



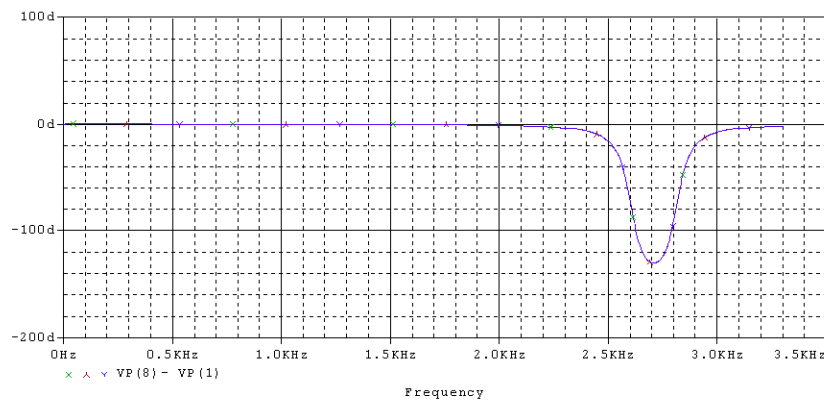
Obr. P-2.28 - Frekvenční závislost chyby převodu PTN, změna  $C_{S1S2}$ ,  $L_E$  a  $R_E$  frekv. závislé



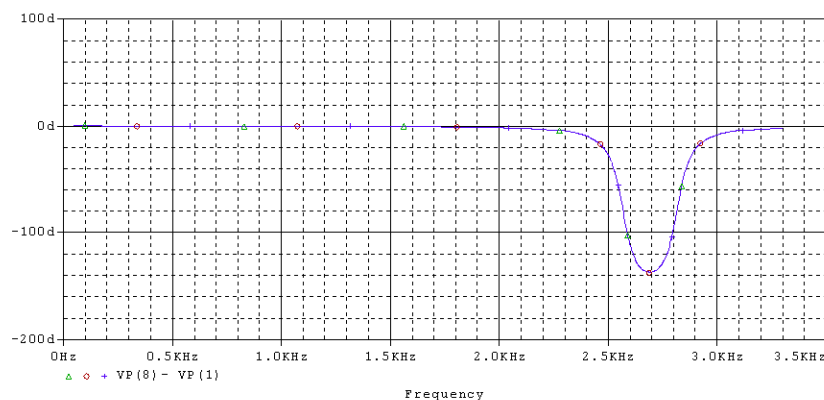
Obr. P-2.29 - Frekvenční závislost chyby převodu PTN, změna  $C_{S1S2}$ ,  $L_E$  a  $R_E$  fr. nez. (detail)



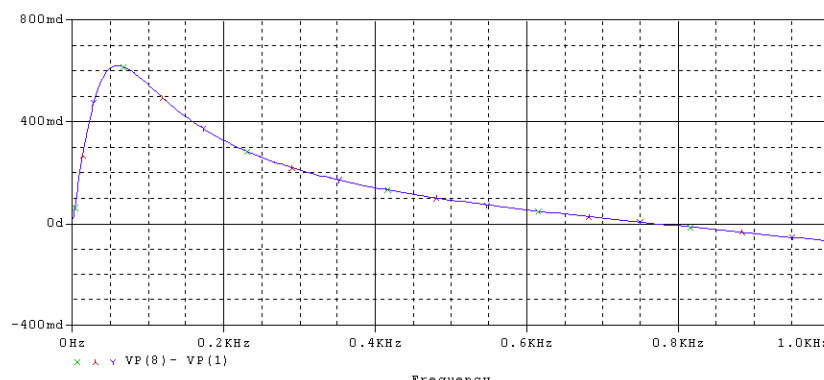
Obr. P-2.30 - Frekvenční závislost chyby převodu PTN, změna  $C_{S1S2}$ ,  $L_E$  a  $R_E$  fr. nez. (detail)



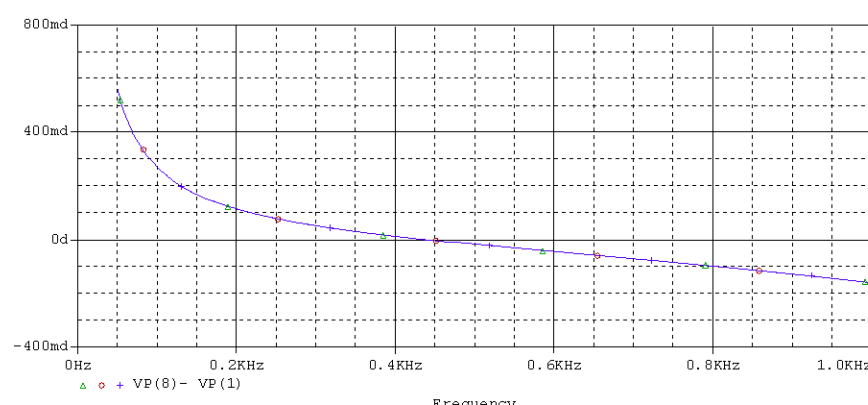
Obr. P-2.31 - Frekvenční závislost chyby úhlu PTN, změna  $C_{S1S2}$ ,  $L_E$  a  $R_E$  frekv. nezávislé



Obr. P-2.32 - Frekvenční závislost chyby úhlu PTN, změna  $C_{S1S2}$ ,  $L_E$  a  $R_E$  frekv. závislé



Obr. P-2.33 - Frekvenční závislost chyby úhlu PTN, změna  $C_{S1S2}$ ,  $L_E$  a  $R_E$  fr. nezávislé (detail)



Obr. P-2.34 - Frekvenční závislost chyby úhlu PTN, změna  $C_{S1S2}$ ,  $L_E$  a  $R_E$  fr. nezávislé (detail)